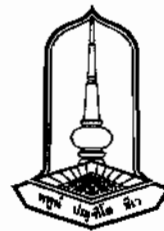


# ชุดทดลองวิจัยสำหรับเรียนรู้ปรากฏการณ์โกลาหล

ศิรินันท์ ธรรมวิเศษ

เสนอต่อมหาวิทยาลัยมหาสารคาม เพื่อเป็นส่วนหนึ่งของการศึกษาตามหลักสูตร  
ปริญญาวิทยาศาสตรบัณฑิต สาขাণุสิกรรมประยุกต์  
พฤษภาคม 2555  
ลิขสิทธิ์เป็นของมหาวิทยาลัยมหาสารคาม



## ชุดทดลองวิจัยสำหรับเรียนรู้ปรากฏการณ์โลกทาง

ศิรินันท์ ธรรมวิเศษ

รายงานวิชาโครงการพิสิกรรมได้รับการพิจารณาอนุมัติให้เป็นส่วนหนึ่งของการศึกษาตามหลักสูตร  
วิทยาศาสตรบัณฑิต สาขาวิชพิสิกรรมประยุกต์

คณะกรรมการสอบ :

.....  
.....  
(อาจารย์ ดร.สุกชัย ฤทธิ์เจริญวัฒนา) ประธานกรรมการ

.....  
.....  
(อาจารย์ ดร.อุฤทธิ์ เจริญอินทร์) กรรมการ

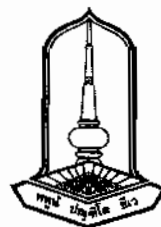
.....  
.....  
(อาจารย์ ดร.ประยุษ์ จันทร์เพ็ง) กรรมการและอาจารย์ที่ปรึกษาร่วม

.....  
.....  
(ผู้ช่วยศาสตราจารย์ธีรวงศ์ เหล่าสุวรรณ) กรรมการและอาจารย์ที่ปรึกษาร่วม

.....  
.....  
(อาจารย์ ดร.สันชัย หาญสูงเนิน) กรรมการและอาจารย์ที่ปรึกษา

วันที่ .....เดือน พฤษภาคม พ.ศ.2555





## Chua's Circuit Kit for Learning Chaotic Effects

Sirinan Thamviset

The physics project has been approved to be a partial fulfillment of the requirements for the Bachelor Degree of Science in Applied Physics.

Examining Committee :

*Supachai Ritjareonwattu* ..... Chairperson  
(Dr. Supachai Ritjareonwattu)

*Urit Charoen-In* ..... Member  
(Dr. Urit Charoen-In)

*P. Chaupang* ..... Member and Co-advisor  
(Dr. Poramate Chaupang)

*T. Laosuwan* ..... Member and Co-advisor  
(Asst. Prof. Teerawong Laosuwan)

*Sanchai Harnsoongnoen* ..... Member and Advisor  
(Dr. Sanchai Harnsoongnoen)

Date.....May 2012



## กิตติกรรมประกาศ

โครงการปัญหาพิเศษฉบับนี้สำเร็จลุล่วงได้ด้วยความกรุณาและช่วยเหลือเป็นอย่างดียิ่งจาก อาจารย์ ดร. สันชัย หาญสูงเนิน อาจารย์ที่ปรึกษา อาจารย์ ดร. ประเมษฐ์ จันทร์เพ็ง และ ผู้ช่วยศาสตราจารย์ ธีรวงศ์ เหล่าสุวรรณ อาจารย์ที่ปรึกษาร่วม ผู้ศึกษาข้อสอบพระคุณเป็นอย่างสูงยิ่ง

ขอขอบพระคุณอาจารย์ ดร. สุวัชัย ฤทธิ์เจริญวัฒนา ประธานกรรมการสอบและอาจารย์ ดร. อุฤทธิ์ เจริญอินทร์ กรรมการสอบ ซึ่งได้ให้ความกรุณาให้คำปรึกษาแนะนำ ตรวจสอบแก้ไข ข้อบกพร่องต่างๆ เพื่อให้โครงการปัญหาพิเศษฉบับนี้ถูกต้อง มีความสมบูรณ์ยิ่งขึ้น

ขอขอบพระคุณอาจารย์ประจำภาควิชาพิสิกส์ทุกท่านที่ให้การอบรมสั่งสอน ตลอดจนให้ คำปรึกษาในเรื่องการทำงานทุกอย่างให้สำเร็จลงได้

ขอขอบคุณเจ้าหน้าที่ห้องปฏิบัติการของภาควิชาพิสิกส์ทุกท่านที่ให้ความสะดวกในการทำ โครงการปัญหาพิเศษนี้

ขอขอบคุณเพื่อนๆ และน้องๆ ภาควิชาพิสิกส์ทุกคนที่ให้กำลังใจในการทำโครงการปัญหาพิเศษ ครั้งนี้

สุดท้ายนี้ขอขอบพระคุณเป็นอย่างสูงสำหรับบิดา มารดา และญาติพี่น้องที่ให้กำลังใจและ สนับสนุนการศึกษามาโดยตลอด และขอขอบคุณทุกท่านที่มีส่วนเกี่ยวข้องทำให้โครงการปัญหาพิเศษ ครั้งนี้สำเร็จไปด้วยดี

ศิรินันท์ ธรรมวิเศษ

เรื่อง	ชุดทดลองของจรชั่วสำหรับเรียนรู้ปรากฏการณ์โกลาหล
นิสิต	นางสาวศิรินันท์ ธรรมวิเศษ
อาจารย์ที่ปรึกษา	อาจารย์ ดร.สันติชัย หาญสุจันนิน
อาจารย์ที่ปรึกษาร่วม	อาจารย์ ดร.ประเมษฐ์ จันทร์เพ็ง
อาจารย์ที่ปรึกษาร่วม	ผู้ช่วยศาสตราจารย์ธีรวงศ์ เหล่าสุวรรณ
ปริญญา	วิทยาศาสตรบัณฑิต (วท.บ.) สาขาวิศึกษาประยุกต์
มหาวิทยาลัย	มหาวิทยาลัยมหาสารคาม ปีพิมพ์ 2555

### บทคัดย่อ

ทฤษฎีความโกลาหลเป็นหัวข้อที่กำลังได้รับความสนใจอย่างแพร่หลายในปัจจุบัน เนื่องจากมีความเกี่ยวข้องกับศาสตร์ความรู้ต่างๆ ทุกแขนงทั้งด้านวิทยาศาสตร์ เศรษฐศาสตร์ สังคมศาสตร์ หรือศิลปกรรมศาสตร์ เป็นต้น แต่ในปัจจุบันทฤษฎีความโกลาหลยังไม่เป็นที่แพร่หลาย ดังนั้นในโครงงานปัญหาพิเศษนี้จึงต้องการศึกษาและพัฒนาชุดทดลองสำหรับเรียนรู้ปรากฏการณ์โกลาหลโดยใช้ห่วงจรชั่วซึ่งเป็นวงจรอิเล็กทรอนิกส์อย่างง่ายที่ประกอบด้วย ตัวต้านทาน ตัวเก็บประจุ ตัวเหนี่ยววนា และตัวด้านทานไม่เชิงเส้น โดยในการศึกษาครั้งนี้ผู้วิจัยได้ทำการออกแบบตัวต้านทานไม่เชิงเส้นและตัวเหนี่ยววนาใหม่ขึ้นเพื่อใช้ประกอบเป็นวงจรชั่วสำหรับสร้างเป็นชุดทดลอง ตัวต้านทานไม่เชิงเส้นถูกออกแบบโดยใช้โครงข่ายอปปอมป์ ส่วนตัวเหนี่ยววนาใหม่ขึ้นนั้นออกแบบตาม wang ของ Gopakumar จากการจำลองและทดลองจริงพบว่าวงจรชั่วที่ประกอบด้วยตัวต้านทานไม่เชิงเส้นและตัวเหนี่ยววนาใหม่ที่ได้ทำการออกแบบสามารถสร้างสัญญาณโกลาหลได้ทั้งที่เป็นวงม้วนเดียวและวงม้วนคู่ เมื่อนำผลการจำลองและทดลองจริงมาเปรียบเทียบกันพบว่ามีความคล้ายคลึงกัน จะแตกต่างกันเพียงเล็กน้อยเท่านั้น

TITLE	Chua's Circuit Kit for Learning Chaotic Effects
AUTHOR	Miss Sirinan Thamviset
ADVISOR	Dr. Sanchai Harnsoongnoen
CO - ADVISOR	Dr. Poramate Chaunpang
CO - ADVISOR	Asst. Prof. Teerawong Laosuwan
Degree	Bachelor of Science in Applied Physics
University	Mahasarakham University DATE 2012

### ABSTRACT

Chaos theory is a field of study in mathematics, with applications in several disciplines including physics, engineering, economics, biology, and philosophy. Chaos theory generally focuses on of dynamic systems that are highly sensitive to initial conditions. This effect is referred to as the butterfly effect. However, chaos theory is limited to a few people. Therefore, the aim of this project is to study and develop Chua's circuit kit for investigating chaotic effects. Chua's circuits are simple and consist of a linear resistor, an inductor, a nonlinear resistor and two capacitors. In this study, the nonlinear resistor and inductor were designed to implement the chua's circuit that can generate the chaotic signal. The nonlinear resistor was implemented using an op-amps network and the virtual inductor was based on the circuit proposed by Gopakumar. The results from simulation show that the designed Chua circuit can create two types of chaotic signals, the single scroll and the double scroll. The experiment results agree to the simulation results.

## สารบัญ

หน้า

กิตติกรรมประกาศ .....	๗
บทคัดย่อภาษาไทย .....	๘
บทคัดย่อภาษาอังกฤษ .....	๙
สารบัญ .....	๑๐
สารบัญรูปภาพ .....	๑๔
สารบัญตาราง .....	๑๕
<b>1. บทนำ</b>	
1.1 ที่มาและความสำคัญของโครงการ .....	1
1.2 วัตถุประสงค์ของโครงการ .....	1
1.3 ขอบเขตการศึกษา .....	2
1.4 ผลที่ได้รับ .....	2
<b>2. ทฤษฎีที่เกี่ยวข้อง</b>	
2.1 บทนำ .....	3
2.2 ประวัติความเป็นมาของทฤษฎี哥寥หลโดยย่อ .....	3
2.3 ระบบพลวัตที่เกิดพฤติกรรม哥寥หล .....	8
2.4 งานฉบับ .....	13
<b>3. วิธีการดำเนินงานและวิธีการทดลอง</b>	
3.1 การออกแบบตัวต้านทานไม่เชิงเส้น .....	27
3.2 การออกแบบตัวเหนี่ยวนำแม่เมื่อน .....	28



## สารบัญ (ต่อ)

หน้า

### 4. ผลการทดลอง

4.1 การออกแบบตัวต้านทานไม่เชิงเส้น .....	30
4.2 การออกแบบตัวเหนี่ยวนำแม่เหล็ก .....	32
4.3 วงจรชั่วที่ประกอบจากตัวเหนี่ยวนำแม่เหล็กและตัวต้านทานไม่เชิงเส้น .....	40

### 5. สรุปผลการทดลองและข้อเสนอแนะ

5.1 สรุปผลการทดลอง .....	43
5.2 ข้อเสนอแนะ .....	43
<b>บรรณานุกรม .....</b>	<b>45</b>
<b>ภาคผนวก</b>	
ภาคผนวก ก รูปประกอบการจำลองและทดลองจริง.....	47
<b>ประวัติผู้ศึกษา .....</b>	<b>63</b>



## สารบัญรูปภาพ

รูปที่	หน้า
2.1 นักวิทยาศาสตร์ที่ศึกษาพฤติกรรมความโกลาภิล .....	4
2.2 พฤติกรรมโกลาหลแบบมีขอบเขตของเชน .....	5
2.3 พฤติกรรมโกลาหลแบบไม่มีขอบเขตของอาร์ .....	6
2.4 พฤติกรรมที่ไม่ใช่แบบโกลาหลของระบบวงกลม .....	6
2.5 พฤติกรรมแบบโกลาหลของระบบลอเรนซ์ .....	7
2.6 อนุกรมเวลาและอําพัน .....	7
2.7 แผนภาพจุดแยกสองราก .....	8
2.8 พฤติกรรมของระบบแนวเดอร์ไฟล์ดเปลี่ยนแปลงตามค่า $k=0.2$ และ $1$ .....	9
2.9 พฤติกรรมของระบบลอเรนซ์ .....	11
2.10 ผลการจำลองสมการรอสเลอร์ในโดเมนเวลา .....	12
2.11 ผลการจำลองสมการรอสเลอร์ในปริภูมิสัมภพ ( $x y z$ ) .....	13
2.12 วงจรชั้นแบบพื้นฐาน .....	13
2.13 ช่วงความชันของความต้านทานแบบไม่เป็นเชิงเส้น .....	14
2.14 โครงข่ายอปแอมป์ใช้เป็นความต้านทานไม่เป็นเชิงเส้น .....	15
2.15 วงจรความต้านทานเชิงลับ .....	15
2.16 ความสัมพันธ์ระหว่างกระแสไฟฟ้ากับแรงดันไฟฟ้าของวงจรในรูปที่ 2.15 .....	17
2.17 โครงข่ายอปแอมป์ที่คุณลักษณะความไม่เชิงเส้นแบบ 5 ส่วน .....	18
2.18 ความสัมพันธ์ระหว่างกระแสไฟฟ้ากับแรงดันไฟฟ้าของความต้านทานเชิงลับ .....	18

## สารบัญรูปภาพ (ต่อ)

รูปที่	หน้า
2.19 วงจรชั่วที่ใช้ตัวด้านทานไม่เชิงเส้นที่สร้างมาจากอปแอนป .....	19
2.20 วงจรส่วนที่ยาน้ำเสมื่อน.....	20
2.21 วงจรชั่วที่ใช้ตัวเหนี่ยวน้ำเสมื่อน.....	21
2.22 สัญญาณโกลาหลจากการจราชีแบบบางม้วนเดียว .....	23
2.23 สัญญาณโกลาหลจากการจราชีแบบบางม้วนคู่.....	24
3.1 วิธีการดำเนินงานและวิธีการทดลอง.....	26
3.2 ตัวด้านทานไม่เชิงเส้น.....	27
3.3 ตัวเหนี่ยวน้ำเสมื่อน .....	28
3.4 วงจรชั่วที่ประกอบขึ้นจากตัวด้านทานไม่เชิงเส้นและตัวเหนี่ยวน้ำเสมื่อน ที่ได้ทำการออกแบบ.....	29
4.1 ตัวด้านทานไม่เชิงเส้นที่ออกแบบโดยใช้โครงข่ายออมแอนป .....	30
4.2 ความสัมพันธ์ระหว่างกระแสไฟฟ้ากับแรงดันไฟฟ้าของความด้านทานไม่เป็นเชิงเส้นที่สร้าง จากโครงข่ายอปแอนป .....	31
4.3 วงจรชั่วที่ประกอบด้วยตัวด้านทานไม่เชิงเส้นและตัวเหนี่ยวน้ำขนาด $20\text{mH}$ .....	33
4.4 วงจรส่วนที่ยาน้ำเสมื่อน (K. Gopakumar, 2011) .....	34
4.5 วงจรส่วนที่ยาน้ำเสมื่อนในวงจรกรองสัญญาณแบบความถี่ผ่าน.....	35
4.6 ความสัมพันธ์ระหว่างแรงดันไฟฟ้ากับความถี่ริโซแนนซ์ของวงจรส่วนที่ยาน้ำเสมื่อน .....	36

## สารบัญรูปภาพ (ต่อ)

รูปที่	หน้า
4.7 วจจrtตัวหนี่ยวนำ่สมี่อนในวจจrกรองสัญญาณแบบความถี่ผ่าน.....	38
4.8 ความสัมพันธ์ระหว่างแรงดันไฟฟ้ากับความถี่รีไซแนนซ์ของจrtตัวหนี่ยวนำ่สมี่อน .....	39
4.9 วจจrtตัวที่ประกอบจากตัวหนี่ยวนำ่สมี่อนและตัวต้านทานไม่เชิงเส้น .....	40



## สารบัญตาราง

ตารางที่	หน้า
4.1 ค่าอุปกรณ์ภายในวงจรตัวต้านทานไม่เชิงเส้นที่สร้างจากโครงข่ายออมแอมป์ .....	31
4.2 ค่าอุปกรณ์ภายในวงจรชั้วที่ประกอบด้วยตัวต้านทานไม่เชิงเส้น และตัวเหนี่ยวนำค่า $20mH$ .....	32
4.3 ค่าอุปกรณ์ที่ใช้ในทดสอบวงจรตัวเหนี่ยวนำسمีอนของ K. Gopakumar .....	34
4.4 อุปกรณ์ที่ใช้ทดสอบวงจรตัวเหนี่ยวนำสมีอนในวงจรกรองสัญญาณแบบความถี่ผ่าน .....	39
4.5 อุปกรณ์ที่ใช้ทดสอบวงจรชั้วที่ประกอบจากตัวเหนี่ยวนำสมีอน .....	41



## บทที่ 1

### บทนำ

#### 1.1 ที่มาและความสำคัญของโครงการ

จากคำกล่าวของ ดร. สมเกียรติ ตั้งกิจวานิชย์ ที่กล่าวไว้ว่า “แม้ว่าปัจจุบันเรื่อง ทฤษฎีความโกลาหล จะไม่ใช่แนวความคิดที่ใหม่ออะไรอีกต่อไปแล้ว แต่ก็ยังดูเหมือนว่ามีผู้เข้าใจมันน้อยเหลือเกิน” นั้นก็บ่งบอกได้ว่าในสังคมไทยยังมีคนที่เข้าใจเกี่ยวกับทฤษฎีความโกลาหลอย่างแท้จริงน้อยมาก และที่เข้าใจก็มีจำนวนไม่น้อยที่เข้าใจแบบไม่ถูกต้อง จากคำกล่าวประযุกต์ของท่าน ดร. สมเกียรติ ตั้งกิจวานิชย์ จึงทำให้ผู้วิจัยมีแนวความคิดและแรงบันดาลใจที่จะสร้างஆக்ஷுடலோங்เพื่อใช้ในการเรียนรู้ ปรากฏการณ์โกลาหลขึ้น ความโกลาหลเป็นระบบที่ประกอบด้วยคุณลักษณะที่สำคัญดังต่อไปนี้ มีคุณสมบัติไม่เป็นเชิงเส้น (nonlinearity) ไม่ได้เกิดแบบสุ่ม (deterministic) ไวด้วยภาวะเริ่มต้น ไม่สามารถทำนายล่วงหน้าในระยะยาวได้ นอกจากคุณสมบัติที่กล่าวมาแล้วข้างต้น ระบบความโกลาหลยัง มีคุณสมบัติอีกประการหนึ่งที่สำคัญ คือ คุณสมบัติคล้ายกับตัวเอง (self similarity) หรือที่เรียกว่า แฟรกตัล (fractal) ระบบความโกลาหลเป็นระบบที่มีความสำคัญมาก เพราะระบบต่างๆ ในธรรมชาติ ล้วนแล้วแต่เป็นระบบที่ไม่เชิงเส้นและมีความไวด้วยตัวเอง ทั้งนี้ชี้ให้เห็นว่า คุณสมบัติเหล่านี้ล้วน แล้วแต่เป็นคุณสมบัติพื้นฐานของความโกลาหล ทฤษฎีความโกลาหลมีความสำคัญและมีประโยชน์ มากนัย ที่เห็นได้เด่นชัดสามารถแบ่งออกได้เป็น 3 ด้าน คือ ใช้ในการวิเคราะห์ระบบและทำนาย อนาคตของระบบต่างๆ ในธรรมชาติ ใช้ในการควบคุมและสร้างเสถียรภาพให้กับระบบควบคุมต่างๆ และ ใช้ในการสร้างระบบความโกลาหลเพื่อนำไปประยุกต์ใช้ในระบบการสื่อสาร นอกจากนี้ทฤษฎีความ โกลาหลยังสามารถนำไปใช้ในงานทางด้านสังคม และเศรษฐศาสตร์ได้อีกด้วย ดังนั้นเพื่อให้การศึกษา ทฤษฎีความโกลาหลสามารถทำได้ง่ายขึ้น เห็นภาพชัดเจนมากยิ่งขึ้น ผู้วิจัยจึงมีแนวคิดที่จะทำการ พัฒนาஆக்ஷுடலோங்เพื่อใช้ประกอบในการอธิบายปรากฏการณ์โกลาหลให้เข้าใจง่ายยิ่งขึ้น โดยอาศัยทฤษฎี พื้นฐานของวงจรชั้มมาช่วยในการสร้างและอธิบาย

#### 1.2 วัตถุประสงค์

1. มีความรู้ความเข้าใจเกี่ยวกับทฤษฎีความโกลาหล
2. มีความรู้ความเข้าใจเกี่ยวกับวงจรชั้ม และองค์ประกอบต่างๆ ที่สำคัญของวงจรชั้ม
3. ออกแบบและสร้างஆக்ஷுடலோங்ประกอบการเรียนรู้ทฤษฎีความโกลาหลโดยใช้วงจรชั้ม



### 1.3 ขอบเขตการศึกษา

1. ชุดทดลองประกอบการเรียนรู้ทฤษฎีความโภคภานุสัมภានในครั้งนี้จะใช้วงจรชั่วเป็นพื้นฐานในการพัฒนา

2. การจำลองผลการทำงานของวงจรชั่วที่ทำการออกแบบจะจำลองโดยใช้โปรแกรม Multisim

### 1.4 ผลที่ได้รับ

1. มีความรู้ความเข้าใจเกี่ยวกับทฤษฎีความโภคภานุสัมภានยิ่งขึ้น

2. ได้ชุดทดลองประกอบการเรียนรู้เกี่ยวกับทฤษฎีความโภคภานุสัมภាន ทำให้มองเห็นภาพและทำความเข้าใจได้ง่ายขึ้น



## บทที่ 2

### ทฤษฎีเกี่ยวข้อง

#### 2.1 บทนำ

ทฤษฎีความโกลาหล (chaos theory) เป็นทฤษฎีที่อธิบายถึงลักษณะพฤติกรรมของระบบพลวัต (ระบบที่มีการเปลี่ยนแปลง เช่น เปลี่ยนแปลงตามเวลาที่เปลี่ยนไป) โดยลักษณะการเปลี่ยนแปลงของระบบที่เรียกว่าโกลาหลนี้ จะมีลักษณะที่ปั่นป่วนจนดูคล้ายว่าการเปลี่ยนแปลงนั้นเป็นแบบสุ่มหรือไร้ร่องรอย (random/stochastic) ระบบโกลาหลนี้เป็นระบบแบบไม่สุ่มหรือระบบที่มีระเบียบ ในทางคณิตศาสตร์และฟิสิกส์ให้คำจำกัดความของระบบโกลาหลไว้ว่า โกลาหลเป็นระบบแบบไม่เชิงเส้น (nonlinear system) ประเภทหนึ่งที่มีความไม่แน่นอนทางกายภาพเริ่มต้น กล่าวอีกนัยหนึ่งคือ ถ้าระบบ 2 ระบบ นั้นเริ่มต้นจากสภาวะที่แตกต่างกันเพียงเล็กน้อยหรือเกือบจะเหมือนกันทุกประการ เมื่อระบบมีการเปลี่ยนแปลงไปสักระยะหนึ่งสภาวะของระบบทั้งสองที่เรารังเกดูได้มีเวลาผ่านไปจึงแตกต่างกันอย่างเห็นได้ชัด 例如 ก็จะได้ยินคำพูดที่นิยมพูดกันอย่างกว้างขวางที่ว่า “เด็ดอกไม้สะเทือนถึงดวงดาว” หรือ “ฝิ่นเขียวขับปีกทำให้เกิดพายุ” (จาก “butterfly effect”) ซึ่งมีคนจำนวนไม่น้อยที่ตีความในลักษณะของขนาดความรุนแรงของผลลัพธ์เท่านั้น ระบบโกลาหลนั้นไม่จำเป็นจะต้องแตกต่างกันในแง่ของขนาดของผลลัพธ์เสมอไป แต่อาจแตกต่างในแง่ของพฤติกรรมการเปลี่ยนแปลงก็ได้จากตัวอย่างข้างต้น การเปลี่ยนแปลงของระบบทั้งสองนั้นจะมีลักษณะที่คล้ายคลึงกันมากในขณะเริ่มต้นเมื่อเวลาผ่านไปการเปลี่ยนแปลงนั้นจะเกิดความแตกต่างกันอย่างชัดเจน

#### 2.2 ประวัติความเป็นมาของทฤษฎีความโกลาหลโดยย่อ

ทฤษฎีความโกลาหลถูกศึกษาโดยนักวิทยาศาสตร์หลายท่าน โดยศึกษาปัญหาในสาขาที่แตกต่างกัน แม้ว่าจะไม่มีความเกี่ยวข้องกันในแต่ละปัญหา แต่ปัญหาเหล่านั้นมีพื้นฐานมาจากทฤษฎีความโกลาหลเหมือนกัน ยกตัวอย่างเช่นว่า ป่วงการ (Poincare, J.H.) ได้ทำการศึกษาสามแรงดึงดูดระหว่างกันของวัตถุสามชิ้นที่เรียกว่าปัญหาสามวัตถุ (three-body problem) และค้นพบว่า wenn วัตถุมีลักษณะไม่เป็นรายคาน คือไม่มีทางวิ่งช้าเป็นวงรอบโดยอาจจะขยายเป็นวงกว้างขึ้นเรื่อย ๆ หรือสู่ เข้าหากันได้จุดหนึ่งของปริภูมิ ต่อมาก็ได้มีการศึกษาถึงปัญหางานการเชิงอนุพันธ์ที่ไม่เป็นเชิงเส้นที่เกี่ยวกับทฤษฎีโกลาหลนี้ โดย เบอร์คอฟ (Birkhoff, G.D.) ได้ทำการศึกษาเกี่ยวกับปัญหาวัตถุสามชิ้น เช่นเดียวกับป่วงการ แต่เป็นการศึกษาโดยใช้สมการทางคณิตศาสตร์ ซึ่งเป็นสมการเชิงอนุพันธ์แบบไม่เชิงเส้น คอลโมโกรอฟ (Kolmogorov, A.N.) ได้ทำการศึกษาเกี่ยวกับความปั่นป่วนและปัญหา เกี่ยวกับตารางศาสตร์ ส่วนคราร์ทไรท์ (Cartwright, M.L.) และลิตเตลวูด (Littlewood, J.E.) ได้ทำการศึกษาปัญหาทางวิศวกรรมการสื่อสารด้วยคลื่นวิทยุเป็นต้น แต่สำหรับนักวิทยาศาสตร์ที่เป็นผู้



บุคเบิกทฤษฎีความไม่กลาหลคือ ลอเรนซ์ (Lorenz, E.N.) โดยได้สังเกตพฤติกรรมที่เกิดขึ้นในขณะที่ทำการทดลองทางด้านพยากรณ์อากาศ ในปี ค.ศ. 1961 ลอเรนซ์ได้นำคอมพิวเตอร์มาสร้างแบบจำลองสภาพอากาศ ซึ่งในการคำนวณครั้งถัดมาไม่ต้องการเริ่มการจำลองจากจุดเริ่มต้น เพื่อประหยัดเวลาในการคำนวณ โดยใช้ข้อมูลก่อนหน้านี้เป็นค่าเริ่มต้น ซึ่งผลที่ได้ปรากฏว่าค่าที่คำนวณมีความแตกต่างจากเดิมโดยสิ้นเชิง เช่นพบว่าสาเหตุเกิดจากการปั่นเสียงของการคำนวณซึ่งมีขนาดน้อยมาก แต่กลับนำไปสู่ความแตกต่างอย่างมากmay ซึ่งเรียกว่า ไวต่อสภาพเริ่มต้น รูปนักวิทยาศาสตร์ห้อง 6 ท่านได้แสดงไว้ในรูปที่ 2.1



(ก) Jules Henri Poincaré  
(1854-1912)



(ข) George David Birkhoff  
(1884-1944)



(ค) Andrey Nikolaevich Kolmogorov  
(1903-1987)



(ง) Mary Lucy Cartwright  
(1900-1998)



(จ) John Edensor Littlewood  
(1885-1977)



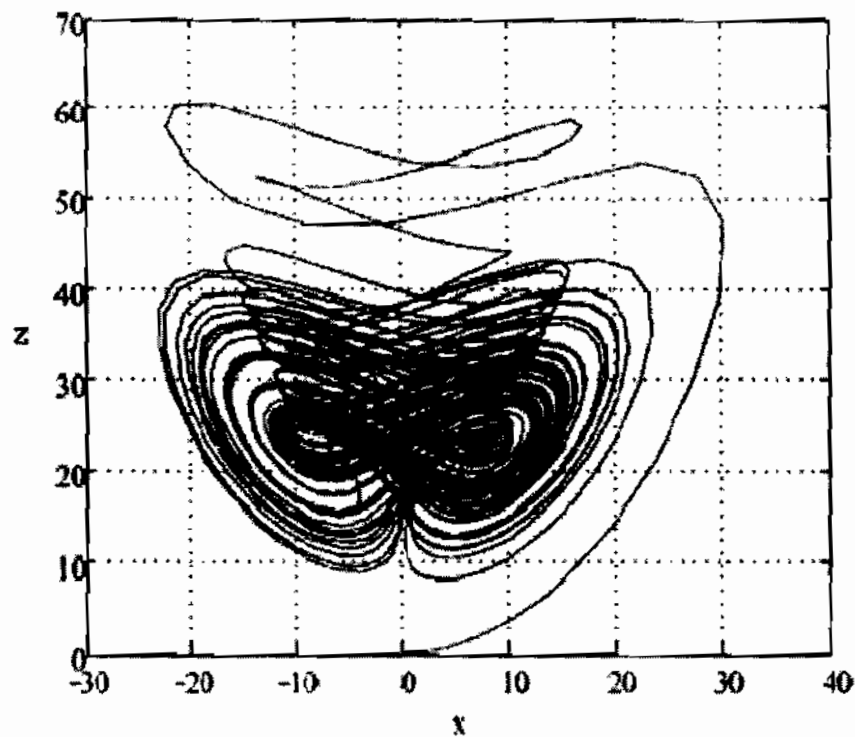
(ฉ) Edward Norton Lorenz  
(1917-2008)

รูปที่ 2.1 นักวิทยาศาสตร์ที่ศึกษาพฤติกรรมความไม่กลาหล

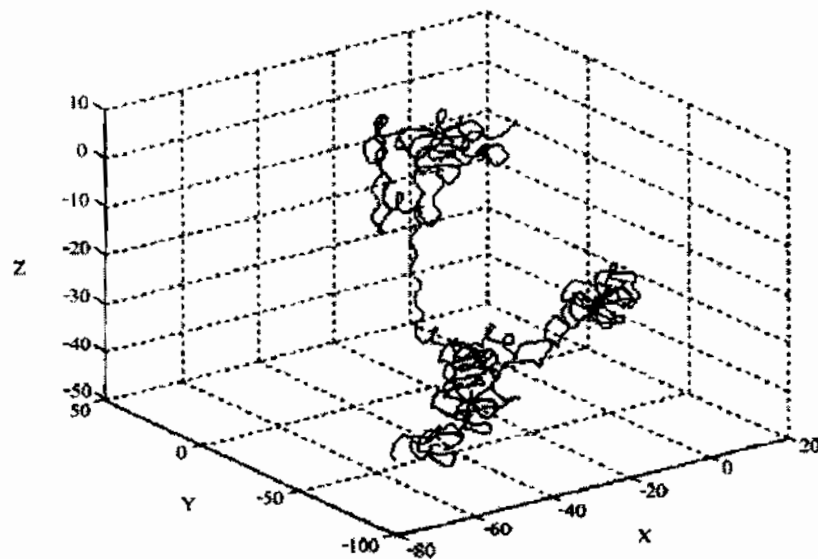
พหุติกรรมของระบบโกลาหาลที่เกิดขึ้นขึ้นอยู่กับปัจจัย 3 ปัจจัยคือ สมการเชิงพลศาสตร์ที่ขึ้นกับเวลา สัมประสิทธิ์ของสมการระบบ (จะมีผลต่อระบบมากสำหรับการเกิดพหุติกรรมโกลาหาล) และเงื่อนไขเริ่มต้นของสมการระบบ (มีผลต่อเส้นทางโคจรของพหุติกรรมโกลาหาล) จากปัจจัยที่ทำให้เกิดพหุติกรรมโกลาหาลสามารถแบ่งลักษณะการเกิดพหุติกรรมโกลาหาลได้เป็น 2 แบบ คือ

1. พหุติกรรมโกลาหาลแบบมีขอบเขต หมายถึง พหุติกรรมโกลาหาลที่มีการเกิดของจุดใหม่ที่เกาะกลุ่ม ไม่กระฉัดกระจาย สามารถระบุขอบเขตได้อย่างชัดเจน เช่น พหุติกรรมโกลาหาลของเชน (Chen) พหุติกรรมโกลาหาลของชัว (Chua) พหุติกรรมโกลาหาลของโล伦เซ (Lorenz) พหุติกรรมโกลาหาลของรอสเลอร์ (Rossler) และพหุติกรรมโกลาหาลของสปร็อตต์ (Sprott) เป็นต้น รูปแบบพหุติกรรมโกลาหาลลักษณะนี้แสดงในรูปที่ 2.2

2. พหุติกรรมโกลาหาลแบบไม่มีขอบเขต หมายถึง พหุติกรรมโกลาหาลที่มีการเกิดของจุดใหม่ที่ไม่เกาะกลุ่ม กระฉัดกระจาย ไม่สามารถระบุขอบเขตได้ เช่น พหุติกรรมโกลาหาลของอาร์โนลด์ (Arnold) ดังแสดงในรูปที่ 2.3 โดยมีพหุติกรรมโกลาหาลที่คล้ายการล่องลอยของดาวไฟและกาลเวลาโกลาหาลในของไหล เป็นต้น

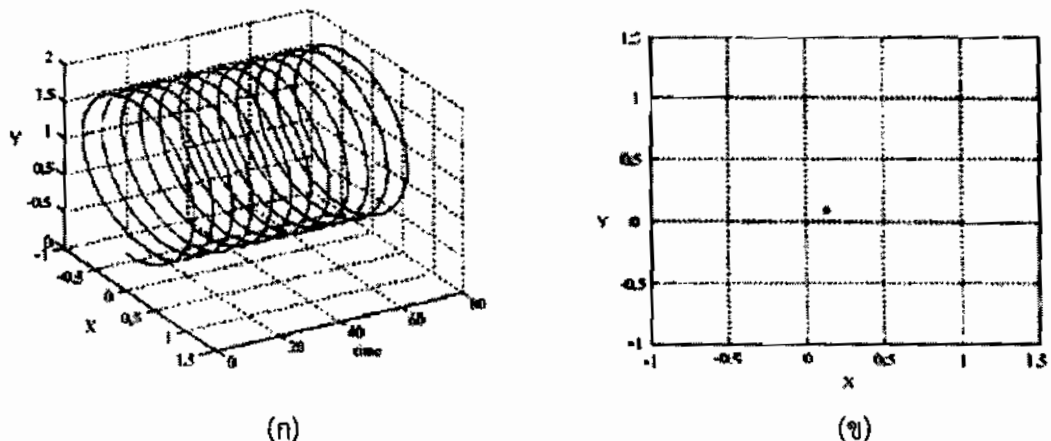


รูปที่ 2.2 พหุติกรรมโกลาหาลแบบมีขอบเขตของเชน



รูปที่ 2.3 พฤติกรรมโกลาหลแบบไม่มีขอบเขตของอาร์โนล์ด  
เครื่องมือที่ใช้ในการวัดความโกลาหล

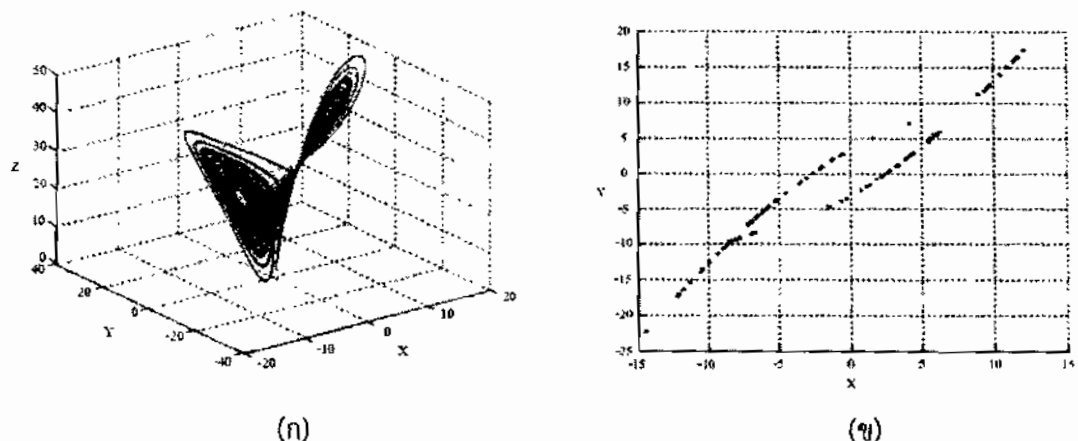
1. แผนภาพป่วงการ (Poincare) เป็นแผนภาพที่ใช้แสดงจุดของเส้นทางการโคจรที่มีแกนประกอบเป็น X-Y วางแผน Z ให้ X-Z วางแผน Y ให้ Y-Z วางแผน X ให้ เช่นแผนภาพป่วงการของสมการวงกลมที่ไม่แสดงพฤติกรรมโกลาหล แผนภาพที่ได้จะแสดงเป็นจุดเพียงจุดเดียวตั้งแสดงในรูปที่ 2.4 แต่สำหรับระบบที่แสดงพฤติกรรมโกลาหลแผ่นภาพป่วงการที่ได้จะมีหลายจุดตั้งแสดงในรูปที่ 2.5



รูปที่ 2.4 พฤติกรรมที่ไม่ใช้แบบโกลาหลของระบบวงกลม

(ก) พฤติกรรมของระบบวงกลม

(ข) แผนภาพป่วงการของระบบวงกลม

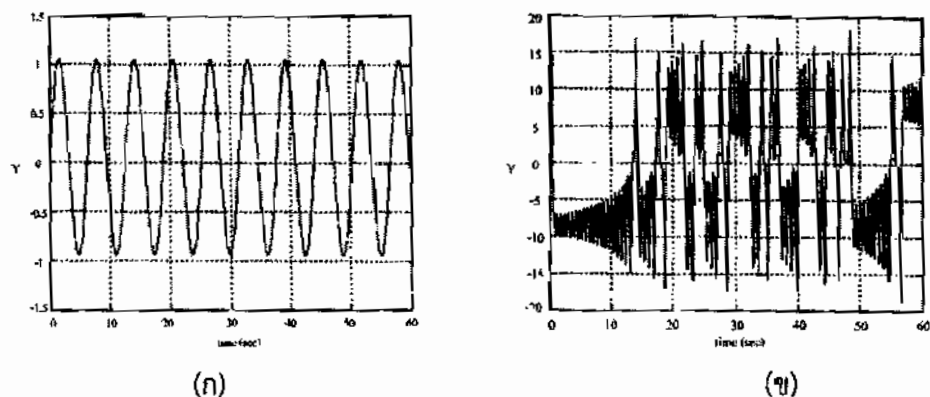


รูปที่ 2.5 พฤติกรรมแบบโกลาหลของระบบลอเรนซ์

(ก) พฤติกรรมของระบบวงกลม

(ข) แผนภาพปั่นการเรขาของระบบวงกลม

2. อนุกรมเวลา (time series) และ振幅 (amplitude) แผนภาพอนุกรมเวลาและ振幅เป็นแผนภาพที่ใช้เพื่อสังเกตพฤติกรรมโกลาหลที่เกิดขึ้นของระบบในลักษณะของความถี่และระดับสัญญาณ เช่น อนุกรมเวลาและ振幅ของสัญญาณรูปคลื่นไซน์ที่ไม่ใช่พุ่มพุ่ม โกลาหล และอนุกรมเวลาและ振幅ในแกน X, Y และ Z ของลอเรนซ์ ซึ่งมีพฤติกรรมโกลาหลเกิดขึ้นตามการเปลี่ยนแปลงทางความถี่ และ振幅ตลอดเวลา รูปที่ 2.6 แสดงรูปคลื่นไซน์และสัญญาณในอนุกรมเวลาที่เกิดพุ่มพุ่มโกลาหล เพื่อเปรียบเทียบกัน

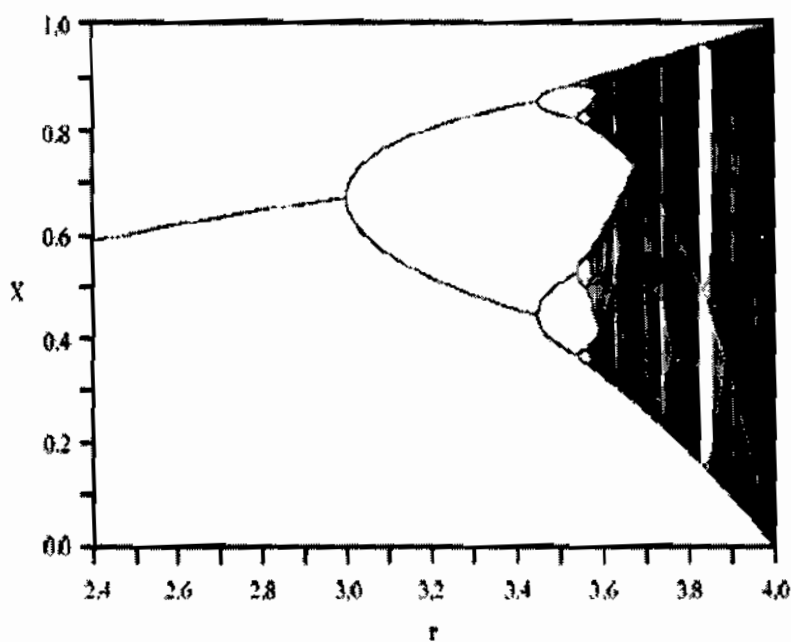


รูปที่ 2.6 อนุกรมเวลาและ振幅

(ก) สัญญาณรูปคลื่นไซน์

(ข) รูปคลื่นของสัญญาณที่แสดงพุ่มพุ่มโกลาหล  
ตามระบบลอเรนซ์

3. จุดแยกสองราก (bifurcation) แผนภาพในรูปที่ 2.7 เป็นแผนภาพที่ใช้ในการสังเกตพฤติกรรมของการเกิดผลเฉลยของระบบที่เป็นแบบคงเดิม เมื่อสัมประสิทธิ์ของระบบเปลี่ยนแปลงไป สภาวะการเปลี่ยนแปลงที่เกิดแบบนี้เรียกว่า สภาวะโกลาหล



รูปที่ 2.7 แผนภาพจุดแยกสองราก

4. ໄລຍາພູນອຳເກົດໂປ່ນທີ (Lyapunov exponent) เป็นดัชนีระบุการลູ່ເຂົ້າຫຼືອຸ່ອກຂອງระบบວາຍໃດກໍານົດຄ່າສັນປະສິບທີ່ຄ່າເນື່ອນໄຂເຮັດຕັນ ແລະການທຳງານຂອງຮະບັບຜ່ານໄປໜັງເວລາທີ່ຈະໄດ້ແສດງໄດ້ໃນຮູ່ປະສົງສາມາດສົດສາດຕ່າງໆ ສິ່ງຄູກຄົດຄັນຫື່ນໄດ້ໂລເຈົ້ານເດວົ້າ ມີເຄລ ໂລວິຈ ໄລຍາພູນອຳເກົດ (Alexander Mikhaylovich Lyapunov)

## 2.3 ระบบพลวัตที่เกิดพฤติกรรมโกลาหล

### 2.3.1 ระบบแวนเดอร์ໂພດ

ระบบแวนเดอร์ໂພດ เป็นระบบหนึ่งที่สามารถนำมาศึกษาเกี่ยวกับการเกิดพฤติกรรมโกลาหลได้ ในการศึกษาพฤติกรรมนี้สามารถทำได้โดยเปลี่ยนแปลงค่าพารามิเตอร์  $k$  ในสมการแวนเดอร์ໂພດ ซึ่งมีผลทำให้เกิดพฤติกรรมโกลาหลขึ้น สมการแวนเดอร์ໂພດมีรูปแบบดังนี้

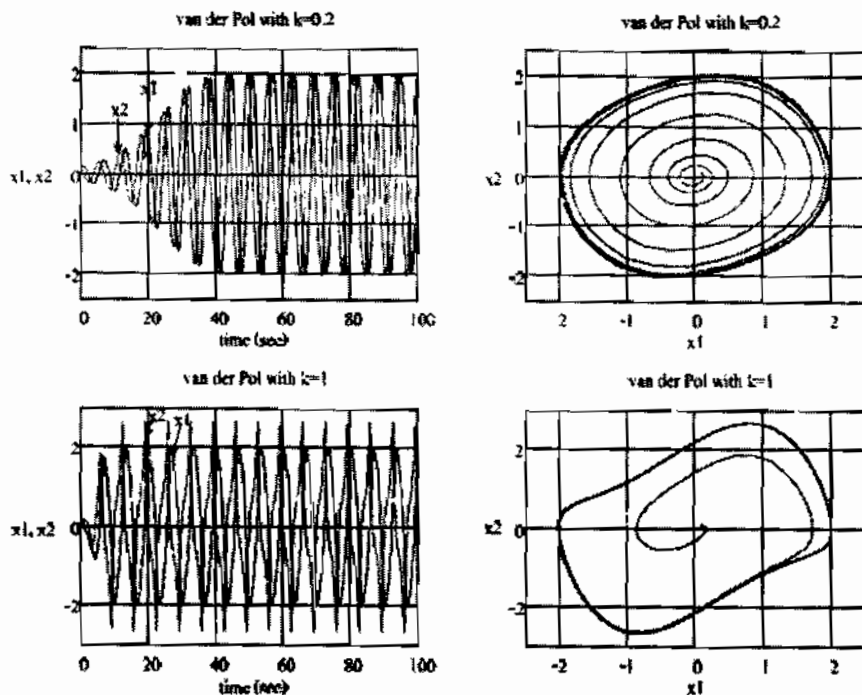
$$\frac{d^2x}{dt^2} - k(1 - x^2) \frac{dx}{dt} + x = 0 \quad (2.1)$$

กำหนดให้

$$\frac{dx_1}{dt} = x_2 \quad (2.2)$$

$$\frac{dx_2}{dt} = -k(1 - x_1^2)x_2 - x_1 \quad (2.3)$$

เมื่อเปลี่ยนแปลงพารามิเตอร์  $k$  ระบบจะแสดงพฤติกรรมได้ดังรูปที่ 2.8 ซึ่งเป็นการเปรียบเทียบ พฤติกรรมในกรณีที่  $k = 0.2$  และ  $k = 1$  จะสังเกตได้ว่าเมื่อพารามิเตอร์  $k$  มีค่าสูงขึ้นจะมีผลทำให้ ระบบเข้าสู่สภาวะเสถียร



รูปที่ 2.8 พฤติกรรมของระบบแวนเดอร์โพลเมื่อกำหนดให้  $k = 0.2$  และ 1

### 2.3.2 ระบบลอเรนซ์

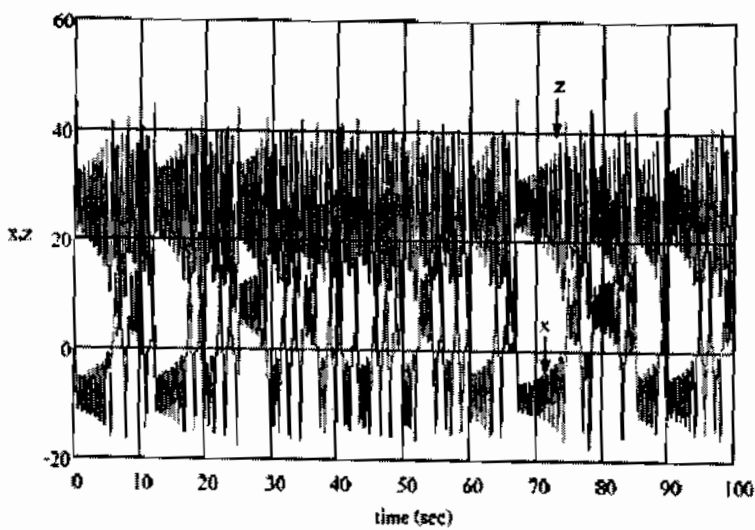
ตัวดึงดูดลอเรนซ์ (Lorenz attractor) เป็นพหุติกรรมที่เกิดขึ้นจากการลอเรนซ์ ชื่อคิดค้นโดยเอ็ดเวิร์ด ลอเรนซ์ (Edward Lorenz) ในปี ค.ศ. 1963 เป็นระบบพลวัตที่ไม่เป็นเชิงเส้น ระบบนี้จะแสดงพหุติกรรมโกลาหลสำหรับค่าพารามิเตอร์บางค่าเท่านั้น ซึ่งบางครั้งระบบดังกล่าวจะแสดงลักษณะที่เรียกว่า ตัวดึงดูดแบบประหลาด (strange attractor) ซึ่งพิสูจน์โดย ทูเคอร์ (W. Tuker) ในปี ค.ศ. 2001 ระบบที่ปรากฏพหุติกรรมตามแบบจำลองนี้ ได้แก่ เลเซอร์ 岱นาโน และกังหันน้ำบางชนิด เป็นต้น ตัวดึงดูดลอเรนซ์เขียนในรูปสมการทางคณิตศาสตร์ได้ดังต่อไปนี้

$$\frac{dx}{dt} = \sigma(y - x) \quad (2.4)$$

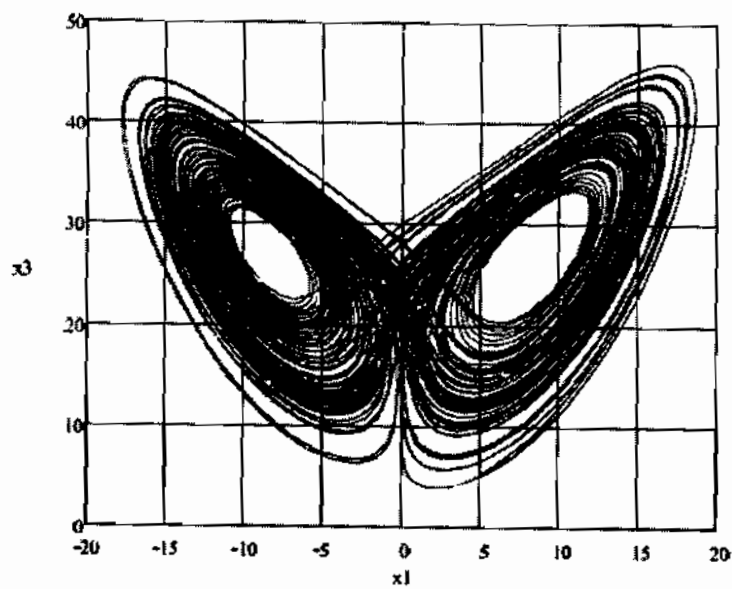
$$\frac{dy}{dt} = x(\rho - z) - y \quad (2.5)$$

$$\frac{dz}{dt} = xy - \beta z \quad (2.6)$$

ในสมการที่ (2.4), (2.5) และ (2.6) ค่าพารามิเตอร์ของระบบ คือ  $\sigma$ ,  $\rho$  และ  $\beta$  ซึ่งในการสร้างแบบจำลองเพื่อที่จะศึกษาพหุติกรรมการเปลี่ยนแปลงของระบบนั้นอาศัยการเปลี่ยนแปลงค่าพารามิเตอร์ โดยมีค่าพารามิเตอร์ที่เหมาะสม ได้แก่  $\sigma=10$ ,  $\rho=28$  และ  $\beta=8/3$  ผลการคำนวณสามารถแสดงได้ดังรูปที่ 2.9



(η)



(ψ)

### รูปที่ 2.9 พฤติกรรมของระบบลอเรนซ์

(ก) ผลการจำลองสมการลอเรนซ์ในโดเมนเวลา

(ข) ผลการจำลองสมการลอเรนซ์ในปริภูมิสัมภ์

### 2.3.3 ระบบ Rossler

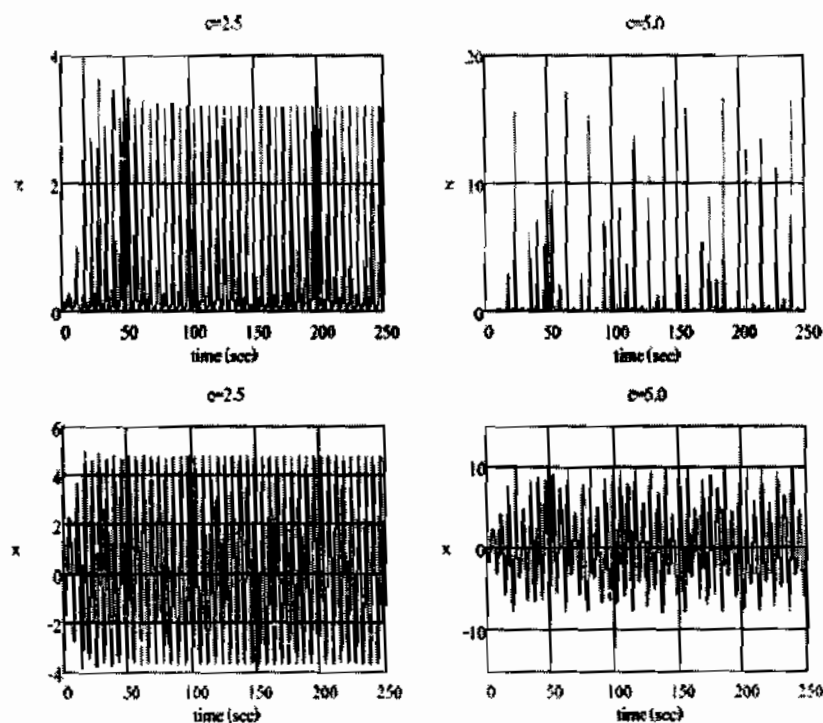
แบบจำลองของ Rossler มีความง่ายกว่าแบบจำลองของลอเรนซ์และมีรูปแบบของสมการดังนี้

$$\frac{dx}{dt} = -(z + y) \quad (2.7)$$

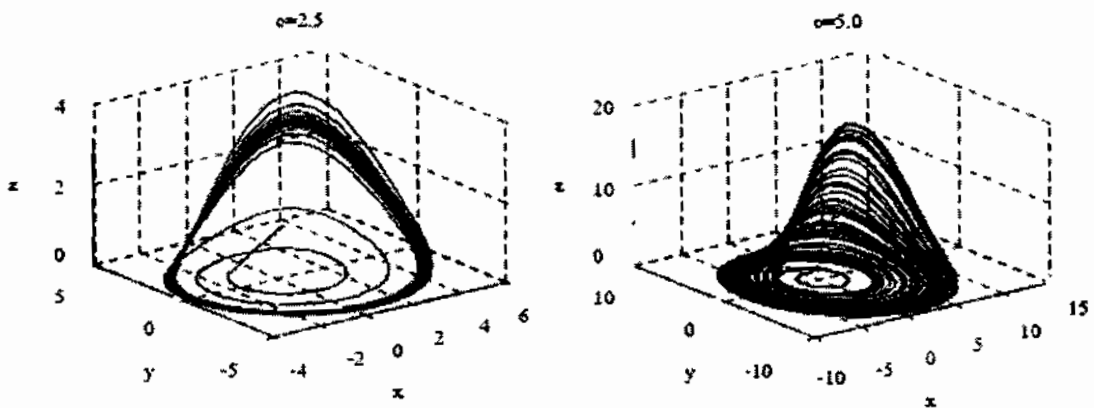
$$\frac{dy}{dt} = x + ay \quad (2.8)$$

$$\frac{dz}{dt} = b + xz - cz \quad (2.9)$$

ซึ่งมีตัวแปรพลวัตของระบบคือ  $x, y$  และ  $z$  โดยมีพจน์ที่ไม่เป็นเชิงเส้นคือ  $xz$  และมี  $a, b, c$  เป็นพารามิเตอร์ การศึกษาสภาวะโกลาหลทำได้โดยกำหนดให้พารามิเตอร์  $a$  และ  $b$  มีค่าคงที่เท่ากับ 0.2 ทั้งคู่ และปรับแปรพารามิเตอร์  $c$  จนกว่าจะเกิดสภาวะโกลาหล พบร่วมตัวแปร  $z$  เกิดสภาวะโกลาหล เมื่อ  $c=2.5$  และ  $c=5.0$  ทั้งนี้ได้แสดงผลการจำลองในโดเมนเวลาไว้ในรูปที่ 2.10 และแสดงผลในปริภูมิสัมภ์ไว้ในรูปที่ 2.11



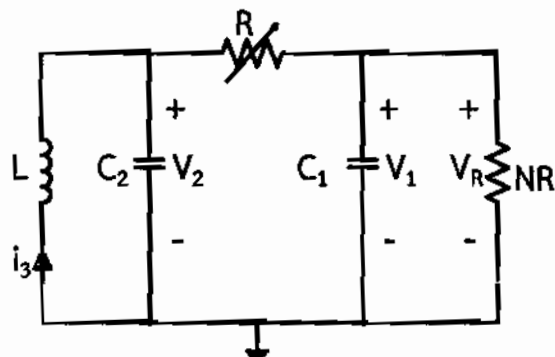
รูปที่ 2.10 ผลการจำลองสมการ Rossler ในโดเมนเวลา



รูปที่ 2.11 ผลการจำลองสมการอสเลอร์ในปริภูมิสे�ตต์ ( $x, y, z$ )

#### 2.4 วงจรชัว

วงจรชัว (chua's circuit) เป็นวงจรอิเล็กทรอนิกส์ที่สามารถสร้างสัญญาณที่เรียกว่าพุติกรรม โกลาหลได้ วงจรประกอบด้วยตัวด้านหน้า ตัวเก็บประจุ ตัวเหนี่ยวนำและตัวด้านหน้าไม่เชิงเส้นดังแสดงในรูปที่ 2.12 ส่วนประกอบของวงจรที่ส่งผลต่อการเกิดพุติกรรมโกลาหลคือ ความด้านหน้าไม่เชิงเส้น หรือที่เรียกว่าชัวจ์ไดโอด ตัวด้านหน้าไม่เชิงเส้นนี้ ในทางปฏิบัติสามารถสร้างขึ้นได้จากโครงสร้าง ออปแอมป์ดังแสดงในรูปที่ 2.14 เมื่อนำมาหาความสัมพันธ์ระหว่างกระแสไฟฟ้าและแรงดันไฟฟ้าจะได้ ความสัมพันธ์ดังแสดงในรูปที่ 2.13 รูปที่ 2.19 เป็นการแสดงงงานชัวที่เกิดจากการแทนที่ตัวด้านหน้า ไม่เชิงเส้นด้วยตัวด้านหน้าไม่เชิงเส้นที่สร้างมาจากอปแอมป์



รูปที่ 2.12 วงจรชัวแบบพื้นฐาน

วงจรชั่วฟ้าให้กำเนิดสัญญาณโกลาหล มีสมการพลวตทางไฟฟ้าดังต่อไปนี้

$$C_1 \frac{dv_1}{dt} = \frac{1}{R} (v_2 - v_1) - f(v_R) \quad (2.10)$$

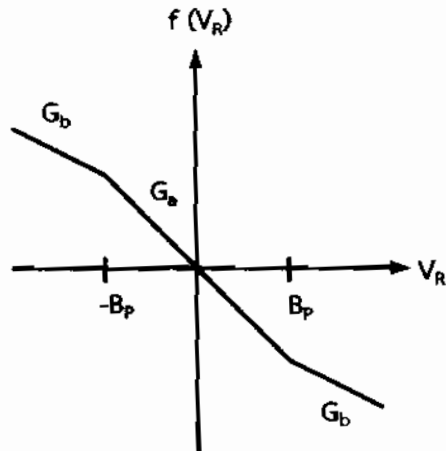
$$C_2 \frac{dv_2}{dt} = \frac{1}{R} (v_1 - v_2) + i_L \quad (2.11)$$

$$L \frac{di_L}{dt} = -v_2 \quad (2.12)$$

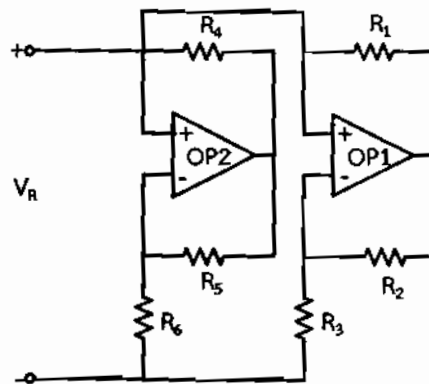
เมื่อ  $v_1, v_2$  และ  $i_L$  คือแรงดันตกคร่อม  $C_1, C_2$  และกระแสที่ไหลผ่านตัวเหนี่ยวนำ  $L$  ตามลำดับ ส่วน  $f(v_R)$  คือ สมการที่แสดงลักษณะสมบัติของความต้านทานไม่เชิงเส้น ซึ่งสามารถแสดงได้ด้วยสมการที่ (2.13)

$$f(v_R) = G_a v_R + \frac{1}{2} (G_a - G_b) (|v_R - B_p| - |v_R + B_p|) \quad (2.13)$$

เมื่อ  $G_a$  และ  $G_b$  คือ ความชันของกราฟลักษณะสมบัติ  $f(v_R)$  ช่วงด้านในและด้านนอก ตามลำดับ โดยมี  $B_p$  เป็นจุดสิ้นสุดช่วงที่เป็นเชิงเส้นดังแสดงในรูปที่ 2.13

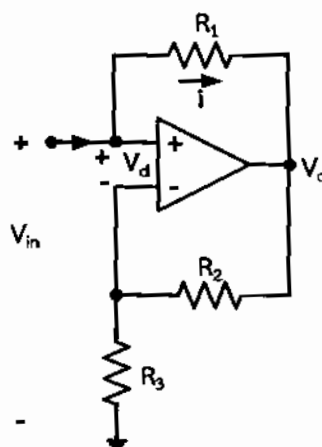


รูปที่ 2.13 ช่วงความชันของความต้านทานแบบไม่เชิงเส้น



รูปที่ 2.14 โครงข่ายอปแอมป์ใช้เป็นตัวต้านทานไม่เชิงเส้น

จากโครงข่ายอปแอมป์ที่ใช้เป็นตัวต้านทานไม่เชิงเส้นสามารถพิจารณาได้ดังรูปที่ 2.15



รูปที่ 2.15 วงจรความต้านทานเชิงลบ

จากการในรูปที่ 2.15 สมมติให้อปแอมป์เป็นอปแอมป์ในอุดมคติ ซึ่งกระแส  $i$  จะไม่สามารถไหลผ่านเข้าไปในขั้วบวกของอปแอมป์ได้ ดังนั้นจึงสามารถคำนวณกระแส  $i$  ได้ดังนี้

$$i = \frac{V_{in} - V_o}{R_1} \quad (2.14)$$

ในอีกทางหนึ่ง กระแส  $i$  ไม่สามารถไหลผ่านเข้าไปยังขั้วลบของอปแอมป์ได้ เช่นกันดังนั้นจึงสามารถคำนวณแรงดัน  $V_{in}$  ได้ดังนี้

$$V_{in} = V_d + \frac{R_3}{(R_2 + R_3)} V_o \quad (2.15)$$

จากคุณสมบัติของออปแอมป์ในอุดมคติสามารถถาความสัมพันธ์ระหว่าง  $V_o$ ,  $V_d$  และ อัตราขยาย  $A_v$  ได้ว่า

$$V_o = A_v V_d$$

เมื่อแทน  $V_d$  ที่ได้จากสมการ (2.16) ลงในสมการ (2.15) จะได้ว่า

$$\begin{aligned} V_{in} &= \frac{V_o}{A_v} + \frac{R_3}{(R_2 + R_3)} V_o \\ &= \frac{V_o (R_2 + R_3) + R_3 A_v V_o}{A_v (R_2 + R_3)} \\ &= \frac{R_2 + V_o R_3 + R_3 A_v V_o}{A_v (R_2 + R_3)} \\ V_{in} &= \frac{(R_2 + (1+A_v)R_3)V_o}{A_v(R_2+R_3)} \end{aligned} \quad (2.16)$$

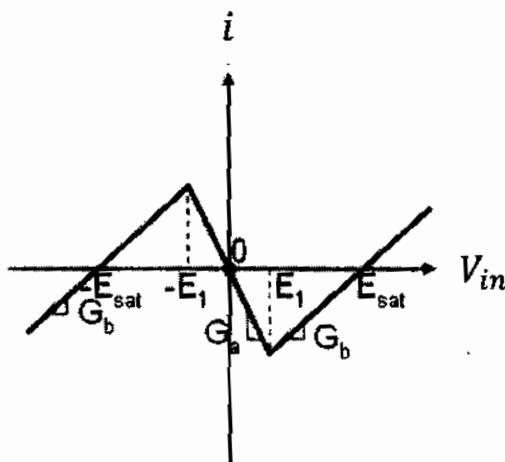
จากความสัมพันธ์ระหว่าง  $V_o$  กับ  $V_{in}$  สามารถปรับให้อยู่ในรูปที่เหมาะสมและนำไปแทนใน สมการที่ (2.14) ดังนี้

$$i = \frac{((1+A_v)R_2+R_3)}{R_2+R_3+A_v R_3} V_{in} \quad (2.17)$$

เมื่ออัตราขยายแบบลูปเปิดของออปแอมป์มีค่าสูงมาก ( $A_v \rightarrow \infty$ ) ประกอบกับกำหนดให้  $R_1 = R_2$  สมการที่ (2.17) จะกลายเป็น

$$i = -\frac{1}{R_3} V_{in} \quad (2.18)$$

เมื่อนำสมการที่ (2.18) ไปพิจารณาความสัมพันธ์ระหว่าง  $V_{in}$  กับ  $i$  จะได้กราฟดังแสดงใน รูปที่ 2.16 ซึ่งเป็นความต้านทานเชิงลบ



รูปที่ 2.16 ความสัมพันธ์ระหว่างกระแสไฟฟ้ากับแรงดันไฟฟ้าของวงจรในรูปที่ 2.15

แต่ถ้าอย่างไรก็ตามเมื่อ  $V_{in}$  มีค่าสูงขึ้น ความต้านทานก็จะเริ่มมีค่าเป็นบวก เมื่อออปแอมป์เริ่มเกิดการอิมตัวในฝั่งบวก ( $V_o = E_{sat}$ ) ซึ่งกระแส  $i$  สามารถคำนวณได้จากสมการ (2.19)

$$i = \frac{V_{in} - E_{sat}}{R_1} \quad (2.19)$$

โดยจุดแบ่งความชัน ( $E_1$ ) ของความสัมพันธ์ระหว่างกระแสไฟฟ้าและแรงดันไฟฟ้าที่แสดงในรูปที่ 2.16 สามารถคำนวณได้จาก

$$E_1 = \frac{R_2 + R_3(1 - A_V)}{A_V(R_2 + R_3)} E_{sat}$$

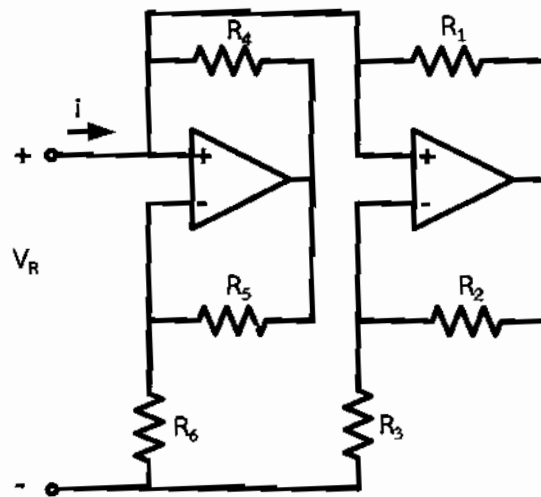
เมื่อพิจารณาให้ ( $A_V \rightarrow \infty$ ) จะได้ว่า

$$E_1 = \frac{R_3}{R_2 + R_3} E_{sat}$$

เมื่อพิจารณาที่ฝั่งลบ จะได้ว่า

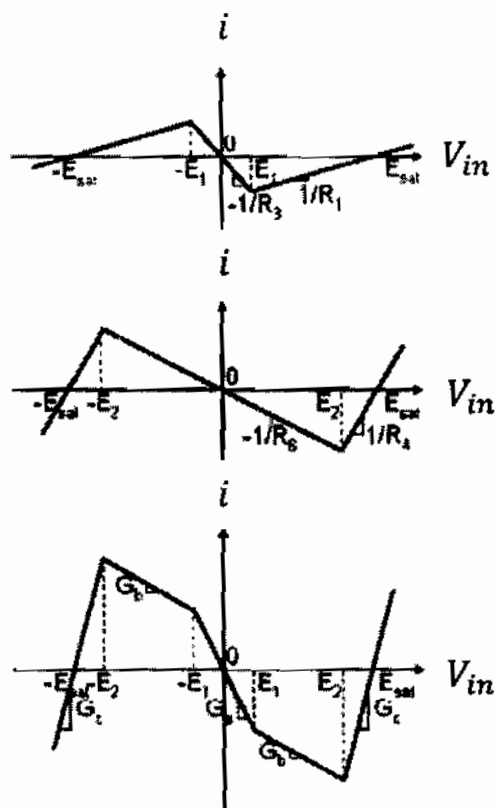
$$E_1 = -\frac{R_3}{R_2 + R_3} E_{sat}$$

แต่สำหรับการศึกษาในครั้งนี้จะสร้างวงจรขึ้นโดยการนำวงจรตัวต้านทานเชิงลบที่แสดงในรูปที่ 2.15 มาต่อขนาดกัน ดังแสดงในรูปที่ 2.17



รูปที่ 2.17 โครงข่ายอปแอมป์ที่แสดงคุณลักษณะความไม่เป็นเส้นแบบ 5 ส่วน

จากรูปที่ 2.17 สามารถอธิบายความสัมพันธ์ระหว่างกระแสไฟฟ้ากับแรงดันไฟฟ้าแบบไม่เชิงเส้นได้จากรูปที่ 2.18



รูปที่ 2.18 ความสัมพันธ์ระหว่างกระแสไฟฟ้ากับแรงดันไฟฟ้าของความต้านทานเชิงลับ

โดยค่าพารามิเตอร์ต่างๆสามารถคำนวณได้จากสมการต่อไปนี้

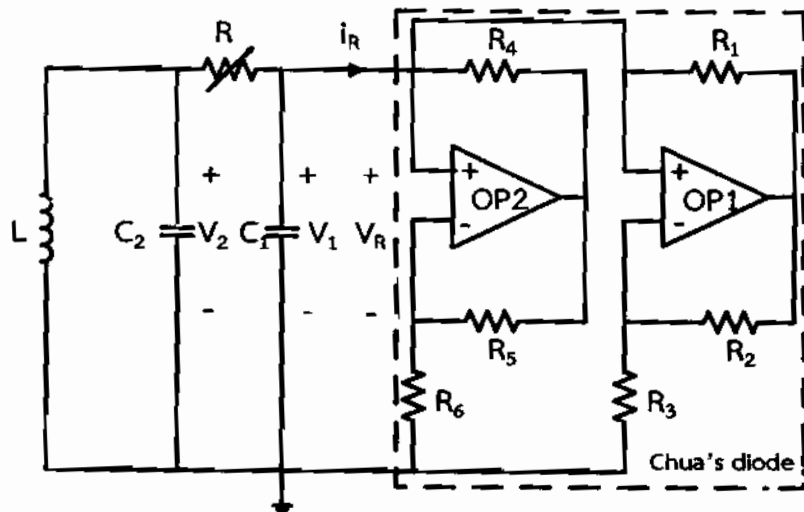
$$G_a = -\frac{1}{R_3} - \frac{1}{R_6}$$

$$G_b = \frac{1}{R_1} - \frac{1}{R_6}$$

$$G_c = \frac{1}{R_1} + \frac{1}{R_4}$$

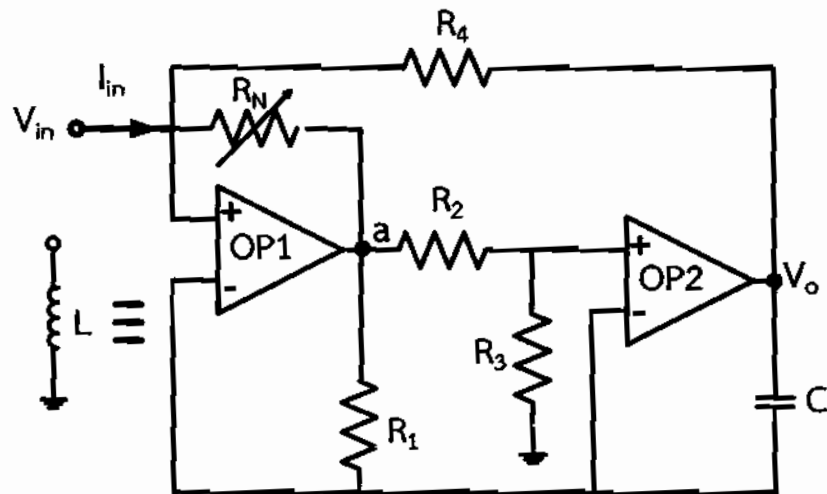
$$E_1 = \frac{R_3}{R_2 + R_3} E_{sat}$$

$$E_2 = \frac{R_6}{R_5 + R_6} E_{sat}$$



รูปที่ 2.19 วงจรนี้ที่ใช้ตัวต้านทานไม่เชิงเส้นที่สร้างมาจากอปแอมป์

ความถี่ของสัญญาณโกลาหลที่ได้จะขึ้นอยู่กับอุปกรณ์ตัวหนึ่งในน้ำและตัวเก็บประจุ หากต้องการสัญญาณความถี่ต่ำ ต้องเพิ่มค่าความหนืดยาน้ำ แต่จะประสบปัญหาเกี่ยวกับขนาดทางกายภาพของตัวหนึ่งยาน้ำที่ต้องซื้อด้วย ซึ่งทำให้การสร้างเป็นไปได้ยากและไม่สะดวกในการใช้งาน จากปัญหาดังกล่าวสามารถแก้ไขได้ด้วยการใช้ตัวหนึ่งยาน้ำเสมือน (gyrator หรือ simulated inductor) ดังแสดงในรูปที่ 2.20 และเมื่อร่วมวงจรเข้าด้วยกันจะได้วงจรชั่วที่ประกอบด้วยตัวหนึ่งยาน้ำเสมือนดังแสดงในรูปที่ 2.21



รูปที่ 2.20 วงจรตัวหนึ่งยาน้ำเสมือน

จากวงจรตัวหนึ่งยาน้ำเสมือนที่แสดงในรูปที่ 2.20 สามารถหาเงื่อนไขความสัมพันธ์ได้ดังต่อไปนี้

$$\frac{V_{in} - V_o}{R_4} + \frac{V_{in} - V_a}{R_N} - I_{in} = 0 \quad (2.20)$$

$$\frac{V_{in} - V_a}{R_1} + \frac{V_{in} - V_o}{Z_C} = 0 \quad (2.21)$$

$$\frac{V_{in} - V_a}{R_2} + \frac{V_{in} - 0}{R_3} = 0 \quad (2.22)$$

$$V_{in} + \frac{R_2}{R_3} V_{in} = V_a$$

$$V_a = V_{in} \left( \frac{R_3 + R_2}{R_3} \right) \quad (2.23)$$

แทนสมการ (2.22) ลงใน (2.21) จะได้

$$\begin{aligned}
 V_{in} \left( \frac{1}{R_1} + \frac{1}{Z_C} \right) &= \frac{V_a}{R_1} + \frac{V_o}{Z_C} \\
 &= \frac{V_o}{Z_C} + V_{in} \left( \frac{R_3 + R_2}{R_3 R_1} \right) \\
 \frac{V_o}{Z_C} &= V_{in} \left( \frac{1}{R_1} + \frac{1}{Z_C} - \frac{(R_2 + R_3)}{R_3 R_1} \right) \\
 V_o &= V_{in} \left( \frac{Z_C}{R_1} + 1 - \frac{(R_2 + R_3)}{R_1 R_3} Z_C \right) \\
 &= V_{in} \left( \frac{Z_C R_3 + R_1 R_3 - Z_C (R_2 + R_3)}{R_1 R_3} \right)
 \end{aligned} \tag{2.24}$$

แทนสมการ (2.24) ลงใน (2.20) จะได้

$$\begin{aligned}
 V_{in} \left( \frac{1}{R_4} + \frac{1}{R_N} \right) - I_{in} &= \frac{V_o}{R_4} + \frac{V_a}{R_N} \\
 &= V_{in} \left( \frac{Z_C R_3 + R_1 R_3 - Z_C (R_2 + R_3)}{R_1 R_3 R_4} \right) + V_{in} \left( \frac{R_3 + R_2}{R_3 R_N} \right) \\
 &= V_{in} \left( \frac{Z_C R_3 R_N + R_1 R_3 R_N - Z_C R_N (R_2 + R_3) + R_1 R_4 (R_3 + R_2)}{R_1 R_3 R_4 R_N} \right) \\
 \\ 
 V_{in} \left( \frac{1}{R_4} + \frac{1}{R_N} \right) - I_{in} &= V_{in} \left( \frac{Z_C R_3 R_N + R_1 R_3 R_N - Z_C R_N (R_2 + R_3) + R_1 R_4 (R_2 + R_3)}{R_1 R_3 R_4 R_N} \right) \\
 I_{in} &= V_{in} \left( \frac{R_4 + R_3 - Z_C R_3 R_N - R_1 R_3 R_N + Z_C R_N (R_2 + R_3) - R_1 R_4 (R_2 + R_3)}{R_1 R_3 R_4 R_N} \right) \\
 &= V_{in} \left( \frac{R_1 R_3 R_4 + R_1 R_3 R_N - Z_C R_3 R_N - R_1 R_3 R_N + Z_C R_N (R_2 + R_3) - R_1 R_4 R_2 - R_1 R_4 R_3}{R_1 R_3 R_4 R_N} \right) \\
 &= V_{in} \left( \frac{Z_C R_N R_2 + Z_C R_N R_3 - R_1 R_4 R_2 - Z_C R_3 R_N}{R_1 R_3 R_4 R_N} \right)
 \end{aligned}$$

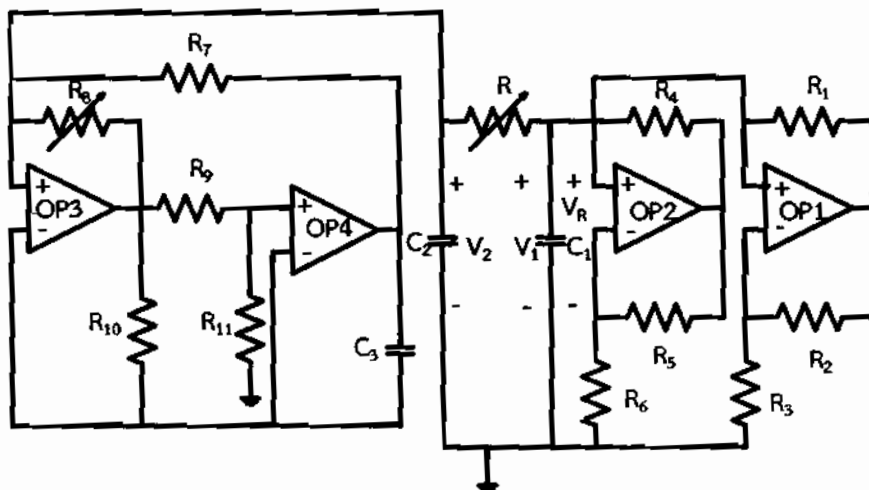
$$\begin{aligned}
 \frac{V_{in}}{I_{in}} &= \frac{R_1 R_3 R_4 R_N}{Z_C R_N R_2 - R_1 R_4 R_2} = \frac{R_1 R_3 R_4 R_N}{R_2 (Z_C R_N - R_1 R_4)} \\
 Z &= \frac{R_1 R_3 R_4 R_N}{R_2 (Z_C R_N - R_1 R_4)} = \frac{R^2 R_N}{Z_C R_N - R^2} = \frac{R_N}{(Z_C R_N / R^2) - 1}
 \end{aligned} \tag{2.25}$$

โดยที่  $R_1 = R_2 = R_3 = R_4 = R$

$$\text{ถ้าประมาณว่า } \frac{Z_C R_N}{R^2} \gg 1; \quad Z = \frac{R_N}{Z_C R_N} R^2 \quad z = \frac{R^2}{Z_C} = j\omega c R^2$$

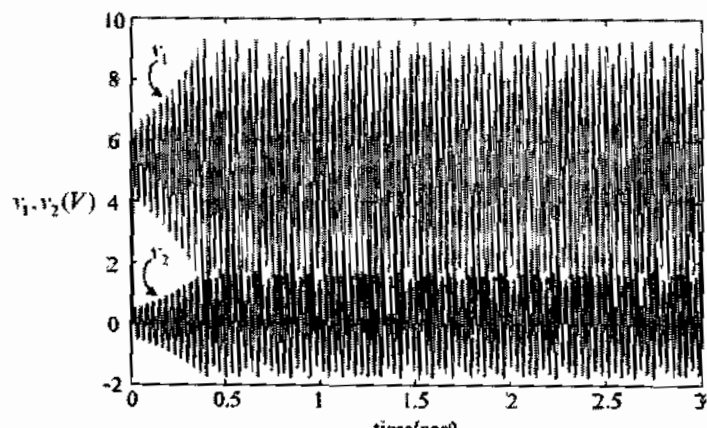
จากเงื่อนไขความสัมพันธ์ข้างต้นสามารถประมาณความหนี่ยาน้ำเสมีอนได้ ดังสมการที่ 2.25

$$L = R^2 C \quad (2.25)$$

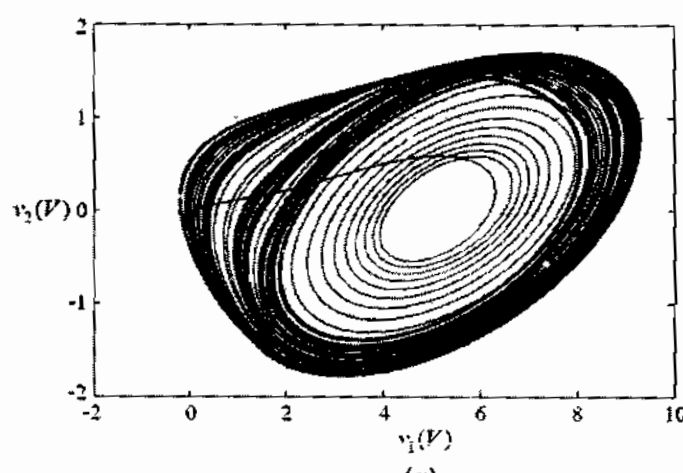


รูปที่ 2.21 วงจรอั่วที่ใช้ตัวเหนี่ยววน้ำเสมีอน

ลักษณะของสัญญาณโกลาหลพื้นฐานที่ได้จากการอั่ว มีสองรูปแบบได้แก่ แบบวงม้วนเดียว (Single scroll) และแบบวงม้วนคู่ (Double scroll) รูปแบบของสัญญาณที่ได้นี้ขึ้นอยู่กับค่าความต้านทานที่อยู่ระหว่าง  $C_1$  และ  $C_2$  ในวงจรอั่ว ลักษณะของสัญญาณโกลาหลที่เกิดขึ้นทั้งสองแบบแสดงได้ดังรูปที่ 2.22 และ 2.23 ตามลำดับ



(ก)

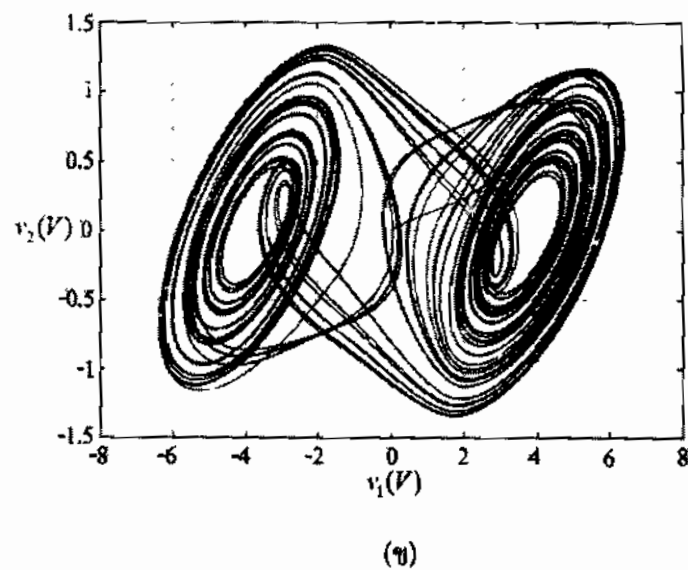
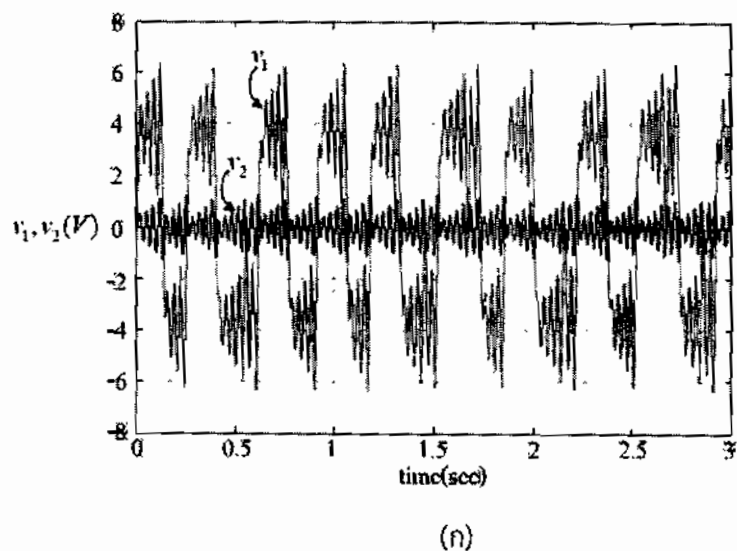


(ข)

รูปที่ 2.22 สัญญาณโกลาหลจากการจารชั่วแบบบางม้วนเดียว

(ก) สัญญาณโกลาหลจากการจารชั่วแบบบางม้วนเดียวในโดเมนเวลา

(ข) สัญญาณโกลาหลจากการจารชั่วแบบบางม้วนเดียวในปริภูมิสเปต



รูปที่ 2.23 สัญญาณโกลาหลจากการจัดรูปแบบบ่วงม้วนคู่

(ก) สัญญาณโกลาหลจากการจัดรูปแบบบ่วงม้วนคู่ในโดเมนเวลา

(ข) สัญญาณโกลาหลจากการจัดรูปแบบบ่วงม้วนคู่ในปริภูมิสัมภ์

#### 2.4.1 หลักการทำงานของวาระนี้

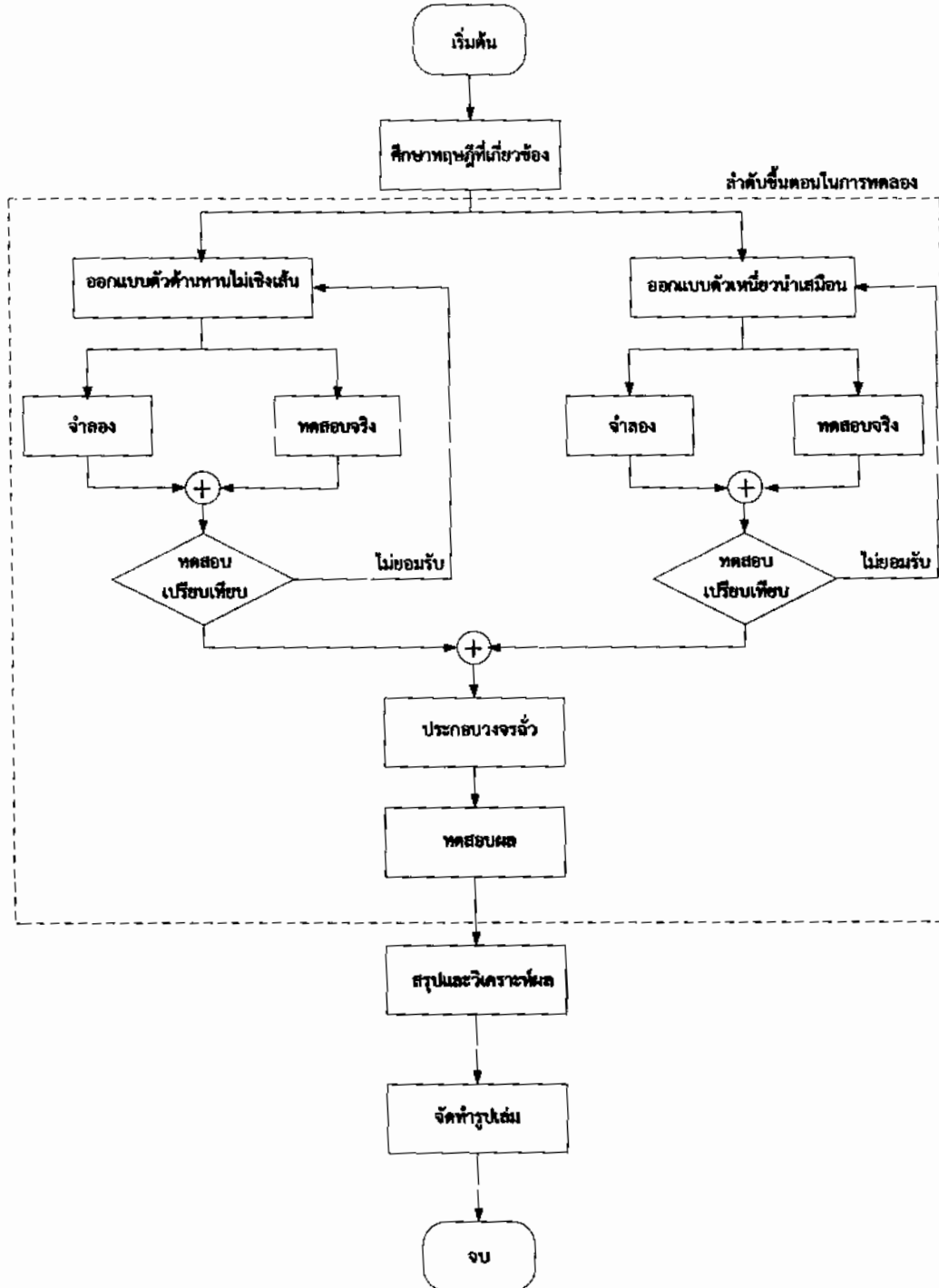
เมื่อพิจารณางานในรูปที่ 2.18 จะเห็นได้ว่าองค์ประกอบของวาระนี้จะมีตัวหนึ่งนำ 1 ตัว เก็บประจุ 2 ตัว ความต้านทานปรับค่าได้ และโครงข่ายอปแอมป์ที่ทำหน้าที่เป็น ความต้านทานไม่เชิงเส้น ในการทำงานของวาระจะต้องมีการทำหน้าที่แรงดันที่ตัวเก็บประจุเพื่อเป็นค่า เริ่มต้นให้กับวงจร โครงข่ายอปแอมป์ที่ต่อร่วมในวงจรจะทำหน้าที่ในการสร้างความต้านทานเชิงลบ ซึ่ง เป็นปัจจัยสำคัญในการกำหนดแรงดันที่เกี่ยวข้องกับรูปลักษณะของสัญญาณที่เกิดขึ้น ภาวะโกลาหลที่ เกิดขึ้นจะสามารถแสดงได้ด้วยความสัมพันธ์ระหว่างตัวแปรสเตต 2 ตัวได้แก่ แรงดันตกคร่อม ตัวเก็บประจุ  $h_1$  และ  $h_2$  สัญญาณมีรูปลักษณะของการโดยที่สามารถปรับเปลี่ยนได้ด้วยการปรับค่า ความต้านทาน

วงจรในรูปที่ 2.21 เป็นวงจรนี้ที่มีการพัฒนาขึ้น โดยเปลี่ยนตัวหนึ่งนำให้เป็น โครงข่ายอปแอมป์ หรือที่เรียกว่า ตัวหนึ่งนำเสนอön ซึ่งในการเปลี่ยนแปลงของวงจรนี้ส่วนหนึ่งมี สาเหตุมาจากการค่าความหนึ่งนำที่ใช้ในวงจรปรับค่าได้มาก เมื่อมีการเปลี่ยนแปลงค่าตัวหนึ่งนำอาจทำ ให้ขนาดของตัวหนึ่งนำเปลี่ยนแปลงไป และกรณีที่มีการปรับเปลี่ยนค่าความหนึ่งนำจะส่งผลให้ สัญญาณที่เกิดขึ้นมีการเปลี่ยนแปลงอย่างรวดเร็ว ดังนั้นเพื่อลดปัญหาที่อาจเกิดขึ้นเนื่องจาก ตัวหนึ่งนำ จึงปรับปรุงวงจรให้อยู่ในลักษณะที่ง่ายต่อการปรับแต่งค่าได้อย่างละเอียด

### บทที่ 3

#### วิธีการดำเนินงานและวิธีการทดลอง

ในบทนี้จะกล่าวถึงวิธีการดำเนินงานและวิธีการทดลอง ซึ่งสามารถอธิบายได้ด้วยแผนภาพในรูปที่ 3.1

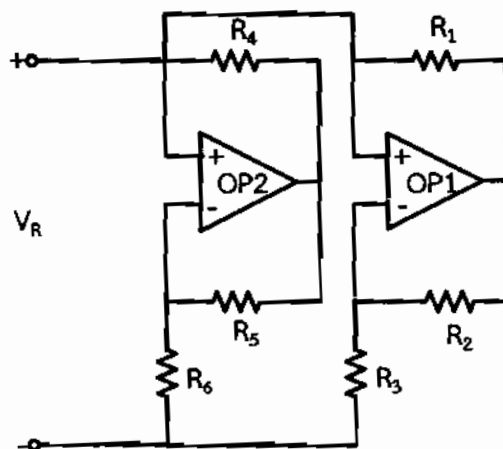


รูปที่ 3.1 วิธีการดำเนินงานและวิธีการทดลอง

จากแผนภาพสามารถอธิบายวิธีการดำเนินงานและวิธีการทดลองได้ดังนี้ ผู้วิจัยจะทำการศึกษาทฤษฎีที่เกี่ยวข้องกับความโกลาหล วงจรอัมพ์ตัวต้านทานไม่เชิงเส้น และตัวเหนี่ยวนำสมீอัน จากนั้นจะทำการออกแบบวงจรอัมพ์เพื่อสร้างสัญญาณที่มีพฤติกรรมโกลาหลขึ้น โดยวงจรนี้จะประกอบไปด้วยตัวต้านทานคงที่ ตัวเก็บประจุ 2 ตัว ตัวต้านทานไม่เชิงเส้น และตัวเหนี่ยวนำ ซึ่งในการวิจัยครั้งนี้ ผู้วิจัยจะทำการศึกษาและทำการออกแบบวงจรส่วนตัวต้านทานไม่เชิงเส้น และตัวเหนี่ยวนำสมீอันขึ้นมาเพื่อใช้ประกอบเป็นวงจรอัมพ์ ซึ่งมีรายละเอียดดังนี้

### 3.1 การออกแบบตัวต้านทานไม่เชิงเส้น

ในการออกแบบตัวต้านทานไม่เชิงเส้นในครั้งนี้ ผู้วิจัยจะใช้โครงข่ายอปแอมป์และตัวต้านทานมาสร้างเป็นตัวต้านทานไม่เชิงเส้น ดังแสดงในรูปที่ 3.2



รูปที่ 3.2 ตัวต้านทานไม่เชิงเส้น

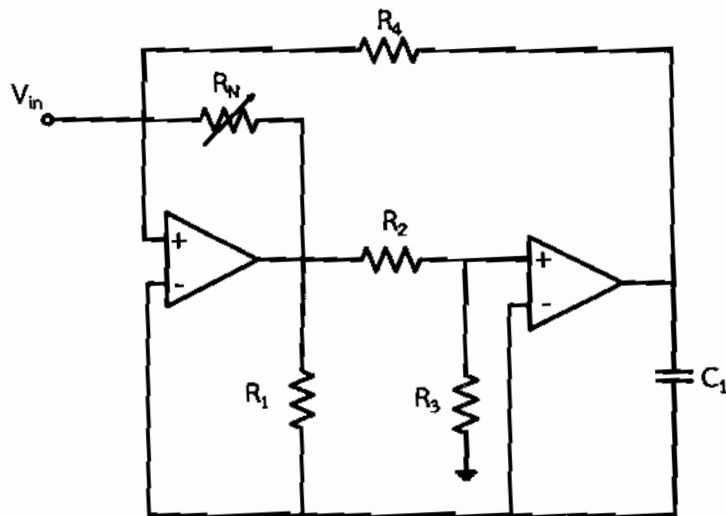
จากรูปที่ 3.2 ส่วนประกอบของวงจรอัมพ์ที่มีผลต่อการเกิดพฤติกรรมโกลาหลนี้คือ ตัวต้านทานไม่เชิงเส้น ซึ่งลักษณะสมบัติของตัวต้านทานไม่เชิงเส้นสามารถแสดงได้ด้วยสมการที่ 2.13

เมื่อได้รูปแบบของวงจรตัวต้านทานไม่เชิงเส้นที่จะทำการออกแบบแล้วก็ทำการจำลองวงจรที่ได้ออกแบบโดยใช้โปรแกรม Multisim เมื่อได้คุณลักษณะของวงจรเป็นไปตามที่ได้ออกแบบไว้แล้ว ก็ทำการทดลองจริงเพื่อเปรียบเทียบและยืนยันผล

การสร้างสัญญาณโกลาหลด้วยวงจรชั่วคราว ความถี่ของสัญญาณโกลาหลที่ได้จะขึ้นอยู่กับอุปกรณ์ตัวหนี่ยวน้ำและตัวเก็บประจุ หากต้องการสัญญาณความถี่ต่ำ ต้องเพิ่มค่าความหนี่ยวน้ำให้มากขึ้น แต่จะประสบปัญหาเกี่ยวกับขนาดของตัวหนี่ยวน้ำที่ต้องขึ้นด้วย ซึ่งทำให้การสร้างเป็นไปได้ยาก และไม่สะดวกในการใช้งาน จากปัญหาดังกล่าวสามารถแก้ไขได้ด้วยการใช้ตัวหนี่ยวน้ำเสมือน

### 3.2 การออกแบบตัวหนี่ยวน้ำเสมือน

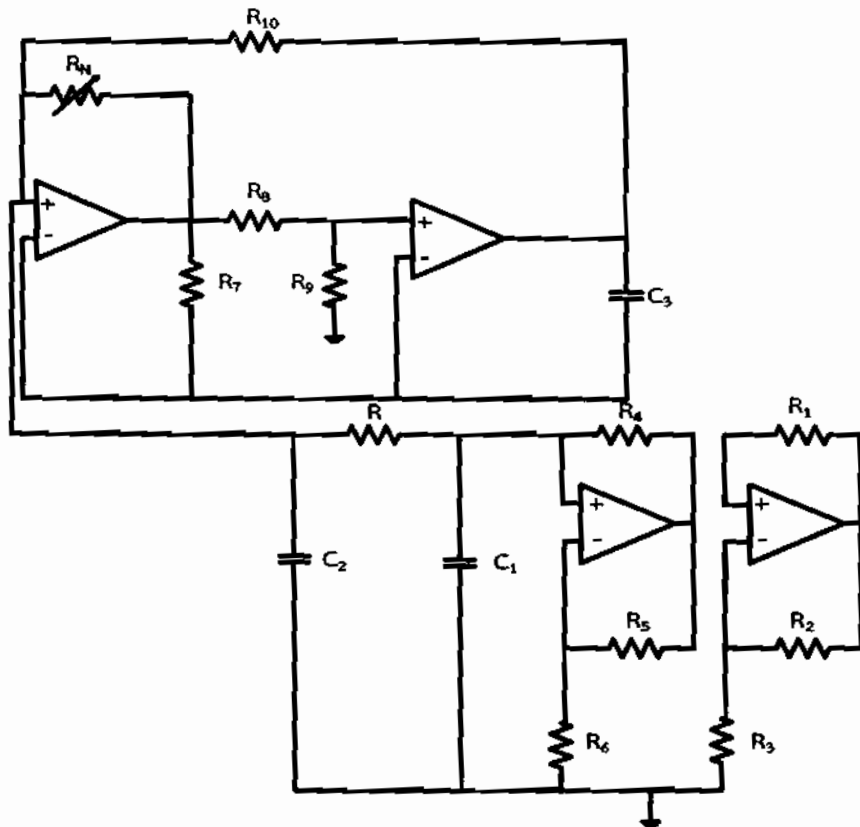
ในการออกแบบตัวหนี่ยวน้ำเสมือนในโครงการนี้ จะใช้โครงข่ายอปแอมป์ ตัวต้านทาน และตัวเก็บประจุ มาใช้ในการออกแบบ ซึ่งสามารถแสดงได้ดังรูปที่ 3.3



รูปที่ 3.3 ตัวหนี่ยวน้ำเสมือน

จากร่วมกันของวงจรตัวหนี่ยวน้ำเสมือนที่แสดงในรูปที่ 3.3 สามารถคำนวณหนี่ยวน้ำได้ดังสมการ (2.23)

เมื่อได้รูปแบบของวงจรตัวหนี่ยวน้ำเสมือนที่จะใช้ในการออกแบบแล้ว ก็ดำเนินการจำลองและทดลองจริง โดยการนำตัวหนี่ยวน้ำเสมือนมาทำการทดสอบกับวงจรกรองสัญญาณแบบความถี่ผ่านเพื่อทำการเปรียบเทียบและวัดผลต่อไป เมื่อได้ร่วมกันของตัวต้านทานไม่เชิงเส้น และตัวหนี่ยวน้ำเสมือนที่เป็นไปตามที่ต้องการแล้ว ก็นำตัวหนี่ยวน้ำเสมือนและตัวต้านทานไม่เชิงเส้นมาประกอบรวมเป็นวงจรเข้า เพื่อใช้ในการสร้างสัญญาณความโกลาหลต่อไป ซึ่งสามารถแสดงได้ดังรูปที่ 3.4



รูปที่ 3.4 วงจรซึ่งที่ประกอบขึ้นจากตัวถ่านท่านไม่เชิงเส้นและตัวหนี่ยวนำสมิอันที่ได้ทำการออกแบบ

เมื่อทำการประกอบวงจรดังที่แสดงในรูปที่ 3.4 เรียบร้อยแล้ว ก็นำวงจรที่ได้ไปทำการทดสอบผล เพื่อนำผลมาวิเคราะห์และสรุป ตลอดจนนำผลที่ได้ไปเขียนเป็นรายงานและจัดทำรูปเล่มต่อไป

## บทที่ 4

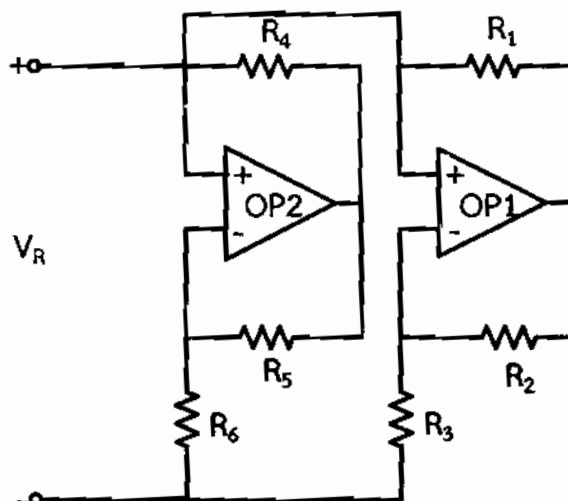
### ผลการทดลอง

เนื้อหาในบทนี้เป็นการนำเสนอผลการทดลองการทำงานของวงจรชั้วที่ได้ทำการออกแบบ ซึ่งแบ่งเนื้อหาออกเป็น 3 ส่วน ประกอบด้วย การออกแบบตัวต้านทานไม่เชิงเส้น การออกแบบตัวเหนี่ยวนำเสมือนและวงจรชั้วที่ประกอบขึ้นมาจากการตัวต้านทานไม่เชิงเส้นและตัวเหนี่ยวนำที่ได้ทำการออกแบบ

#### 4.1 การออกแบบตัวต้านทานไม่เชิงเส้น

##### การทดสอบตัวต้านทานไม่เชิงเส้นที่สร้างมาจากโครงข่ายอปแอมป์

วงจรส่วนตัวต้านทานไม่เชิงเส้นที่สร้างจากโครงข่ายอปแอมป์ของโครงงานปัญหาพิเศษนี้แสดงได้ดังรูปที่ 4.1 โดยในการทดสอบ ได้กำหนดให้อุปกรณ์ภายนอกวงจรมีค่าดังแสดงในตารางที่ 4.1 การทดสอบแบ่งออกเป็น 2 ส่วน คือ การทดสอบโดยการจำลองและการทดสอบจากการทดลองจริง

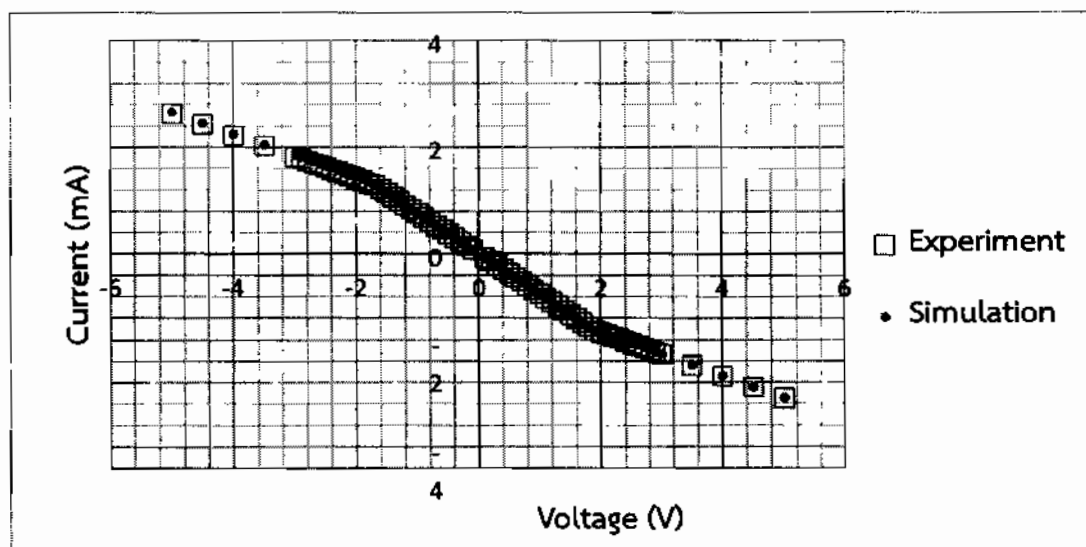


รูปที่ 4.1 ตัวต้านทานไม่เชิงเส้นที่ออกแบบโดยใช้โครงข่ายอปแอมป์

ตารางที่ 4.1 ค่าอุปกรณ์ภายในวงจรตัวต้านทานไม่เชิงเส้นที่สร้างจากโครงข่ายօปแอมป์

ความต้านทาน	օปแอมป์
$R_1 = R_2 = 220\Omega$	LM741
$R_3 = 2.2k\Omega$	
$R_4 = R_5 = 22k\Omega$	
$R_6 = 3.3k\Omega$	

รูปที่ 4.2 แสดงความสัมพันธ์ระหว่างกระแสไฟฟ้ากับแรงดันไฟฟ้าของความต้านทานไม่เป็นเชิงเส้นที่สร้างจากโครงข่ายօปแอมป์ จากกราฟ แสดงให้เห็นว่าผลที่ได้จากการจำลองและการทดสอบด้วยวงจรจริงมีแนวโน้มไปในทิศทางเดียวกันเป็นอย่างตี โดยมีค่าความชันในช่วงแรก (Ga) เท่ากับ  $-0.97 \text{ mS}$  ซึ่งเกิดขึ้นในช่วงแรงดันระหว่าง  $-1.8 - 1.8 \text{ V}$  และมีค่าความชันในช่วงที่สอง (Gb) เท่ากับ  $-0.20 \text{ mS}$



รูปที่ 4.2 ความสัมพันธ์ระหว่างกระแสไฟฟ้ากับแรงดันไฟฟ้าของความต้านทานไม่เชิงเส้นที่สร้างจากโครงข่ายօปแอมป์

## 4.2 การออกแบบตัวเหนี่ยวนำแม่เหล็ก

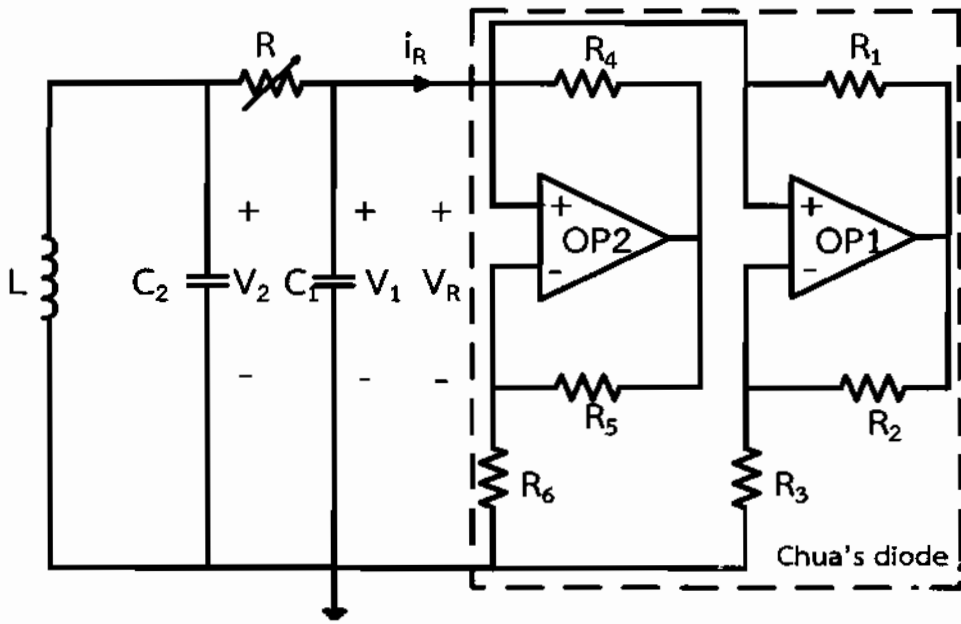
ก่อนจะทำการออกแบบตัวเหนี่ยวนำแม่เหล็ก การออกแบบตัวเหนี่ยวนำให้มีค่าตามที่ต้องการ จึงจะสามารถสร้างสัญญาณโกลาหลขึ้นในวงจรชี้วัด จากการจำลองโดยใช้ตัวเหนี่ยวน้าจริงในวงจรชี้วัดพบว่าการเกิดสัญญาณโกลาหลนั้นสามารถเกิดขึ้นได้จากตัวเหนี่ยวน้ำหลายๆ ค่า โดยลักษณะสัญญาณที่เกิดขึ้นนั้นจะเปลี่ยนแปลงไปตามค่าตัวต้านทานภายในการจัดตั้งแต่ตัวเหนี่ยวน้ำที่มีค่าเท่ากับ  $20\text{mH}$  สำหรับในการศึกษาครั้งนี้ผู้วิจัยเลือกใช้ตัวเหนี่ยวน้ำที่มีค่าเท่ากับ  $20\text{mH}$  ใน การศึกษาและพัฒนา

### 4.2.1 การสร้างสัญญาณโกลาหลในวงจรชี้วัดโดยใช้ตัวเหนี่ยวน้ำที่มีค่าเท่ากับ $20\text{mH}$

ในการจำลองสัญญาณโกลาหลโดยใช้ช่วงจังหวะที่ประกอบด้วยตัวต้านทานไม่เชิงเส้นที่ได้ออกแบบไว้ในหัวขอที่ผ่านมากับตัวเหนี่ยวน้ำที่มีค่าเท่ากับ  $20\text{mH}$  ภายใต้อุปกรณ์ค่าต่างๆ ดังแสดงในรูปที่ 4.3 และตารางที่ 4.2 ตามลำดับ

ตารางที่ 4.2 ค่าอุปกรณ์ภายในการจังหวะที่ประกอบด้วยตัวต้านทานไม่เชิงเส้นและตัวเหนี่ยวน้ำค่า  $20\text{mH}$

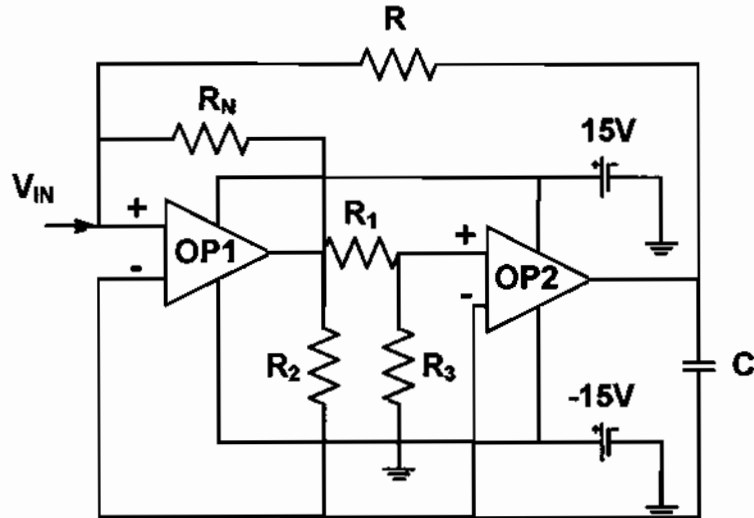
ความต้านทาน	อ้อปแอมป์
$R_1 = R_2 = 220\Omega$	LM741
$R_3 = 2.2\text{k}\Omega$	
$R_4 = R_5 = 22\text{k}\Omega$	
$R_6 = 3.3\text{k}\Omega$	
$C_1=10\text{nF}$	
$C_2=100\text{nF}$	
$L=20\text{mH}$	



รูปที่ 4.3 เป็นรูปวงจรจั่วที่ประกอบด้วยตัวต้านทานไม่เชิงเส้นและตัวเหนี่ยวนำขนาด  $20\text{mH}$

จากการจำลองพบว่ารูปสัญญาณโกลาหลที่เกิดจากการจั่วที่ประกอบด้วยตัวต้านทานไม่เชิงเส้นและตัวเหนี่ยวนำขนาด  $20\text{mH}$  มีรูปร่างเปลี่ยนไปเมื่อค่าตัวต้านทานที่อยู่ระหว่างตัวเก็บประจุทั้งสองของวงจรซึ่งมีการเปลี่ยนแปลง เมื่อตัวต้านทานมีค่าเท่ากับ  $145\text{k}\Omega$  สัญญาณโกลาหลในปริภูมิสเตตจะมีลักษณะคล้ายวงม้วนคู่ ส่วนสัญญาณโกลาหลในโดเมนเวลาโดยให้แกน X คือ เวลา แกน Y คือ แรงตันตกคร่อมตัวเก็บประจุทั้งสอง สัญญาณที่ได้จะมีลักษณะเป็นรายคาบคล้ายๆเกิดแบบช้าๆ แต่จะไม่ช้าอย่างเดิมดังแสดงในภาคผนวก ก รูปที่ ก.1 เมื่อค่าอย่างเพิ่มค่าตัวต้านทานเท่ากับ  $190\text{k}\Omega$  สัญญาณโกลาหลในปริภูมิสเตตมีลักษณะเป็นวงม้วนคู่ดังแสดงในภาคผนวก ก รูปที่ ก.2 เมื่อเพิ่มค่าตัวต้านทานเท่ากับ  $197\text{k}\Omega$  ลักษณะสัญญาณโกลาหลในปริภูมิสเตตจะเป็นแบบวงม้วนเดียวสามารถแสดงได้ในภาคผนวก ก รูปที่ ก.3

ในการออกแบบตัวเหนี่ยวน้ำเสมือนในโครงงานปัญหาพิเศษนี้ ผู้วิจัยเลือกใช้ช่วงจรตัวเหนี่ยวน้ำเสมือนที่นำเสนอโดย K. Gopakumar และคณะฯ (2011) มาใช้ในการศึกษา ซึ่งแสดงได้ดังรูปที่ 4.4



รูปที่ 4.4 วงจรตัวเหนี่ยวน้ำเสมือน (K. Gopakumar, 2011)

เพื่อให้ตัวเหนี่ยวน้ำเสมือนมีค่าเท่ากับ  $20\text{mH}$  จะต้องกำหนดให้ค่าของอุปกรณ์ภายนอกวงจรมีค่าดังตารางที่ 4.3

ตารางที่ 4.3 ค่าอุปกรณ์ที่ใช้ในทดสอบวงจรตัวเหนี่ยวน้ำเสมือนของ K. Gopakumar

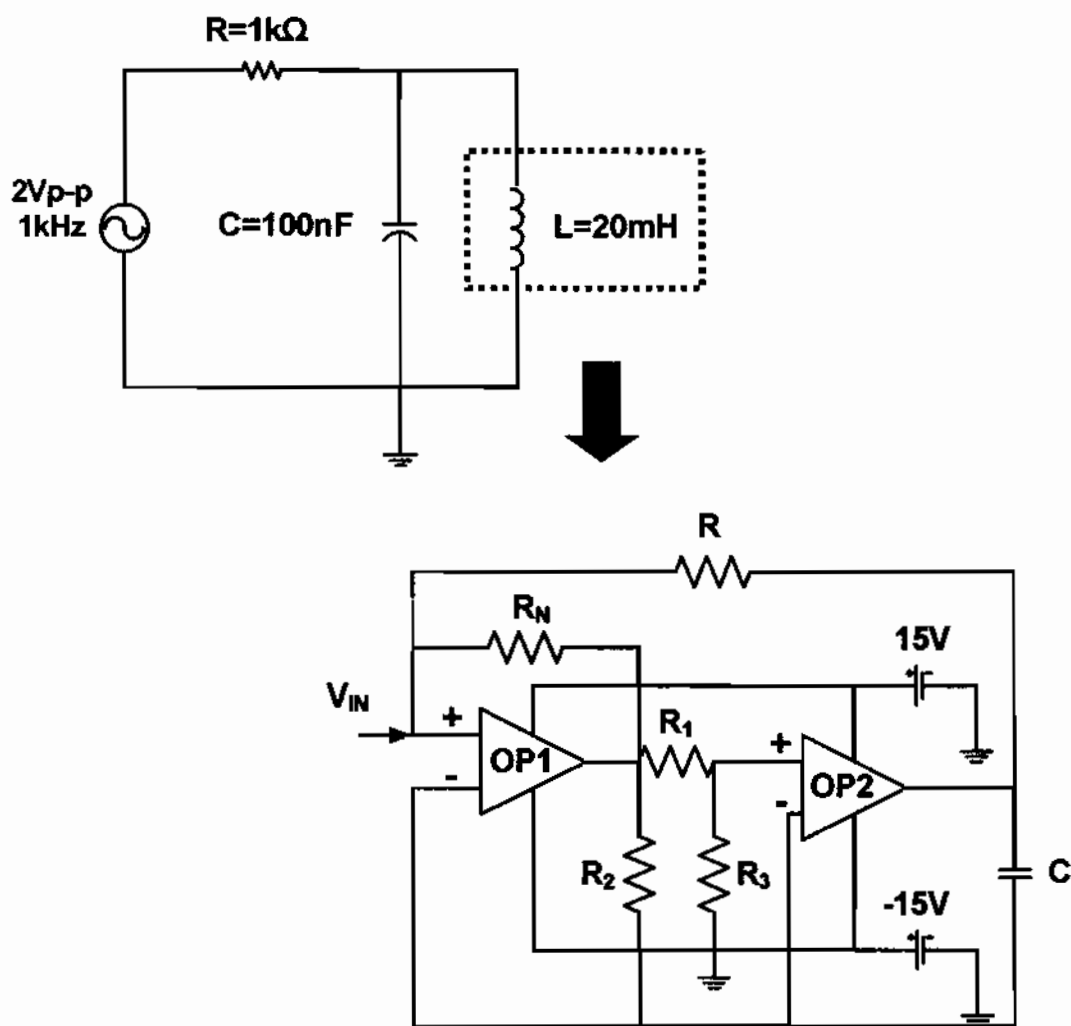
ความต้านทาน	อุปกรณ์
$R = 1\text{k}\Omega$	LM741
$R_N = 47\text{k}\Omega$	
$C = 20\text{nF}$	

เมื่อแทนค่าอุปกรณ์ลงในสมการที่ 2.23 จะได้ว่า  $L = R^2 C = 20\text{mH}$

เพื่อเป็นการทดสอบคุณสมบัติความเป็นตัวเหนี่ยวน้ำเสมือน จึงได้นำตัวเหนี่ยวน้ำเสมือนที่แสดงดังรูปที่ 4.4 มาทำการทดสอบกับวงจรกรองสัญญาณแบบความถี่ผ่าน โดยทำการจำลองผลเปรียบเทียบกับตัวเหนี่ยวน้ำจริงที่มีขนาด  $20\text{mH}$  นอกจากนี้ยังได้ทำการทดลองกับอุปกรณ์จริง

#### 4.2.2 ทดสอบการทำงานของวงจรตัวเหนี่ยวนำเสมือนในวงจรกรองสัญญาณแบบความถี่ผ่าน

วงจรตัวเหนี่ยวนำเสมือนที่ใช้ทดสอบกับวงจรกรองสัญญาณแบบความถี่ผ่าน แสดงได้ดังรูปที่ 4.5 ผลการทดสอบแสดงได้ดังรูปที่ 4.6 โดยในการทดสอบแสดงให้เห็นว่าความถี่ริซีเคนต์ ของวงจรกรองสัญญาณแบบความถี่ผ่าน ที่เกิดจากตัวเหนี่ยวนำเสมือนที่ได้จากการจำลองและทดลองจริงตลอดจนตัวเหนี่ยวนำจริง มีค่าใกล้เคียงกัน โดยความถี่ริซีเคนต์ที่เกิดจากตัวเหนี่ยวนำเสมือนทั้งที่ได้จากการจำลองและการทดลองจริงมีค่าเท่ากัน  $3.5\text{kHz}$  สำหรับความถี่ริซีเคนต์ที่ได้จากตัวเหนี่ยวนำจริงมีค่าเท่ากับ  $3.6\text{kHz}$



รูปที่ 4.5 วงจรตัวเหนี่ยวนำเสมือนในวงจรกรองสัญญาณแบบความถี่ผ่าน

จากรูปที่ 4.5 สามารถพิจารณาฟังก์ชันถ่ายโอนได้ดังต่อไปนี้

$$H(s) = \frac{s/RC}{s^2 + \frac{s}{RC} + 1/LC} \quad (4.1)$$

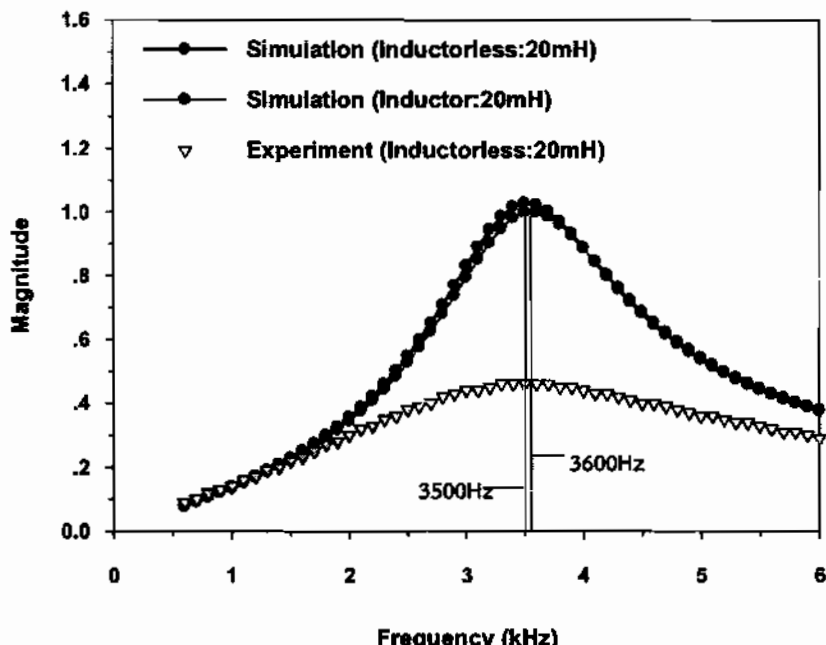
และสามารถพิจารณาความถี่สั่นพ้อง ( $\omega_0$ ) ได้จากสมการ

$$\omega_0 = \frac{1}{\sqrt{LC}} \quad (4.2)$$

เมื่อแทนพารามิเตอร์ที่ได้จากรูปที่ 4.5 จะได้ว่า

$$\omega_0 = 22,317 \text{ rad/s}$$

$$f = 3,562 \text{ Hz}$$



รูปที่ 4.6 ความสัมพันธ์ระหว่างแรงดันไฟฟ้ากับความถี่ริโซแนนซ์ของวงจรตัวเหนี่ยวนำเมื่อมี

จากรูปที่ 4.6 แสดงให้เห็นว่าความถี่ริโซแนนซ์เกิดขึ้นที่ความถี่ 3.5kHz กับ 3.6kHz ซึ่งค่าความถี่ริโซแนนซ์ที่ได้นี้ สามารถนำไปคำนวณย้อนกลับเพื่อหาค่าตัวเหนี่ยวนำโดยประมาณได้จากสมการที่ 4.3

$$L = \frac{1}{\omega^2 C} \quad (4.3)$$

1. ผลการจำลองตัวเหนี่ยวนำเสมือนที่ความถี่ริโซแนนซ์เท่ากับ 3.5kHz; L=20.7mH

2. ผลการจำลองตัวเหนี่ยวนำจริงที่ความถี่ริโซแนนซ์เท่ากับ 3.6kHz; L=19.6mH

3. ผลการทดลองตัวเหนี่ยวนำเสมือนที่ความถี่ริโซแนนซ์เท่ากับ 3.5kHz; L=20.7mH

เมื่อพิจารณาค่าคลาดเคลื่อนของผลการจำลองและผลการทดลองตัวเหนี่ยวนำเสมือนของความถี่ริโซแนนซ์เทียบกับผลการคำนวณทางทฤษฎีพบว่า

1. ผลการจำลองตัวเหนี่ยวนำเสมือนมีความคลาดเคลื่อนเท่ากับ 1.74%

2. ผลการทดลองตัวเหนี่ยวนำเสมือนมีความคลาดเคลื่อนเท่ากับ 1.74%

3. ผลการจำลองตัวเหนี่ยวนำจริงมีความคลาดเคลื่อนเท่ากับ 1.06%

#### 4.2.3 ทดสอบการทำงานวงจรตัวเหนี่ยวนำเสมือนในวงจรชั่วที่ใช้ตัวเหนี่ยวนำเสมือนที่นำเสนอด้วย

K. Gopakumar ที่ขนาด 20mH

##### ผลการจำลอง

ขณะที่ตัวต้านทานที่อยู่ระหว่างตัวเก็บประจุหั้งสองตัวเท่ากับ 1.7kΩ สัญญาณโกลาหลในปริภูมิสเต็จจะมีลักษณะเป็นวงม้วนคู่ และสัญญาณโกลาหลในโดเมนเวลาที่แรงดันตกคร่อมตัวเก็บประจุหั้งสองตัวจะมีลักษณะเป็นรายคาบสามารถแสดงได้ในภาคผนวก ก รูปที่ ก.4-ก.9 แต่เมื่อตัวต้านทานเพิ่มขึ้นจาก 1.95kΩ-2.06kΩ ลักษณะสัญญาณโกลาหลในปริภูมิสเต็จจะมีลักษณะเป็นวงม้วนเดียวดังแสดงในภาคผนวก ก รูปที่ ก.10-ก.12

##### ผลการทดลองจริง

เมื่อทำการปรับค่าตัวต้านทานที่อยู่ระหว่างตัวเก็บประจุหั้งสองตัว สัญญาณโกลาหลในปริภูมิสเต็จจะมีลักษณะเป็นจุดเมื่อตัวต้านทานมีค่าเท่ากับ 446Ω ดังแสดงในภาคผนวก ก รูปที่ ก.13 แต่เมื่อตัวต้านทานมีค่าเพิ่มขึ้นเท่ากับ 4.26kΩ สัญญาณโกลาหลในปริภูมิสเต็จจะมีลักษณะคล้ายวงรีสามารถแสดงในภาคผนวก ก รูปที่ ก.14 จากการจำลองวงจรตัวเหนี่ยวนำเสมือนที่นำเสนอด้วย

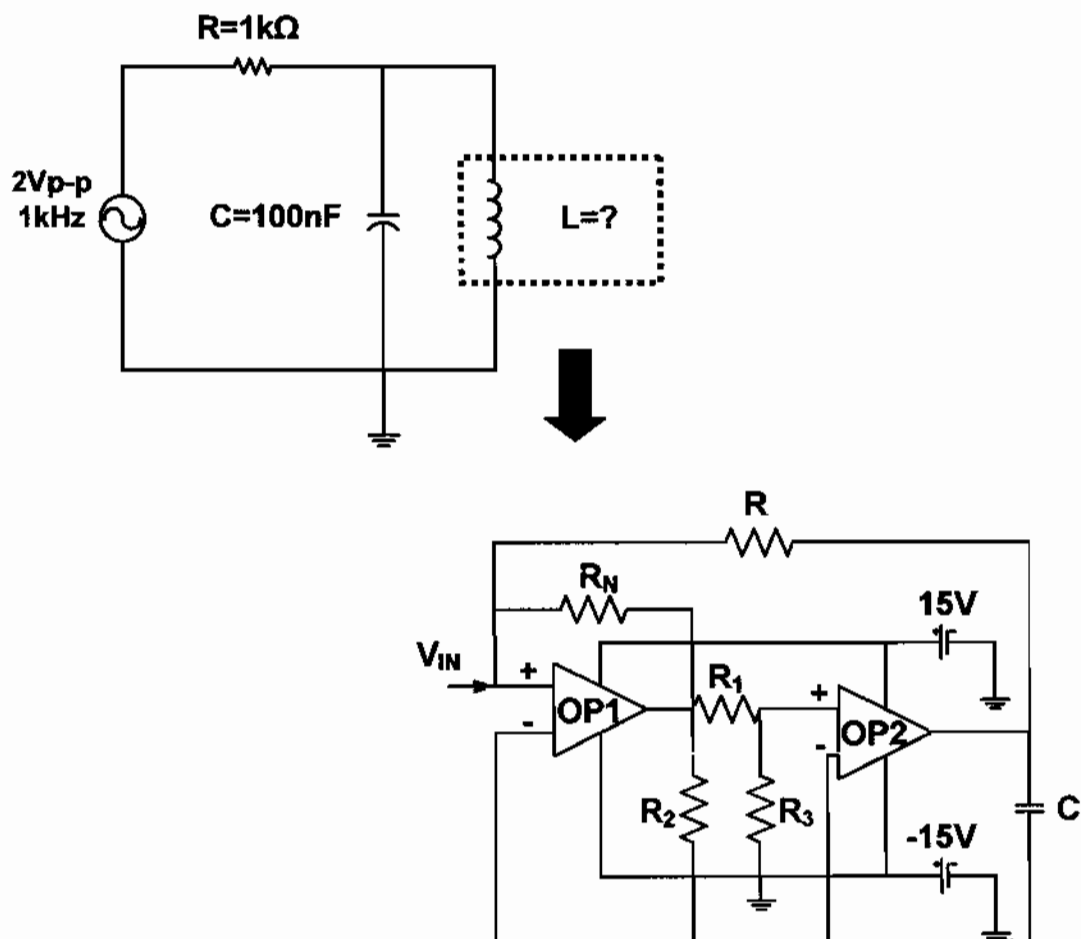
K. Gopakumar พบร่วมสัญญาณโกลาหลสามารถเกิดขึ้นได้ ห้างที่เป็นสัญญาณโกลาหลแบบวงม้วนเดียวและคู่ เมื่อทำการทดลองจริงกับไม่เกิดสัญญาณโกลาหลแบบวงม้วนเดียวและคู่ได้ แม้จะปรับค่าตัวต้านทานที่อยู่ระหว่างตัวเก็บประจุสองตัวไปที่ค่าใดก็ตาม จากผลการทดลองจริงดังกล่าวข้างต้นผู้วิจัยจึงได้ทำการปรับค่าตัวต้านทานภายในวงจรตัวเหนี่ยวนำของ K. Gopakumar เพื่อตรวจสอบ



สัญญาณโกลาหล พบร่วมเมื่อทำการปรับค่าตัวต้านทานภายในวงจร สามารถสร้างสัญญาณโกลาหลขึ้นได้หากแต่ว่าผู้วิจัยไม่สามารถทำการคำนวณตัวเหนี่ยวนำเสมือนที่เกิดขึ้นกับวงจรด้วยสมการที่ 2.23 ได้ เพราะค่าตัวต้านทานภายในวงจรไม่เป็นไปตามเงื่อนไขของ K. Gopakumar ด้วยเหตุนี้ผู้วิจัยจึงได้ทำการทดสอบวงจรตัวเหนี่ยวนำเสมือนที่ได้ทำการปรับขึ้นมาใหม่นี้ เพื่อหาค่าความเหนี่ยวนำเสมือนที่เกิดขึ้น โดยอาศัยวงจรกรองสัญญาณแบบความถี่ผ่าน สั่นรับการหาตำแหน่งความถี่โดยแนนต์เพื่อใช้ในการคำนวณย้อนกลับไปหาค่าตัวเหนี่ยวนำ ซึ่งรายละเอียดจะแสดงในหัวข้อต่อไป

#### 4.2.4 ทดสอบการทำงานวงจรตัวเหนี่ยวนำเสมือนในวงจรชั่วที่ใช้ตัวเหนี่ยวนำเสมือนของ K. Gopakumar ที่ปรับเปลี่ยนค่าตัวต้านทานภายใน

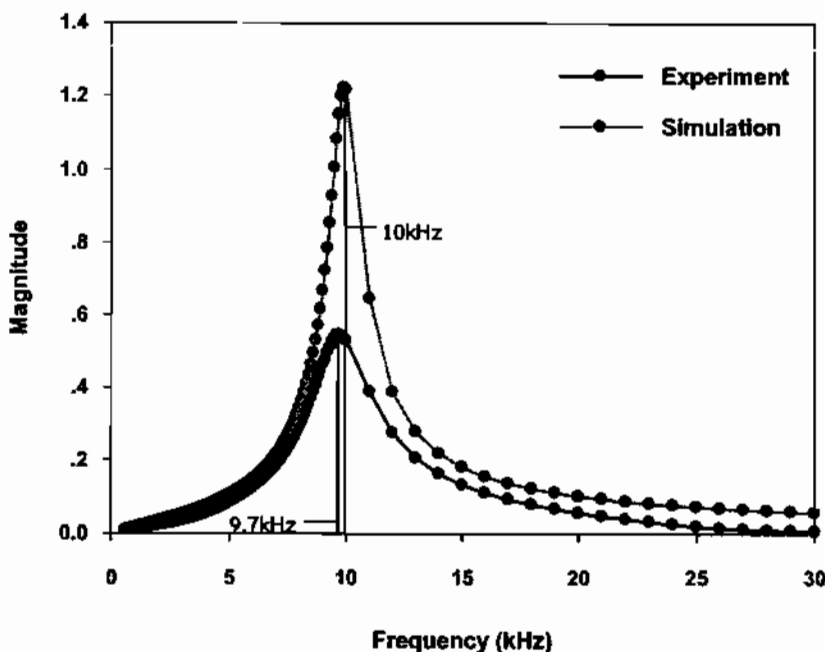
วงจรกรองสัญญาณแบบความถี่ผ่าน ที่ใช้ในการทดสอบแสดงได้ดังในรูปที่ 4.7 จากรูปจะเห็น  
พบร่วมเรียงไม่ทราบว่าค่าตัวเหนี่ยวนำที่ได้จากการทดลองมีค่าเป็นเท่าใด ดังนั้นเพื่อเป็นการทดสอบหา  
ค่าความเหนี่ยวนำ จึงกำหนดค่าอุปกรณ์ต่างๆในวงจรดังตารางที่ 4.4



รูปที่ 4.7 วงจรตัวเหนี่ยวนำเสมือนในวงจรกรองสัญญาณแบบความถี่ผ่าน

ตารางที่ 4.4 อุปกรณ์ที่ใช้ทดสอบวงจรตัวเหนียาน้ำเสมือนในวงจรกรองสัญญาณแบบความถี่ผ่าน

ความต้านทาน	อุปกรณ์
$R = 150\Omega$	LM741
$R_1 = 3k\Omega$	
$R_2 = 4.44k\Omega$	
$R_3 = 4.68k\Omega$	
$R_N = 7.2k\Omega$	
$C \approx 20nF$	



รูปที่ 4.8 ความสัมพันธ์ระหว่างแรงดันไฟฟ้ากับความถี่ริซิแนนซ์ของวงจรตัวเหนียาน้ำเสมือน

จากรูปที่ 4.8 แสดงให้เห็นว่าผลการจำลองวงจรตัวเหนียาน้ำเสมือนมีความถี่ริซิแนนซ์เกิดขึ้นที่ความถี่  $10\text{kHz}$  และผลการทดลองตัวเหนียาน้ำเสมือนริซิแนนซ์เกิดขึ้นที่ความถี่  $9.7\text{kHz}$  ซึ่งสามารถนำไปคำนวณย้อนกลับเพื่อหาค่าตัวเหนียาน้ำโดยประมาณได้จากสมการที่ 4.3

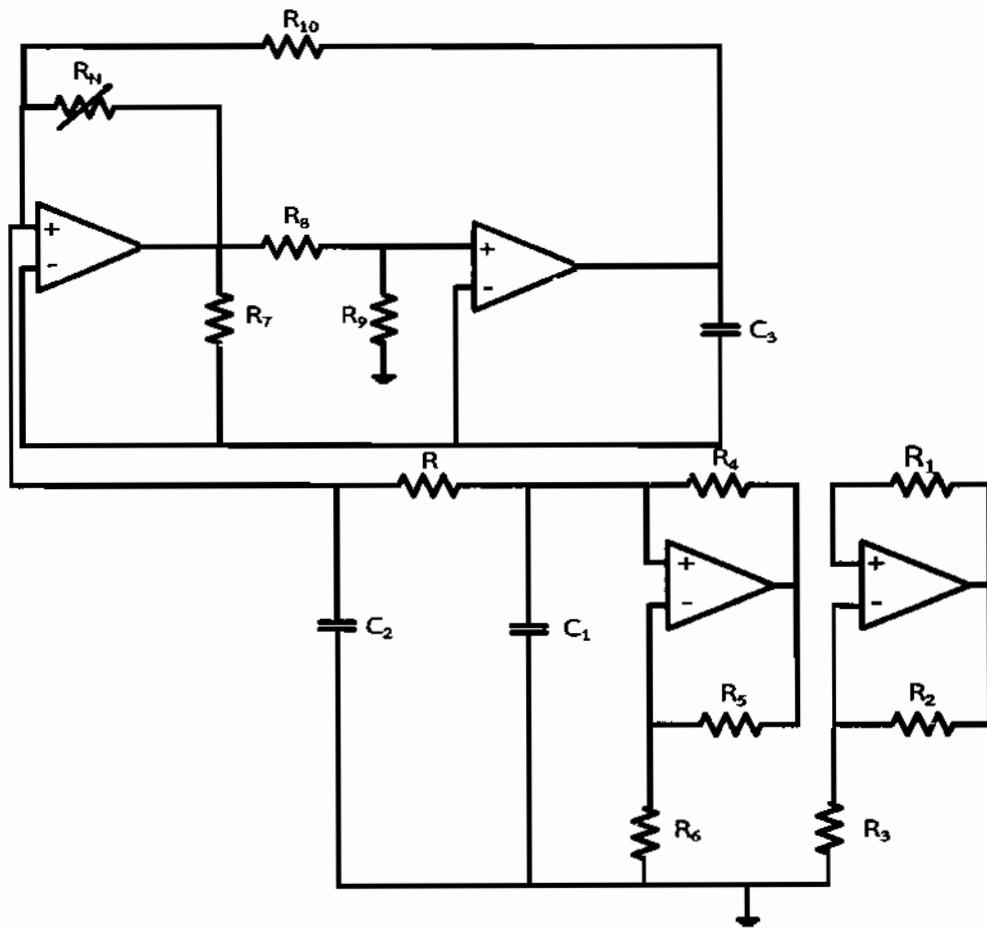
ผลการคำนวณค่าตัวเหนี่ยวนำที่ได้จากการจำลองและทดลองจริง

1. ผลการจำลองเกิดความถี่รีซิแนนท์ที่  $10\text{kHz}$ ;  $L = 25.4\text{mH}$
2. ผลการทดลองจริงเกิดความถี่รีซิแนนท์ที่  $9.7\text{kHz}$ ;  $L = 26.9\text{mH}$

#### 4.3 วงจรอั้วที่ประกอบจากตัวเหนี่ยวนำเสมีອนและตัวต้านทานไม่เชิงเส้นที่นำเสอนอ

การทดสอบวงจรนี้ที่ประกอบจากตัวเหนี่ยวนำเสมีອนและตัวต้านทานไม่เชิงเส้นที่นำเสอนอ

วงจรอั้วที่ประกอบจากตัวเหนี่ยวนำเสมีອนและตัวต้านทานไม่เชิงเส้นของโครงการนี้ ปัญหาพิเศษนี้แสดงได้ดังรูปที่ 4.8 ได้กำหนดให้อุปกรณ์ภายในวงจร มีค่าตั้งแสดงในตารางที่ 4.5 ใน การศึกษาครั้งนี้จะแบ่งการทดสอบออกเป็น 2 ส่วน คือ การทดสอบโดยการจำลองและการทดสอบจาก การทดลองจริง



รูปที่ 4.9 วงจรอั้วที่ประกอบจากตัวเหนี่ยวนำเสมีອนและตัวต้านทานไม่เชิงเส้น

ตารางที่ 4.5 อุปกรณ์ที่ใช้ทดสอบวงจรชั้วที่ประกอบจากตัวเหนี่ยวนำสมีอ่อนและตัวต้านทานไม่เชิงเส้น

ความต้านทาน	อوبแอมป์
$R_1 = R_2 = 220\Omega$	LM741
$R_3 = 2.2k\Omega$	
$R_4 = R_5 = 22k\Omega$	
$R_6 = 3.3k\Omega$	
$R_7 = 4.44k\Omega$	
$R_8 = 3k\Omega$	
$R_9 = 4.68k\Omega$	
$R_{10} = 150\Omega$	
$R_N = 7.2k\Omega$	
$C_1 = 10nF$	
$C_2 = 100nF$	
$C_3 = 20nF$	

รูปที่ 4.9 เป็นรูปวงจรชั้วที่ประกอบจากตัวเหนี่ยวนำสมีอ่อนและตัวต้านทานไม่เชิงเส้นขนาด  $26.9mH$  โดยในการทดสอบวงจรต้องอัดประจุให้ตัวเก็บประจุ เพื่อเป็นการกำหนดค่าแรงดันไฟฟ้าเริ่มต้นให้กับวงจรอย่างถูกต้อง ในการทดสอบวงจรนี้ได้กำหนดให้แรงดันเริ่มต้นที่ตัวเก็บประจุแต่ละตัวเป็น 1 โวลต์ ผลการจำลองเมื่อตัวต้านทานมีค่าตั้งแต่  $1.7k\Omega-1.95k\Omega$  สัญญาณโกลาหลในปริภูมิสเตตจะมีลักษณะเป็นวงม้วนคู่ ส่วนสัญญาณโกลาหลในโดยเมนเวลาจะมีลักษณะเป็นรายคาบตั้งแสดงในภาคผนวก ก รูปที่ ก.15-ก.21 ส่วนสัญญาณโกลาหลในปริภูมิที่มีลักษณะเป็นวงม้วนเดียวจะเกิดขึ้นในช่วงของค่าความต้านทานตั้งแต่  $2k\Omega-2.06k\Omega$  ตั้งแสดงในภาคผนวก ก รูปที่ ก.22-ก.23 ขณะที่ผลการทดสอบจะริงสัญญาณโกลาหลในปริภูมิสเตตแบบบ่วงม้วนคู่สามารถถูกเกิดได้ในช่วงค่าความต้านทานมีค่าตั้งแต่  $1.7k\Omega-1.82k\Omega$  และแสดงได้ในภาคผนวก ก รูปที่ ก.15-ก.18 ส่วนสัญญาณโกลาหลในปริภูมิสเตตแบบบ่วงม้วนเดียวสามารถถูกเกิดได้ในช่วงค่าต้านทานมีตั้งแต่  $1.86k\Omega-1.88k\Omega$  ตั้งแสดงในภาคผนวก ก รูปที่ ก.19-ก.20 ส่วนสัญญาณโกลาหลในปริภูมิสเตตที่มีลักษณะคล้ายวงรีจะเกิดในช่วงค่าความต้านทานมีค่าเท่ากับ  $1.95k\Omega-2k\Omega$  ตั้งแสดงในภาคผนวก ก รูปที่ ก.21-ก.22 แต่เมื่อค่าความต้านทานมีค่าเท่ากับ  $2.06k\Omega$  สัญญาณโกลาหลในปริภูมิสเตตจะมีลักษณะเป็นจุดตั้งแสดงในภาคผนวก ก รูปที่ ก.23 ซึ่งจาก

ผลการจำลองและผลการทดลองจริงจะพบว่าเมื่อตัวต้านทานที่อยู่ระหว่างตัวเก็บประจุหั้งสองตัวมีค่าเพิ่มขึ้นสัญญาณโกลาหลในปริภูมิสเต็ตจะมีการเปลี่ยนแปลงจากลักษณะเป็นวงม้วนคูไปเป็นวงม้วนเดียว และจะเปลี่ยนไปเป็นลักษณะแบบชุดในที่สุด จากผลการจำลองและผลการทดลองจริงพบว่า สัญญาณโกลาหลจะมีลักษณะคล้ายกัน แต่จะมีความแตกต่างกันเพียงเล็กน้อย

ในการทดสอบวงจรนี้ ขั้นตอนการทดสอบค่อนข้างที่ละเอียด เนื่องจากต้องอาศัยการอัดประจุให้กับตัวเก็บประจุซึ่งอยู่ในส่วนของการกำหนดสัญญาณของวงจร การแสดงพฤติกรรมการม้วนโกลาหลนั้นตัวควบคุมหลักคือความต้านทานปรับค่าได้ที่อยู่ระหว่างตัวเก็บประจุหั้ง 2 ตัว ซึ่งเป็นตัวควบคุมให้เกิดการม้วนโกลาหลหั้งแบบเดียวและแบบคู่หั้งนี้ผลการทดลองจริงที่ได้มีเมื่อเปรียบเทียบกับผลการจำลอง จะเห็นว่ามีความใกล้เคียงกันแต่มีความแตกต่างกันบ้างเล็กน้อย ซึ่งอาจมีผลมาจากการอุปกรณ์ที่ใช้ในการทดสอบที่ไม่ต่อสัญญาณรบกวนจากภายนอก

## บทที่ 5

### สรุปผลการทดลองและข้อเสนอแนะ

#### 5.1 สรุปผลการทดลอง

ในปัจจุบันมีผู้เข้าใจเกี่ยวกับปรากฏการณ์โกลาหลอย่างแท้จริงน้อยมาก และที่เข้าใจก็มีจำนวนไม่น้อยที่เข้าใจแบบผิดๆ เพื่อให้เข้าใจง่ายยิ่งขึ้น ผู้วิจัยจึงได้ทำการศึกษาและพัฒนาชุดทดลอง วงจรชั่วสั่นหัวรับเรียนรู้ปรากฏการณ์โกลาหลขึ้นเพื่อใช้ประกอบในการทำความเข้าใจ ซึ่งในการพัฒนาครั้งนี้ผู้วิจัยได้ทำการออกแบบตัวต้านทานไม่เชิงเส้นและตัวเหนี่ยวนำสำหรับใช้ประกอบเป็นวงจรชั่วสั่น โดยการออกแบบตัวต้านทานไม่เชิงเส้นนั้นผู้วิจัยจะเลือกจะใช้โครงข่ายอปปอมเป้าสร้างเป็นตัวต้านทาน ไม่เชิงเส้น จากผลการจำลองและการทดลองจริงพบว่าງจรดังกล่าวสามารถแสดงคุณสมบัติความไม่เป็นเชิงเส้นได้โดยมีความชันเกิดขึ้นสองช่วงประกอบด้วยค่าความชันในช่วงแรก Ga เท่ากับ  $-0.97 \text{ mS}$  และมีค่าความชันในช่วงที่สอง Gb เท่ากับ  $-0.20 \text{ mS}$  ส่วนการออกแบบตัวเหนี่ยวนำเสมือนจะเลือกใช้วงจรตัวเหนี่ยวนำเสมือนของ K. Gopakumar มาทำการออกแบบ จากการทดลองจริงจะพบว่า เมื่อกำหนดค่าให้เป็นไปตามหลักการของ K. Gopakumar ระบบไม่สามารถสร้างสัญญาณโกลาหลแบบวงม้วนเดียวและวงม้วนคู่ได จะต้องทำการปรับเปลี่ยนค่าตัวต้านทานภายในวงจรใหม่ เล็กน้อยจึงจะสามารถสร้างสัญญาณโกลาหลขึ้นมาได ทั้งเป็นแบบวงม้วนเดียวและวงม้วนคู่ เมื่อนำงจรชั่วที่ประกอบมาจากตัวต้านทานไม่เชิงเส้นและตัวเหนี่ยวนำเสมือนที่ได้ทำการออกแบบมาสร้างเป็นชุดทดลองวงจรชั่วสั่นหัวรับเรียนรู้ปรากฏการณ์โกลาหลพบว่าชุดทดลองสามารถสร้างสัญญาณโกลาหลได เป็นอย่างดี

#### 5.2 ข้อเสนอแนะ

1. ใน การต่อตัวเหนี่ยวนำเสมือนเข้ากับวงจรจะต้องให้ตัวเหนี่ยวนำเสมือนเชื่อมต่อกับกราวด์ในวงจรเสมอ
2. ใน การทดสอบวงจรควรเลือกใช้อุปกรณ์ที่ให้ความละเอียดสูงและแม่นยำ เนื่องจากว่ามีความไวต่อสัญญาณภายนอก

## **บรรณานุกรม**



## บรรณานุกรม

1. ดร.สมเกียรติ ตั้งกิจวานิชย์. ( 2546,27พฤศจิกายน).ค้นเมื่อ19 มิถุนายน 2554,จาก <http://www.tdri.or.th/reports/unpublished/chaos-theory.pdf>
2. นายวชิรินทร์ จันทะเนตร. วจจกำเนิดการม้วนอลวนที่มีวงจรแก่กวัดแบบวินเบริดจ์ [วิทยานิพนธ์ปริญญาวิศวกรรมศาสตรมหาบัณฑิต]. นครราชสีมา: มหาวิทยาลัยเทคโนโลยีสุรนารี; 2553.
3. นายกฤษดา ด้วงโป. ทฤษฎีความม้วนอลวน[วิทยานิพนธ์ปริญญาวิศวกรรมศาสตรมหาบัณฑิต]. ปทุมธานี: มหาวิทยาลัยรังสิต; 2553.
4. K. Gopakumar, B. Premlet and K.G. Gopchandran. “Implementation of Chua's circuit using simulated inductance” Department of Electronics and Communication, TKM College of Engineering, Kollam, Kerala 691005, India, Available online: 13 Jun 2011.
5. KI Aihara and R. Katayama “Chaos Engineering in Japan”, Communications of the ACM, Vol 38 No 1, November 1995 ค้นเมื่อ19 มิถุนายน 2554
6. Huang Anshan. “A Study of the Chaotic Phenomena in Chua's Circuit”, Shanghai Institute of Mechanical Engineering; 1988 IEEE
7. Cuomo, K.M., Oppenheim, A.V., Strogatz, S.H.: Synchronization of Lorenz-based chaotic circuits with applications to communications. IEEE Trans. Circuits Syst. II 40, 626–633 (1993)
8. Kiers, K., Schmidt, D., Sprott, J.C.: Precision measurements of a simple chaotic circuit. Am. J. Phys. 72, 503–509 (2004)
9. Madan, R.N.: Chua's Circuit: A Paradigm for Chaos. World Scientific, Singapore (1993)
10. Zhong, G.O., Ayrom, F.: Experimental confirmation of chaos from Chua's circuit. Int. J. Circuit Theory Appl. 13, 93–98 (1985)

## ภาคผนวก

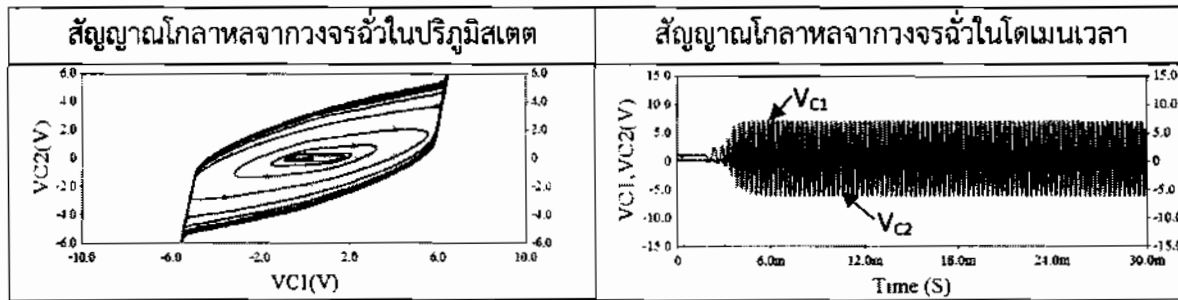


ภาคผนวก ก

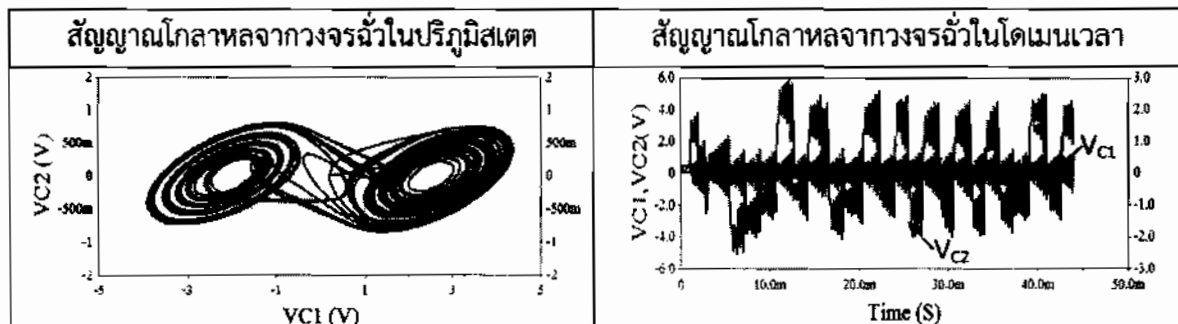
รูปประกอบการจำลองและการทดลองจริง



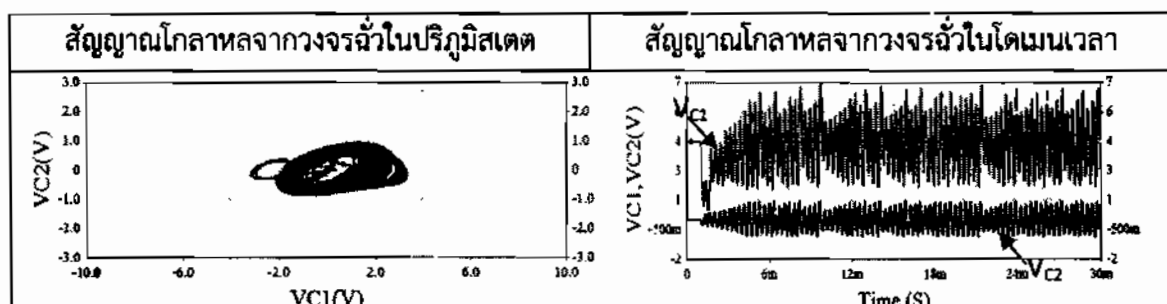
ผลการจำลองวงจรชั่วที่ประกอบด้วยตัวต้านทานไม่เชิงเส้นและตัวเหนี่ยวนำขนาด  $20\text{mH}$



รูปที่ ก.1 สัญญาณโกลาหลในปริภูมิสเตตและโดเมนเวลาที่กำหนดให้ตัวต้านทานมีค่าเท่ากับ  $145\text{k}\Omega$



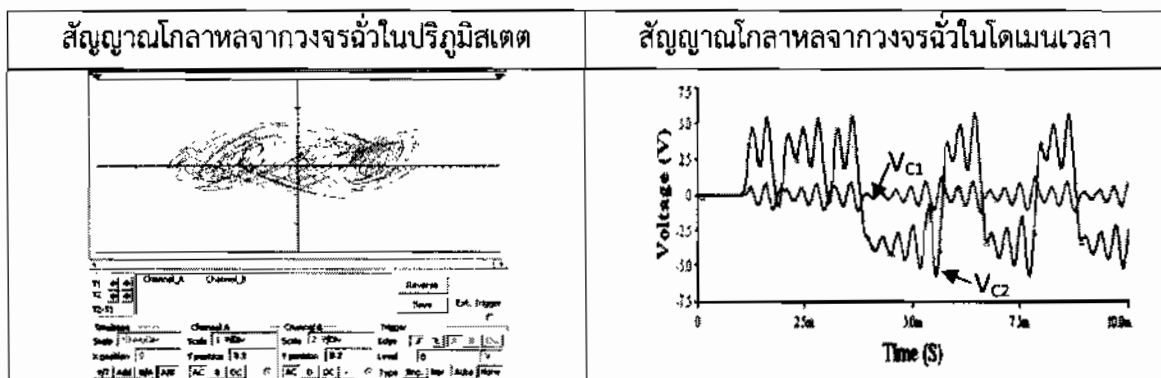
รูปที่ ก.2 สัญญาณโกลาหลในปริภูมิสเตตและโดเมนเวลาที่กำหนดให้ตัวต้านทานมีค่าเท่ากับ  $190\text{k}\Omega$



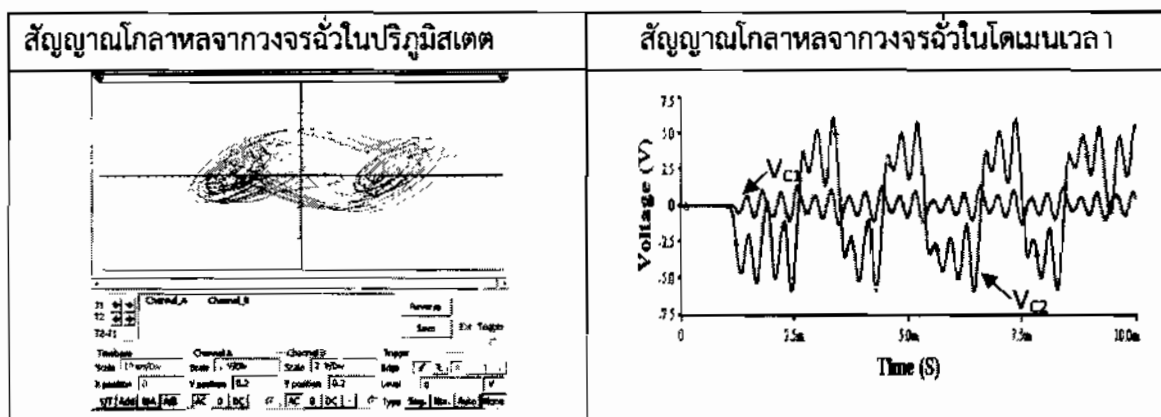
รูปที่ ก.3 สัญญาณโกลาหลในปริภูมิสเตตและโดเมนเวลาที่กำหนดให้ตัวต้านทานมีค่าเท่ากับ  $197\text{k}\Omega$

ทดสอบการทำงานของตัวเหนี่ยวนำสมิอันในวงจรซึ่งที่ใช้ตัวเหนี่ยวนำสมิอันที่นำเสนอด้วย K. Gopakumar ที่ขนาด  $20\text{mH}$

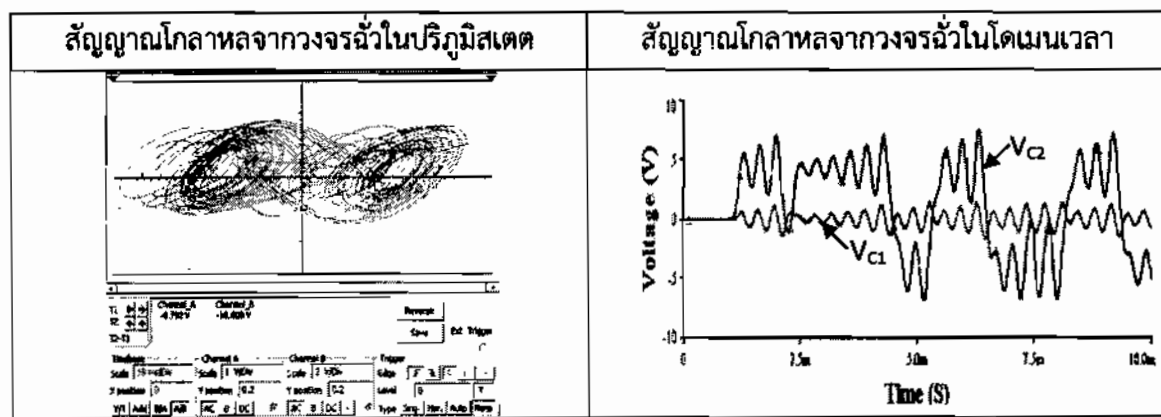
### ผลการจำลอง



รูปที่ ก.4 สัญญาณโกลาหลในปริภูมิสเตตและโดยเม้นเวลาที่กำหนดให้ตัวด้านหนามีค่าเท่ากับ  $1.7\text{k}\Omega$

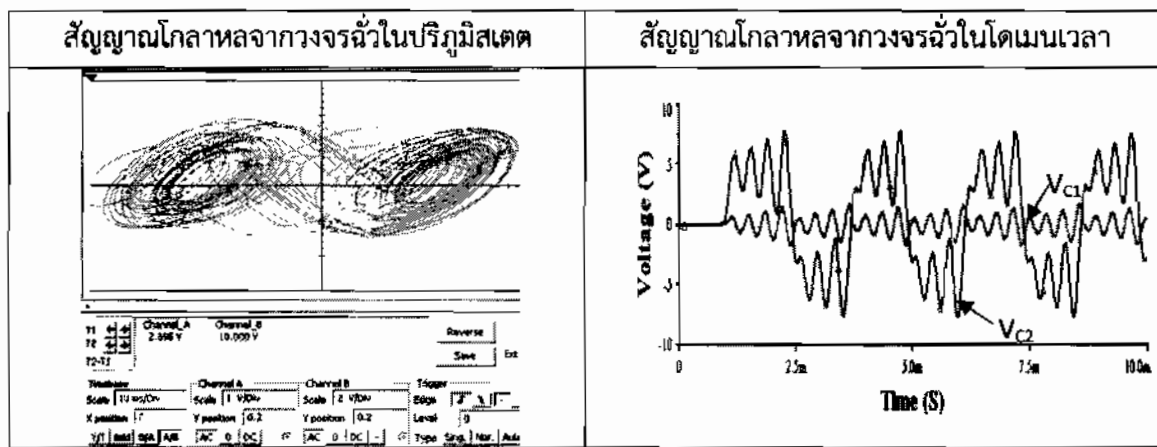


รูปที่ ก.5 สัญญาณโกลาหลในปริภูมิสเตตและโดยเม้นเวลาที่กำหนดให้ตัวด้านหนามีค่าเท่ากับ  $1.706\text{k}\Omega$

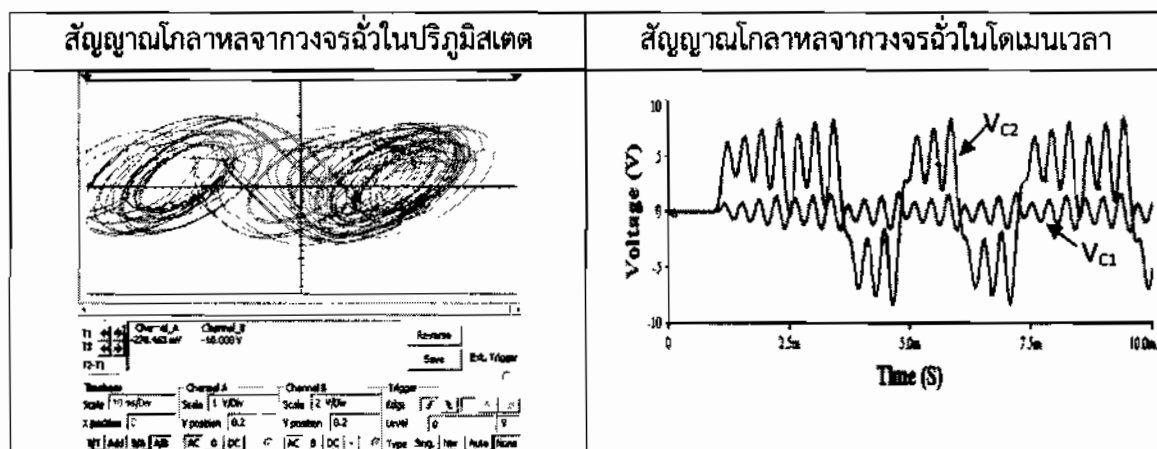


รูปที่ ก.6 สัญญาณโกลาหลในปริภูมิสเตตและโดยเม้นเวลาที่กำหนดให้ตัวด้านหนามีค่าเท่ากับ  $1.8\text{k}\Omega$

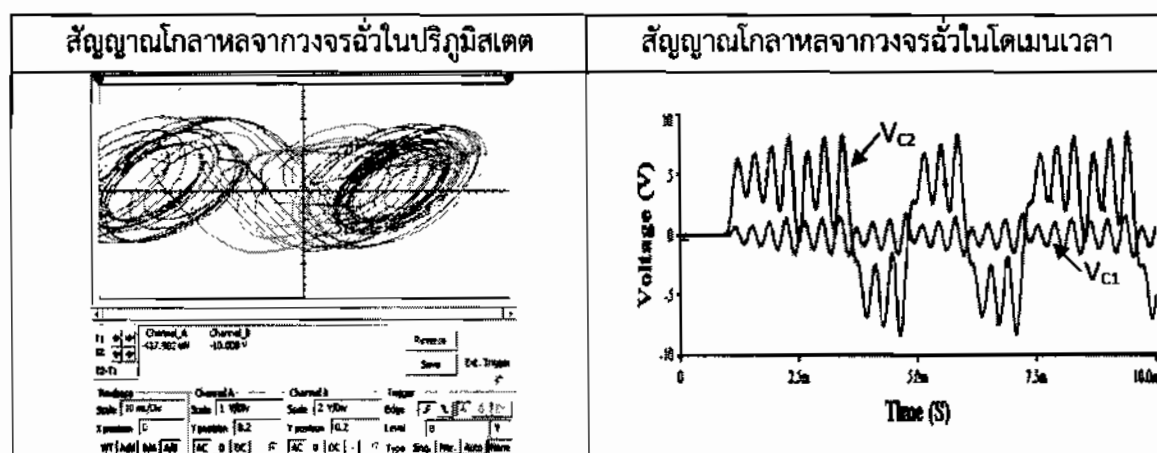




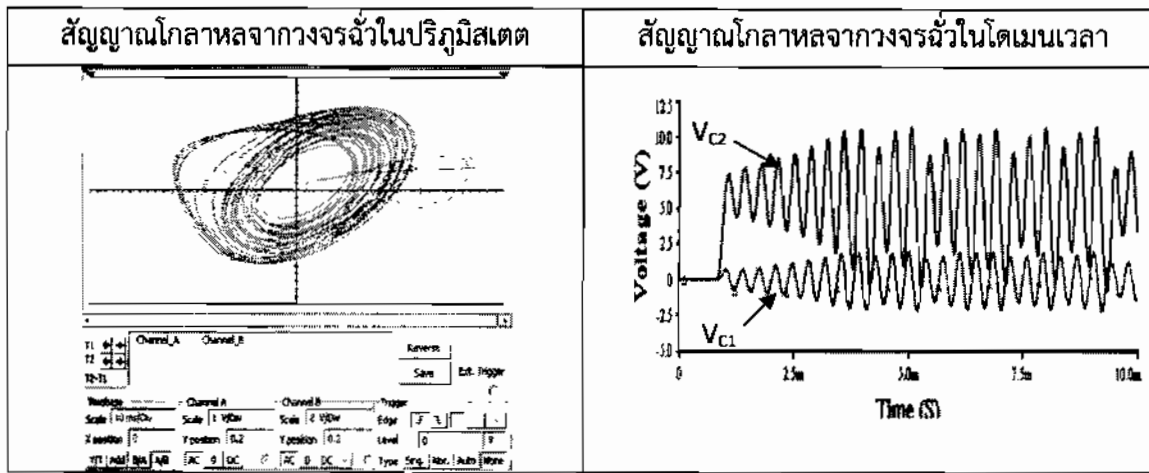
รูปที่ ก.7 สัญญาณโกลาหลในปริภูมิสเตตและโดยเมนเวลาที่กำหนดให้ตัวต้านทานมีค่าเท่ากับ  $1.82\text{k}\Omega$



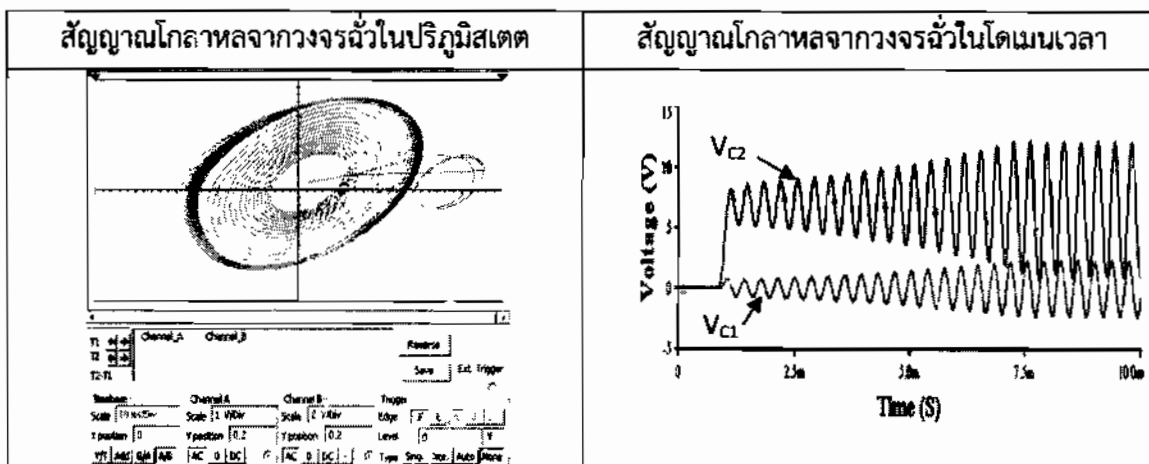
รูปที่ ก.8 สัญญาณโกลาหลในปริภูมิสเตตและโดยเมนเวลาที่กำหนดให้ตัวต้านทานมีค่าเท่ากับ  $1.86\text{k}\Omega$



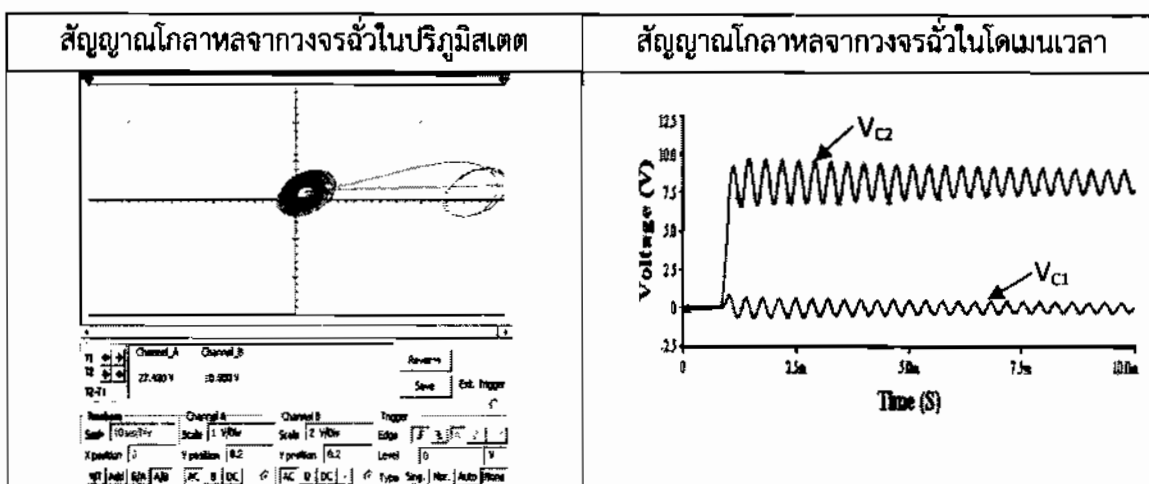
รูปที่ ก.9 สัญญาณโกลาหลในปริภูมิสเตตและโดยเมนเวลาที่กำหนดให้ตัวต้านทานมีค่าเท่ากับ  $1.88\text{k}\Omega$



รูปที่ ก.10 สัญญาณโกลาหลในปริภูมิสเตตและโถเมนเวลาที่กำหนดให้ตัวต้านทานมีค่าเท่ากับ  $1.95\text{k}\Omega$

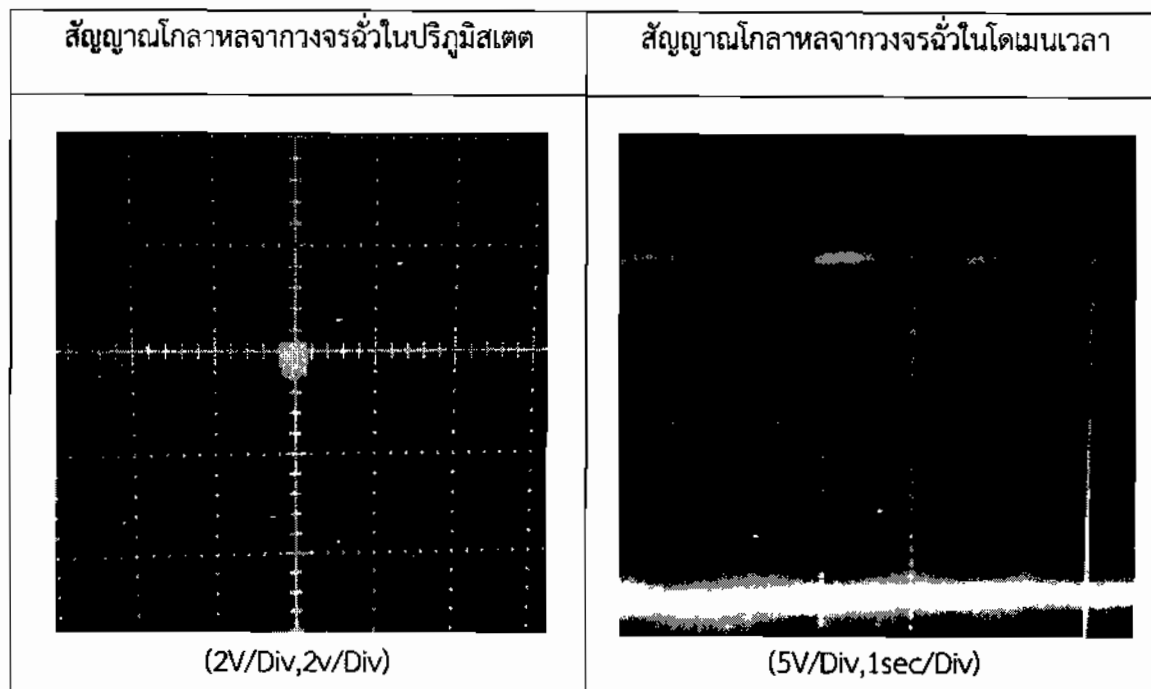


รูปที่ ก.11 สัญญาณโกลาหลในปริภูมิสเตตและโถเมนเวลาที่กำหนดให้ตัวต้านทานมีค่าเท่ากับ  $2\text{k}\Omega$

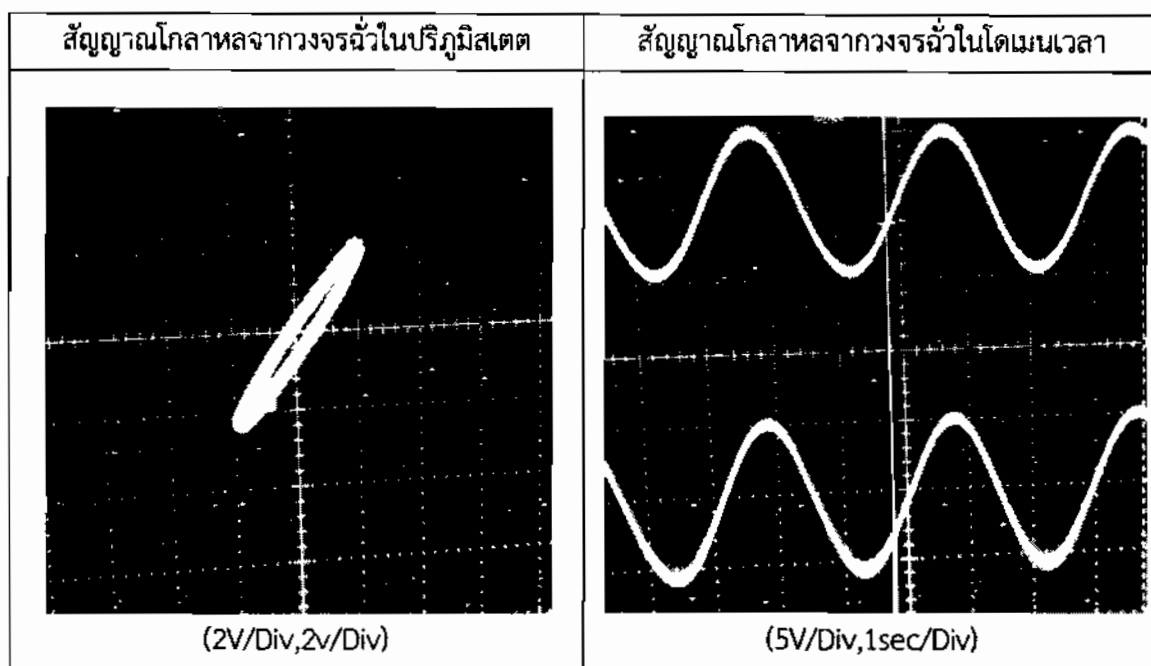


รูปที่ ก.12 สัญญาณโกลาหลในปริภูมิสเตตและโถเมนเวลาที่กำหนดให้ตัวต้านทานมีค่าเท่ากับ  $2.06\text{k}\Omega$

## ผลการทดลองจริง



รูปที่ ก.13 สัญญาณโกลาหลในปริภูมิสเตตและโอดเมนเวลาที่กำหนดให้ตัวต้านทานมีค่าเท่ากับ  $446\Omega$

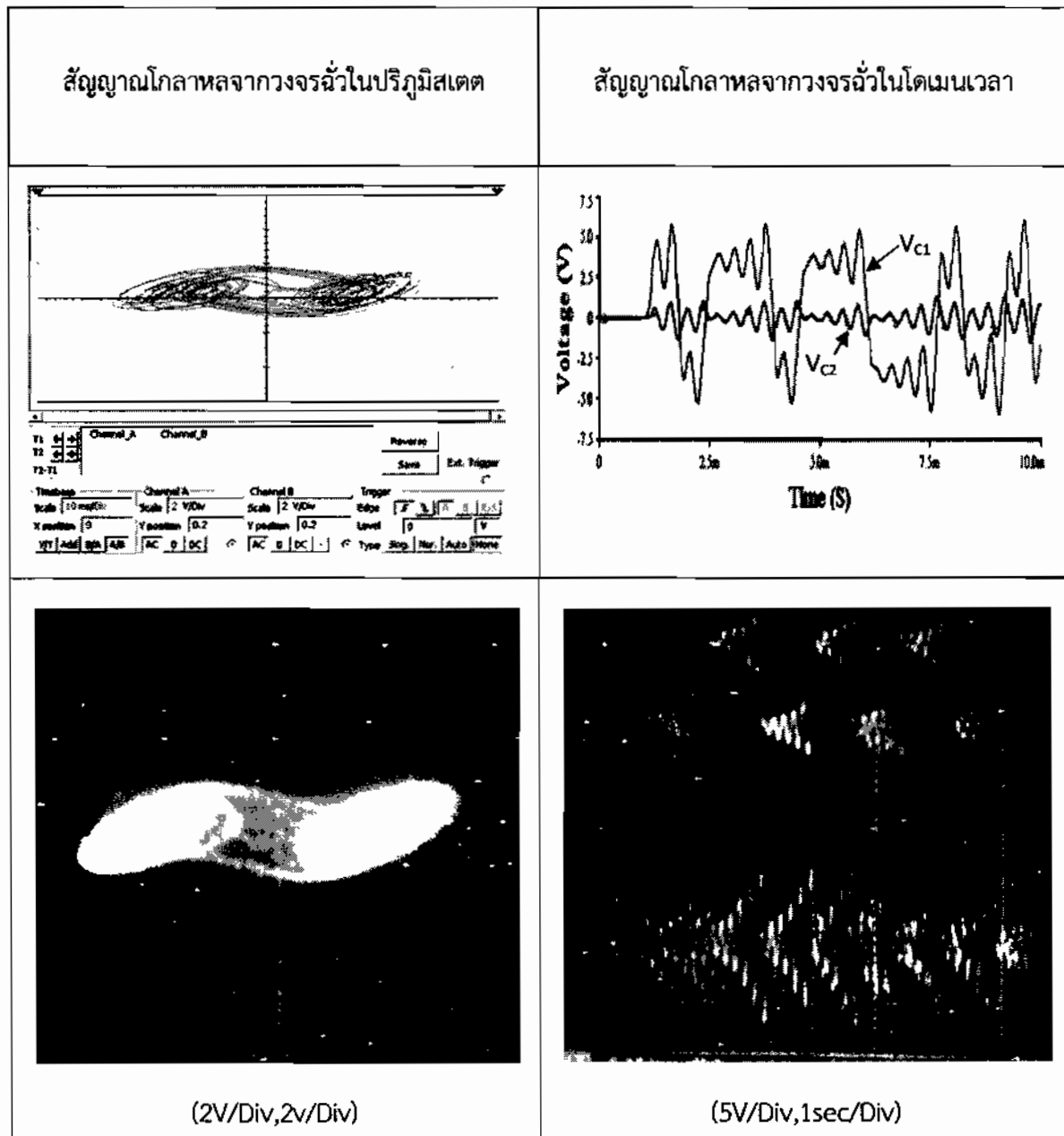


รูปที่ ก.14 สัญญาณโกลาหลในปริภูมิสเตตและโอดเมนเวลาที่กำหนดให้ตัวต้านทานมีค่าเท่ากับ  $4.26k\Omega$

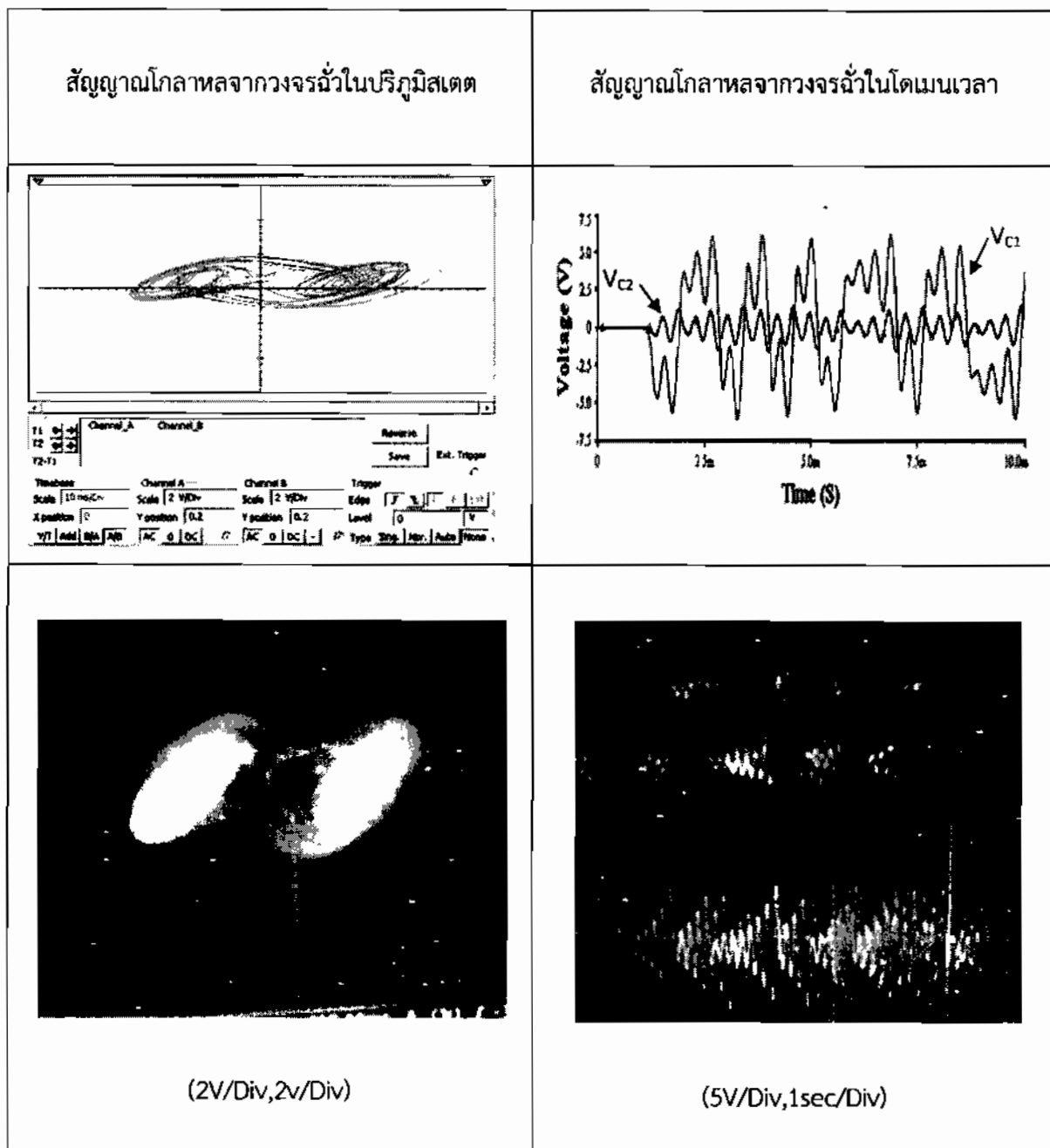


วงจรจั่วที่ประกอบจากตัวเหนี่ยวนำสมีอ่อนและตัวด้านหน้าไม่เชิงเส้นที่นำเสนอ

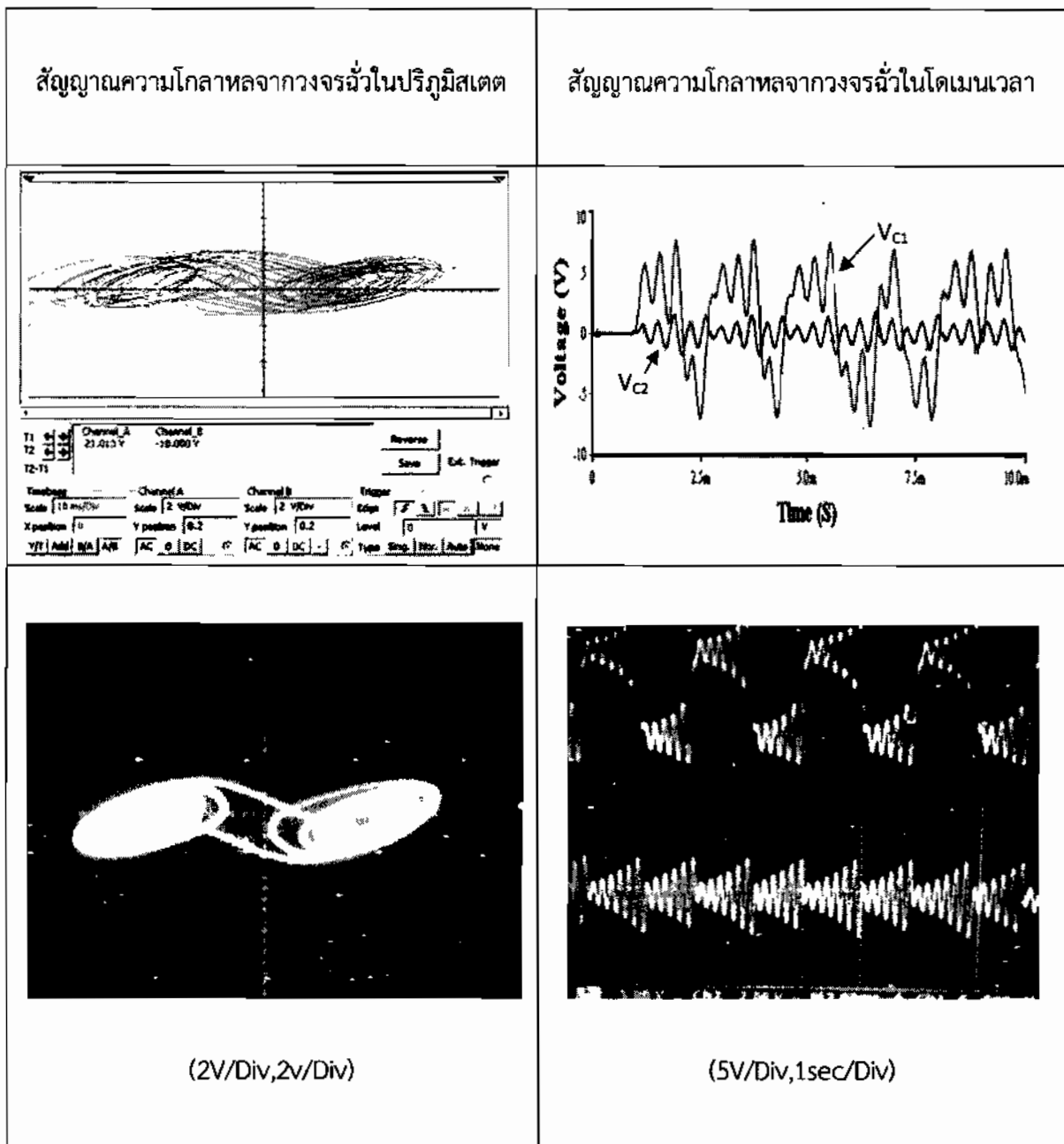
ผลการจำลองและทดลองจริง



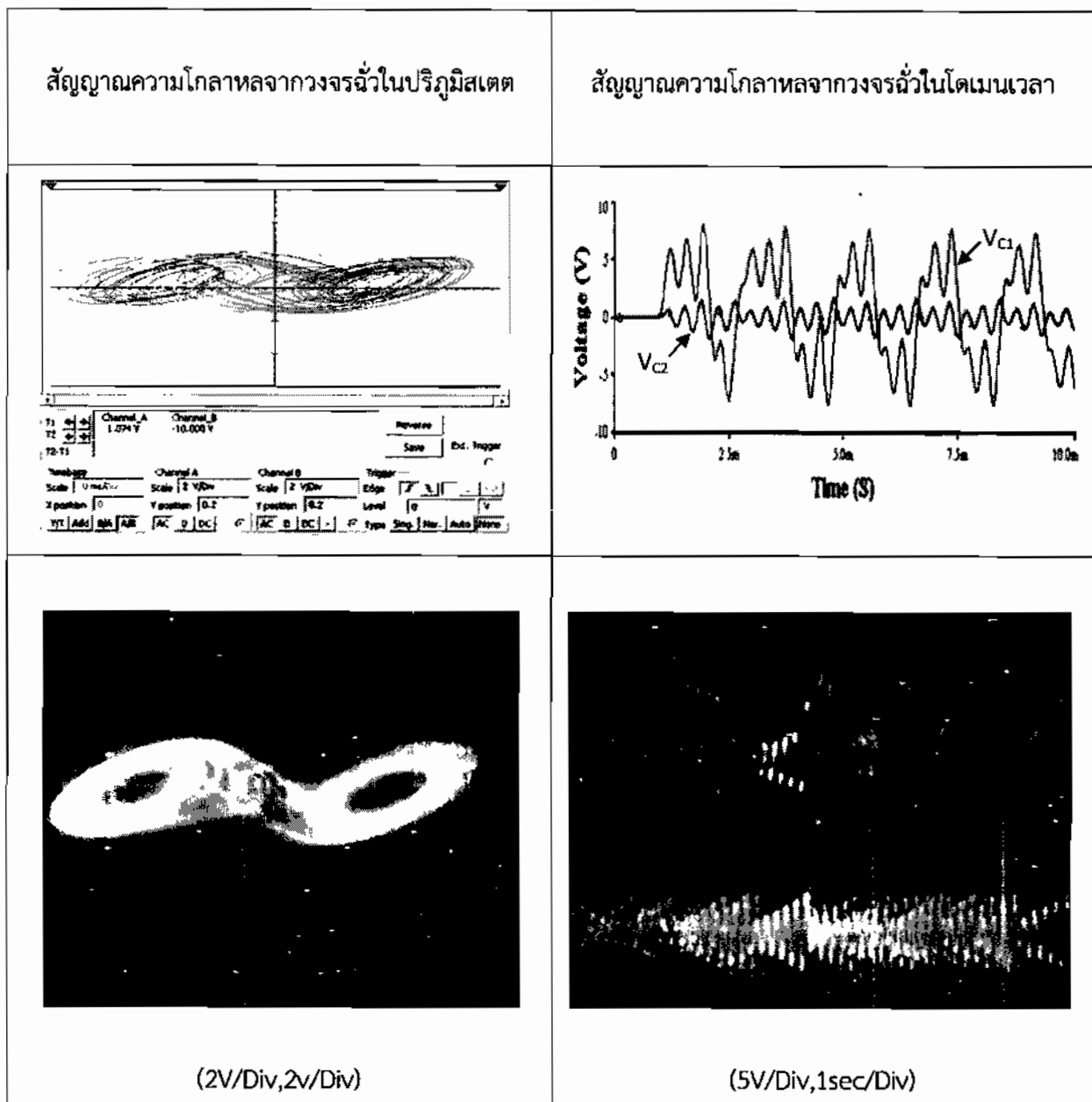
รูปที่ ก.15 สัญญาณโกลาหลในปริภูมิสเตตและโดเมนเวลาที่กำหนดให้ตัวด้านหน้ามีค่าเท่ากับ  $1.7\text{k}\Omega$



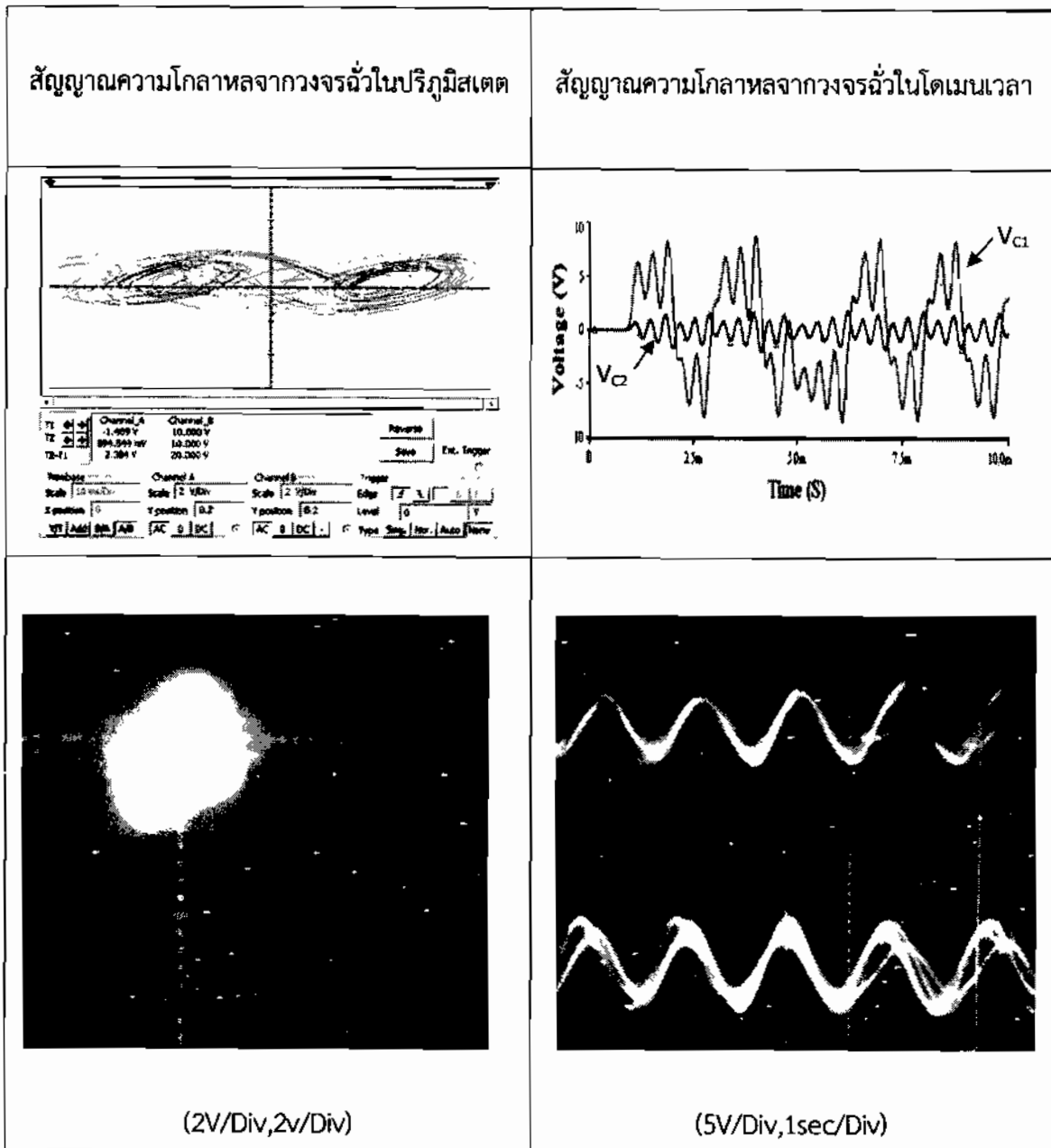
รูปที่ ก.16 สัญญาณโกลาหลในปริภูมิสเตตและโดเมนเวลาที่กำหนดให้ตัวด้านบนมีค่าเท่ากับ  $1.706\text{k}\Omega$



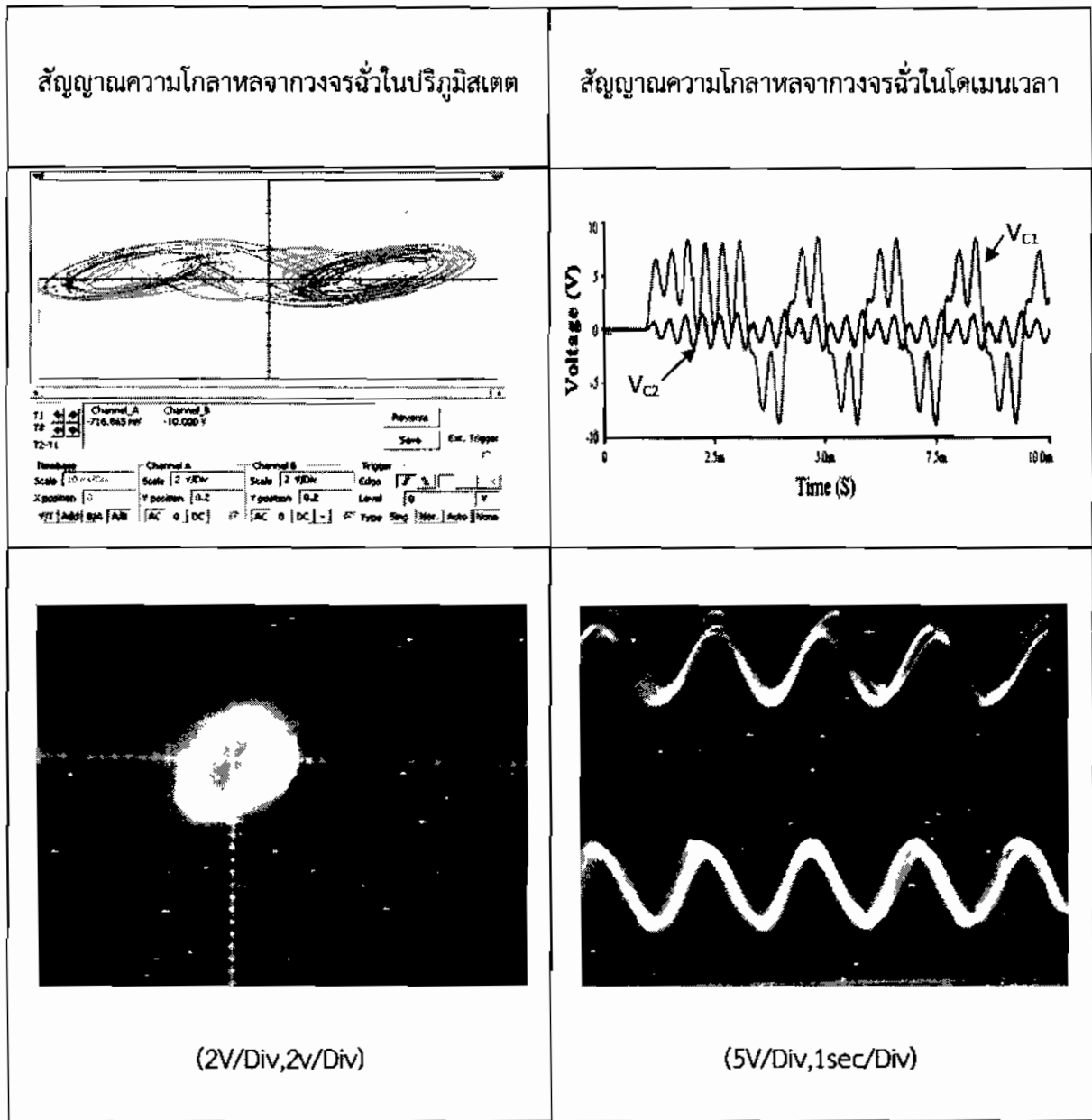
รูปที่ ก.17 สัญญาณโกลาหลในปริภูมิสเตตและโดยเมนเวลาที่กำหนดให้ตัวต้านทานมีค่าเท่ากับ  $1.8\text{k}\Omega$



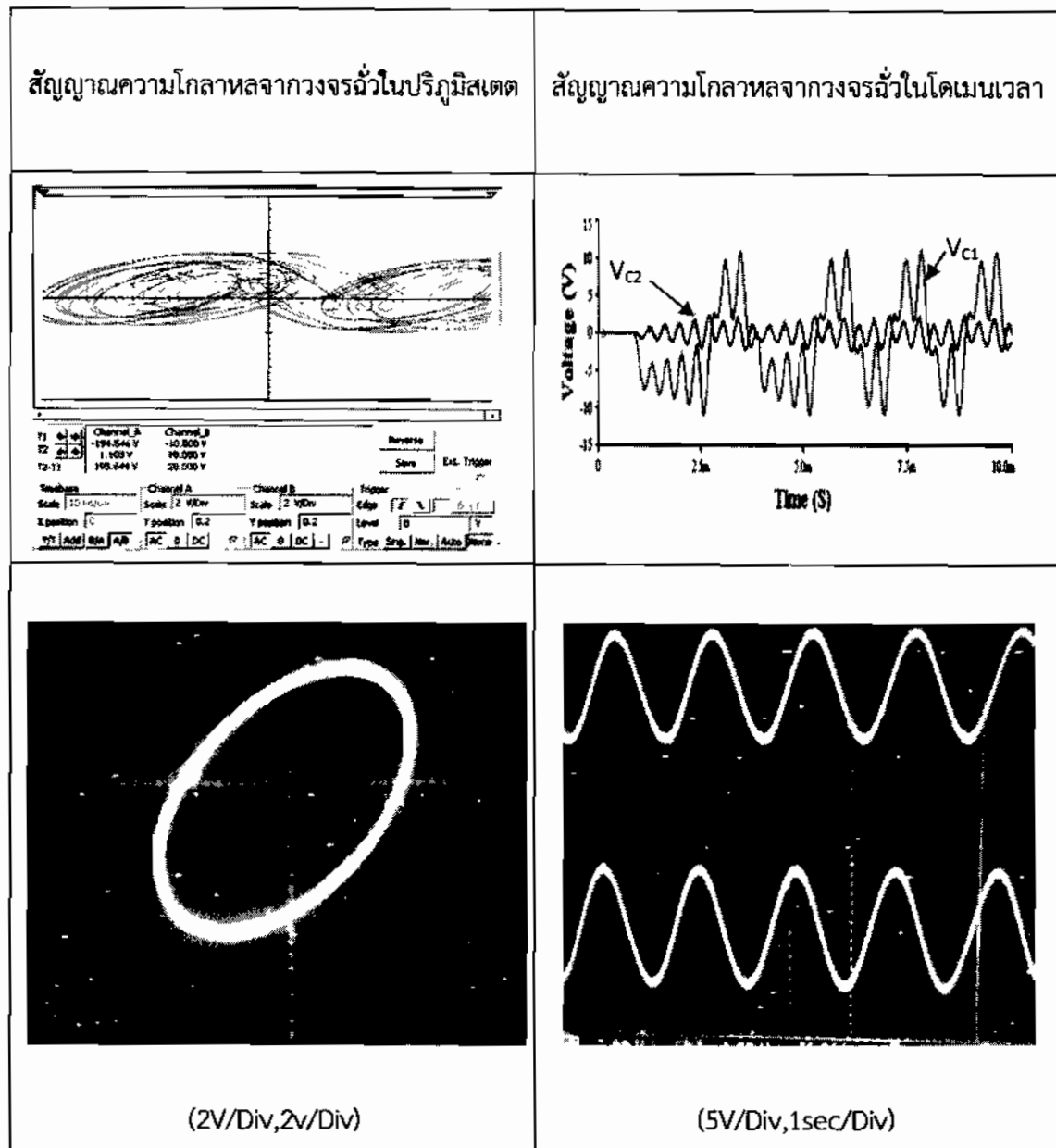
รูปที่ ก.18 สัญญาณโกลาหลในปริภูมิสเตตและโดยเมนเวลาที่กำหนดให้ตัวต้านทานมีค่าเท่ากับ  $1.82k\Omega$



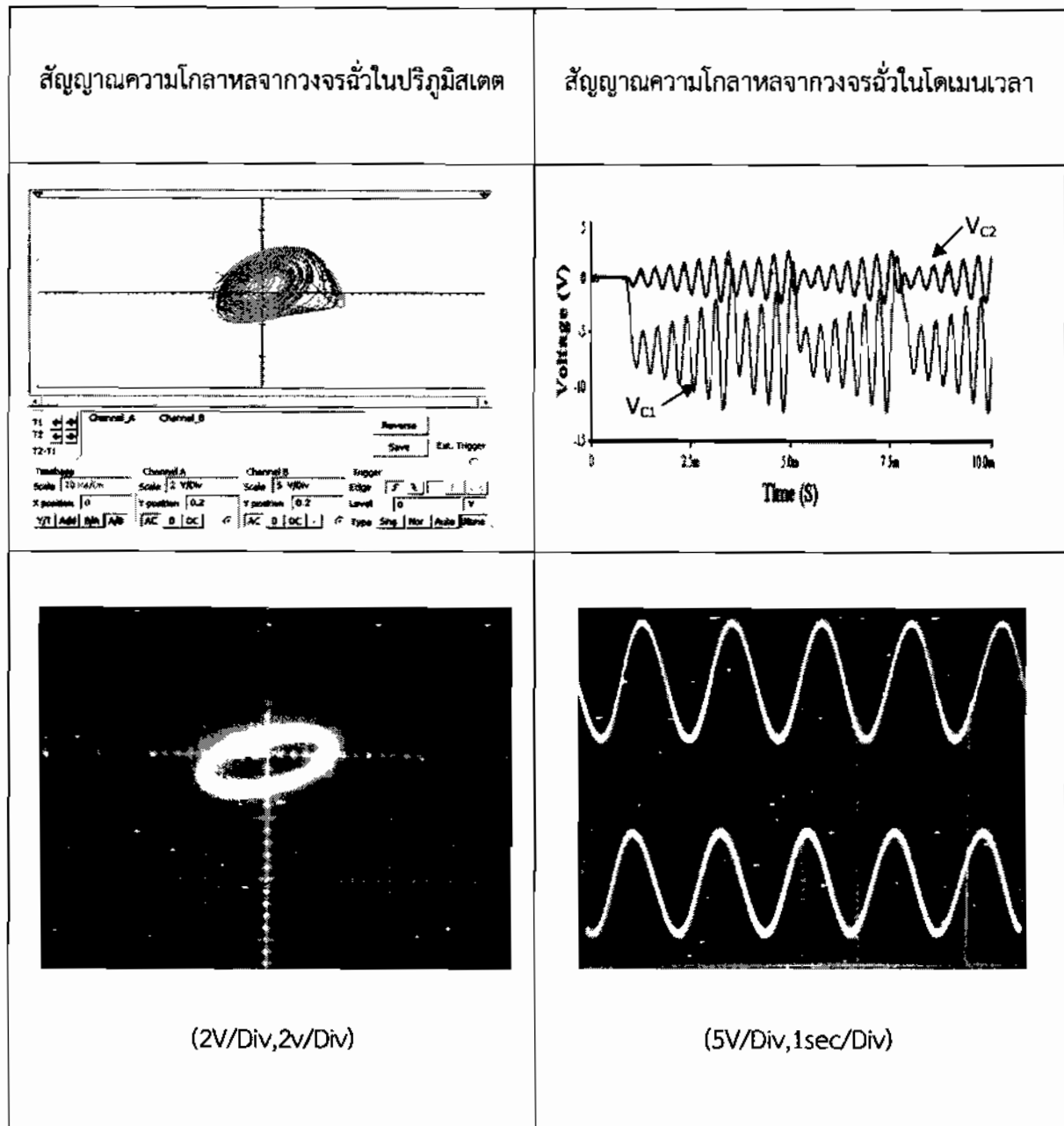
รูปที่ ก.19 สัญญาณโกลาหลในปริภูมิสเตตและโดเมนเวลาที่กำหนดให้ตัวถังหานมีค่าเท่ากับ  $1.86\text{kg}$



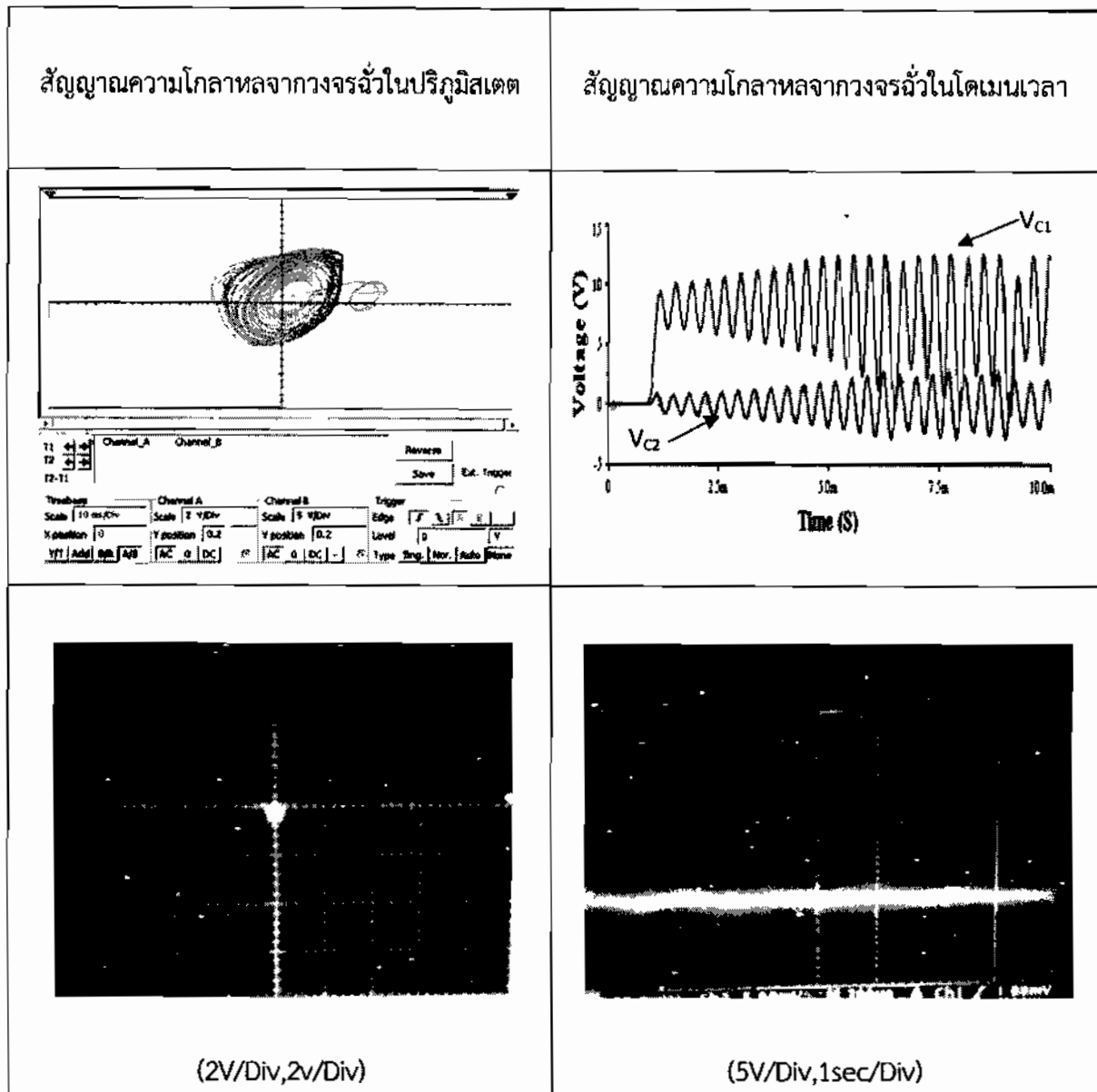
รูปที่ ก.20 สัญญาณโกลาหลในปริภูมิสเตตและโดเมนเวลาที่กำหนดให้ตัวต้านทานมีค่าเท่ากับ  $1.88\text{k}\Omega$



รูปที่ ก.21 สัญญาณโกลาหลในปริภูมิสเตตและโคลเมนเวลาที่กำหนดให้ตัวต้านทานมีค่าเท่ากับ  $1.95\text{k}\Omega$



รูปที่ ก.22 สัญญาณโกลาหลในปริภูมิสเตตและโดเมนเวลาที่กำหนดให้ตัวต้านทานมีค่าเท่ากับ  $2\Omega$



รูปที่ ก.23 สัญญาณโกลาหลในปริภูมิสเตตและโหมดนิวเคลียร์ที่กำหนดให้ด้วยตัวน้ำหนักที่มีค่าเท่ากับ  $2.06\text{k}\Omega$



## ประวัติผู้ศึกษา



## ประวัติผู้ศึกษา

ชื่อ - สกุล	นางสาวศรีนันท์ ธรรมวิเศษ
วัน เดือน ปีเกิด	วันที่ 28 พฤษภาคม 2532
ที่อยู่	บ้านเลขที่ 38 หมู่ 1 บ้านหัวโคน ตำบลหัวโคน อำเภอสุวรรณภูมิ จังหวัดร้อยเอ็ด 45130
ประวัติการศึกษา	<p>พ.ศ. 2544 ประถมศึกษา โรงเรียนบ้านหัวโคนมิตรภาพที่ 165ฯ อำเภอสุวรรณภูมิ จังหวัดร้อยเอ็ด</p> <p>พ.ศ. 2550 มัธยมศึกษา โรงเรียนหัวโคนวิทยา อำเภอสุวรรณภูมิ จังหวัดร้อยเอ็ด</p> <p>พ.ศ. 2554 วิทยาศาสตรบัณฑิต (วท.บ.) สาขาวิศวกรรมประยุกต์ (อิเล็กทรอนิกส์) มหาวิทยาลัยมหาสารคาม</p>
อีเมลล์	<a href="mailto:promise_paty@hotmail.com">promise_paty@hotmail.com</a>
เบอร์โทรศัพท์	080-011-0459

